



การคัดเลือกแบคทีเรียจากทะเลที่ผลิตแคโรโนนอยด์และการหาสภาวะที่เหมาะสมในการผลิตระดับขวดเชย่า

Screening of Carotenoid Producing Marine Bacteria and Optimization of Production in Shake-Flask Culture

ธีรศักดิ์ อันนันตพงศ์

Theerasak Anantapong

วิทยานิพนธ์นี้เป็นส่วนหนึ่งของการศึกษาตามหลักสูตรปริญญา
วิทยาศาสตรมหาบัณฑิต สาขาวิชาเทคโนโลยีชีวภาพ
มหาวิทยาลัยสงขลานครินทร์

A Thesis Submitted in Partial Fulfillment of the Requirements for the Degree of
Master of Science in Biotechnology
Prince of Songkla University

2551

ลิขสิทธิ์ของมหาวิทยาลัยสงขลานครินทร์

(1)

| | |
|------------------------|---|
| ชื่อวิทยานิพนธ์ | การคัดเลือกแบบที่เรียกจากทะเลที่ผลิตแคร์โรทีโนบด์และการหาสภาพที่เหมาะสมในการผลิตระดับขวดเบย่า |
| ผู้เขียน | นายธีรศักดิ์ อนันตพงศ์ |
| สาขาวิชา | เทคโนโลยีชีวภาพ |

อาจารย์ที่ปรึกษาวิทยานิพนธ์หลัก

.....
(ดร.อัครวิทย์ กาญจน์โภกย์)

คณะกรรมการสอบ

.....
(ดร.ศุภศิลป์ มนตรัตน์)

อาจารย์ที่ปรึกษาวิทยานิพนธ์ร่วม

.....
(รองศาสตราจารย์ ดร.กิจการ ศุภมาตย์)

.....
(ดร.อัครวิทย์ กาญจน์โภกย์)

.....
(รองศาสตราจารย์ ดร.กิจการ ศุภมาตย์)

.....
(ดร.สรวิศ แผ่นทองคุข)

บันทึกวิทยาลัย มหาวิทยาลัยสงขลานครินทร์ อนุมัติให้นับวิทยานิพนธ์นับเป็นส่วนหนึ่งของการศึกษา ตามหลักสูตรปริญญาวิทยาศาสตรมหาบัณฑิต สาขาวิชาเทคโนโลยีชีวภาพ

.....
(รองศาสตราจารย์ ดร.กริกษัย ทองหนู)

คณบดีบันทึกวิทยาลัย

| | |
|------------------------|---|
| ชื่อวิทยานิพนธ์ | การคัดเลือกแบคทีเรียจากทะเลที่ผลิตแครอทินอยด์ และการหาสภาวะที่เหมาะสมในการผลิตระดับขวดเบย่า |
| ผู้เขียน | นายธีรศักดิ์ อนันตพงศ์ |
| สาขาวิชา | เทคโนโลยีชีวภาพ |
| ปีการศึกษา | 2550 |

บทคัดย่อ

แครอทินอยด์มีความสำคัญในการเป็นสารเสริมอาหาร, เครื่องสำอาง, เวชภัณฑ์ และอาหารสัตว์ โดยทั่วไปสามารถผลิตได้จากพืช, แบคทีเรียจากทะเล, จุลสาหร่าย และการสังเคราะห์ทางเคมี การวิจัยนี้มีวัตถุประสงค์เพื่อคัดเลือกและศึกษาสภาวะที่เหมาะสมในการเพาะเลี้ยงแบคทีเรียจากทะเลที่ผลิตแครอทินอยด์ที่แยกได้จากทะเลจำนวน 37 สายพันธุ์ โดยพิจารณาจากความสามารถในการผลิต昆蟲ที่มีสี แดง, ส้ม และเหลือง และนำมาตรวจวิเคราะห์ปริมาณแครอทินอยด์เพื่อคัดเลือกเชื้อให้เหลือ 1 สายพันธุ์โดยอาศัยไฟฟ้าโอดไดโอดแพร์เซนต์ เอชพีเอลซี ในการตรวจวิเคราะห์ ผลการทดลองพบว่าแบคทีเรียสายพันธุ์ CNA058 ที่แยกได้จากตะกอนดินในทะเลสามารถผลิตแครอทินอยด์ได้สูงที่สุด และมีสภาวะที่เหมาะสมสำหรับการเจริญและการผลิตแครอทินอยด์ของเชื้อแบคทีเรียจากทะเลสายพันธุ์ CNA058 ดังนี้ คือ พื้นที่เริ่มต้นที่ 7, อุณหภูมิ 25 องศาเซลเซียส และความเรื้อรอบในการเทขาย 250 รอบต่อนาที โดยมีปริมาณของแครอทินอยด์ที่ผลิตได้เท่ากับ 6.9 มิลลิกรัมต่อกิโลกรัมเซลล์ ภายใต้สภาวะที่เหมาะสมต่อการเจริญ เมื่อเลี้ยงเชื้อแบคทีเรียจากทะเลสายพันธุ์ CNA058 ในแหล่งการบอนที่ต่างกัน เชื้อสามารถผลิตแครอทินอยด์ได้ปริมาณ 20.94 มิลลิกรัมต่อกิโลกรัมเซลล์ เมื่อใช้กลูโคสเป็นแหล่งการบอนหลักที่ความเข้มข้น 5 กรัมต่อลิตร อัตราการเจริญ, ปริมาณสารสีทึ้งหมดและแครอทินอยด์ในการเจริญของเซลล์ที่ใช้แหล่งในไตรเจนที่ต่างกัน คือ ยีสต์สกัด, น้ำมันปาลาน้ำ และน้ำล้างชูริมิ จะมีปริมาณแครอทินอยด์สูงที่สุดคือ 47.51 มิลลิกรัมต่อกิโลกรัมเซลล์ เมื่อใช้ยีสต์สกัดเป็นแหล่งในไตรเจนหลักที่ความเข้มข้น 20 กรัมต่อลิตร

| | |
|----------------------|---|
| Thesis Title | Screening of carotenoid producing marine bacteria and optimization of production in shake-flask culture |
| Author | Mr. Theerasak Anantapong |
| Major Program | Biotechnology |
| Academic Year | 2007 |

Abstract

Carotenoid pigments have many important applications in the nutraceutical, cosmetics, pharmaceutical and feed industries, which can be produced by plants, marine bacteria, microalgae and chemical synthesis. This study aimed to screen marine bacteria isolated from sediment, sponge, algae, biofilm, coral and shell for carotenoid production and to optimize culture conditions for the production of carotenoid by selected strain. After the isolation, the total of 37 different marine bacterial strains were selected according to yellow and red pigments production. Selected strains were then analyzed for carotenoid content using DAD high-performance liquid chromatography (DAD-HPLC) method. Marine bacterium strain CNA058, isolated from sediment obtained from Songkhla lake, was selected because of its highest carotenoid content. The optimal pH, temperature and agitation rate for the growth and carotenoid production of strain CNA058 were 7.0, 25°C and 250 rpm, respectively and the yield of carotenoid was 6.9 mg/g wet cell. However, when CNA058 was cultivated in different carbon sources the carotenoid content varied dramatically. The highest carotenoid content of 20.94 mg/g wet cell was obtained when glucose was used as a carbon source at the concentration of 5 g/l medium. The carotenoid contents also varied when CNA058 was cultivated in different nitrogen sources i.e. yeast extract, tuna condensate and surimi washing water. The highest carotenoid content (47.51 mg/g wet cell) was obtained when yeast extract was used as nitrogen source at the concentration of 20 g/l.

กิตติกรรมประกาศ

ข้าพเจ้าขอกราบขอบพระคุณ ดร.อัครวิทย์ กาญจน โภกาน อาจารย์ที่ปรึกษาวิทยานิพนธ์ที่ กรุณาให้คำแนะนำในการทำวิจัย การค้นคว้าและการเขียนวิทยานิพนธ์ฉบับนี้รวมไปถึงแนวทางในการดำเนินชีวิตและโอกาสต่อไปที่อาจารย์มอบให้ในการเรียนตลอดมา ขอขอบพระคุณรองศาสตราจารย์ ดร.กิจการ ศุภมาศย์ ที่ให้คำแนะนำต่างๆในการทำวิจัยให้สำเร็จลุล่วงไปด้วยดี ขอขอบพระคุณ ดร.สุกศิลป์ มณีรัตน์ กรรมการผู้แทนจากคณะอุตสาหกรรมเกษตร และขอขอบพระคุณ ดร.สรวิศ พ่วงคงศุข กรรมการผู้แทนบัณฑิตวิทยาลัย ที่กรุณาให้คำแนะนำที่เป็นประโยชน์และตรวจแก้ไขวิทยานิพนธ์ให้ถูกต้องและสมบูรณ์ยิ่งขึ้น

ขอขอบพระคุณ บริษัท สงขลาเคนเนิ่ง มหาชน จำกัด ที่ให้ความอนุเคราะห์นำน้ำประปาทุนน้ำ และ บริษัทแพซิฟิกแปรรูปสัตว์น้ำสงขลา จำกัด ที่ให้ความอนุเคราะห์นำล้างชูริม เพื่อนำมาใช้ในการวิจัยครั้งนี้

ขอขอบพระคุณ คณะอุตสาหกรรมเกษตร ที่ให้ทุนอุตสาหกรรมเกษตรสู่ความเป็นเลิศ ขอขอบคุณ บัณฑิตวิทยาลัย มหาวิทยาลัยสงขลานครินทร์ที่ให้ทุนอุดหนุนการวิจัยส่วนหนึ่ง

ขอกราบขอบพระคุณ คุณพ่อ คุณแม่ ด้วยความเคารพยิ่ง ที่ให้กำลังใจและโอกาสในการศึกษามาโดยตลอด รวมถึงเพื่อนๆ ที่สนับสนุนและเข้าหน้าที่ ในคณะอุตสาหกรรมเกษตรและศูนย์ เครื่องมือวิทยาศาสตร์ ตลอดจนทุกๆ ท่านที่มิได้กล่าวนามมา ณ ที่นี้ด้วย ที่มีส่วนช่วยให้วิทยานิพนธ์ ฉบับนี้สมบูรณ์ด้วยดี

ธีรศักดิ์ อันนันตพงศ์

สารบัญ

หน้า

| | |
|----------------------------|-----|
| บทคัดย่อ | (3) |
| Abstract | (4) |
| กิตติกรรมประกาศ | (5) |
| สารบัญ | (6) |
| รายการตาราง | (7) |
| รายการภาพ | (9) |
| บทที่ | |
| 1. บทนำ | 1 |
| บทนำต้นเรื่อง | 1 |
| บทตรวจเอกสาร | 3 |
| วัสดุประสงค์ | 31 |
| 2. วัสดุ อุปกรณ์และวิธีการ | 32 |
| วัสดุ อุปกรณ์ | 32 |
| วิธีการทดลอง | 34 |
| วิธีการวิเคราะห์ | 35 |
| 3. ผลและวิจารณ์ผลการทดลอง | 39 |
| ผลการทดลอง | 39 |
| 4. สรุปผลการทดลอง | 64 |
| เอกสารอ้างอิง | 65 |
| ภาคผนวก | 72 |
| ภาคผนวก ก | 73 |
| ภาคผนวก ข | 74 |
| ภาคผนวก ค | 77 |
| ประวัติผู้เขียน | 91 |

รายการตาราง

| ตารางที่ | หน้า |
|---|------|
| 1. แหล่งของแครอทินอยด์จากจุลินทรีย์ | 6 |
| 2. โครงสร้างและการเรียกชื่อแครอทินอยด์ | 7 |
| 3. จุลินทรีย์ที่เป็นแหล่งสารสี | 17 |
| 4. สรุปการผลิตแครอทินอยด์โดยกระบวนการเทคโนโลยีชีวภาพจุลินทรีย์ | 19 |
| 5. การแยกและทำให้บริสุทธิ์ของแครอทินอยด์โดยวิธีการทางโคมากาฟิ | 20 |
| 6. การใช้ประโยชน์ของแครอทินอยด์ชนิดต่างๆ | 25 |
| 7. แหล่งของแครอทินอยด์จากธรรมชาติ | 28 |
| 8. โครงสร้างหลักของแครอทินอยด์ที่อยู่ในเนื้อเยื่อของสัตว์น้ำ | 28 |
| 9. ปริมาณรูปแบบและระดับของแครอทินอยด์ที่มีความสำคัญกับการเพาะเลี้ยงสัตว์น้ำจากแหล่งต่างๆ | 29 |
| 10. เชื้อแบคทีเรียที่แยกได้จากทะเลสำหรับการคัดเลือกเชื้อที่ผลิตแครอทินอยด์ | 39 |
| 11. เชื้อแบคทีเรียจากทะเล 37 สายพันธุ์ | 42 |
| 12. การเจริญและการผลิตแครอทินอยด์ของเชื้อที่แยกได้จากทะเล | 77 |
| 13. การเจริญและการผลิตแครอทินอยด์ของเชื้อ CNA001, 058 074 และ 112 | 79 |
| 14. การเจริญและการผลิตแครอทินอยด์ของเชื้อสายพันธุ์ CNA058 ที่ความเร็วอบ 150, 200 และ 250 รอบต่อนาที | 79 |
| 15. การเจริญและการผลิตแครอทินอยด์ของเชื้อสายพันธุ์ CNA058 ที่อุณหภูมิ 20, 25 และ 30 องศาเซลเซียส | 80 |
| 16. การเจริญและการผลิตแครอทินอยด์ของเชื้อ CNA058 ที่ pH 6, 7 และ 8 | 80 |
| 17. การผลิตแครอทินอยด์ของเชื้อ CNA058 โดยใช้กลูโคสเป็นแหล่งคาร์บอน ที่ความเข้มข้น 5, 10 และ 20 กรัมต่อลิตร | 81 |
| 18. การผลิตแครอทินอยด์ของเชื้อ CNA058 โดยใช้ซูโครสเป็นแหล่งคาร์บอน ที่ความเข้มข้น 5, 10 และ 20 กรัมต่อลิตร | 81 |
| 19. การผลิตแครอทินอยด์ของเชื้อ CNA058 โดยใช้แป้งสาลีเป็นแหล่งคาร์บอน ที่ความเข้มข้น 5, 10 และ 20 กรัมต่อลิตร | 82 |
| 20. การผลิตแครอทินอยด์ของเชื้อ CNA058 โดยใช้น้ำยางเป็นแหล่งคาร์บอน ที่ความเข้มข้น 5, 10 และ 20 กรัมต่อลิตร | 82 |

รายการตาราง (ต่อ)

| ตารางที่ | หน้า |
|---|------|
| 21. การผลิตแคโรทีนอยด์ของเชื้อ CNA058 โดยใช้สต์เป็นแหล่งในโตรเจนที่ความเข้มข้น 1, 5, 15, 20 และ 25 กรัมต่อลิตร | 83 |
| 22. การผลิตแคโรทีนอยด์ของเชื้อ CNA058 โดยใช้น้ำล้างซูริมเป็นแหล่งในโตรเจนที่ความเข้มข้น 1, 5 และ 15 กรัมต่อลิตร | 84 |
| 23. การผลิตแคโรทีนอยด์ของเชื้อ CNA058 โดยใช้น้ำน้ำปลาทูน่าเป็นแหล่งในโตรเจนที่ความเข้มข้น 1, 5 และ 15 กรัมต่อลิตร | 85 |

รายการภาพ

| ภาพที่ | หน้า |
|---|------|
| 1. โครงสร้างของ lycopene (a), β,β-carotene (b), β,ε-carotene (c), zeaxanthin (d), lutein (e) | 3 |
| 2. โครงสร้างของ crocetin (a), bixin (b) และ ε,ε-carotene (c) | 4 |
| 3. ขั้นตอนสำคัญของชีวสังเคราะห์แครอทินอยด์ โดยทั่วไป | 9 |
| 4. ชีวสังเคราะห์ของไอโซพรีโนยด์ | 12 |
| 5. กระบวนการสังเคราะห์ไอโซพรีโนยด์โดยสรุป | 13 |
| 6. หน้าที่ของยีนในกระบวนการสังเคราะห์แครอทินอยด์ | 14 |
| 7. แผนผังการทำงานของยีนที่เกี่ยวข้องกับชีวสังเคราะห์สารแครอทินอยด์ | 18 |
| 8. แสดงแผนภูมิการแยกและทำให้บริสุทธิ์ของแครอทินอยด์จากแหล่งธรรมชาติ | 24 |
| 9. โครงสร้างของ astaxanthin (3,3'-dihydroxy-carotene-4,4'-dione) (a), astaxanthin 3R,3'S (b), astaxanthin 3R,3'R (c) | 27 |
| 10. ร้อยละของชนิดตัวอย่างที่ใช้แยกเชือแบบที่เรียกว่าการผลิตแครอทินอยด์ | 41 |
| 11. ลักษณะ โคลโอลนีของเชือแบบที่เรียสายพันธุ์ CNA001 | 44 |
| 12. ลักษณะ โคลโอลนีของเชือแบบที่เรียสายพันธุ์ CNA058 | 44 |
| 13. ลักษณะ โคลโอลนีของเชือแบบที่เรียสายพันธุ์ CNA074 | 45 |
| 14. ลักษณะ โคลโอลนีของเชือแบบที่เรียสายพันธุ์ CNA112 | 45 |
| 15. โปรแกรมของวิเคราะห์ HPLC ของสารแครอทินอยด์จากเชือแบบที่ เรียสายพันธุ์ CNA001 ที่ความยาวคลื่น A) 210 นาโนเมตร, B) 474 นาโนเมตร | 47 |
| 16. ไดโรดอาร์สเปกตรัมของสารแครอทินอยด์จากเชือแบบที่เรียสาย พันธุ์ CNA001 | 47 |
| 17. โปรแกรมของวิเคราะห์ HPLC ของสารแครอทินอยด์จากเชือแบบที่ เรียสายพันธุ์ CNA058 ที่ความยาวคลื่น A) 210 นาโนเมตร, B) 474 นาโนเมตร | 48 |
| 18. ไดโรดอาร์สเปกตรัมของสารแครอทินอยด์จากเชือแบบที่เรียสาย พันธุ์ CNA058 | 48 |
| 19. โปรแกรมของวิเคราะห์ HPLC ของสารแครอทินอยด์จากเชือแบบที่ เรียสายพันธุ์ CNA074 ที่ความยาวคลื่น A) 210 นาโนเมตร, B) 474 นาโนเมตร | 49 |

รายการภาพ (ต่อ)

| ภาพที่ | หน้า |
|---|------|
| 20. ไดโอดอาเรย์สเปกตรัมของสารแครโโรทีนอยด์จากเชื้อแบคทีเรียสายพันธุ์ CNA074 | 49 |
| 21. โปรแกรมของการวิเคราะห์ HPLC ของสารแครโโรทีนอยด์จากเชื้อแบคทีเรียสายพันธุ์ CNA112 | 50 |
| 22. ไดโอดอาเรย์สเปกตรัมของสารแครโโรทีนอยด์จากเชื้อแบคทีเรียสายพันธุ์ CNA112 | 50 |
| 23. โปรแกรมของการวิเคราะห์ HPLC ของสารมาตราฐานแครโโรทีนอยด์ | 51 |
| 24. ไดโอดอาเรย์สเปกตรัมของสารมาตราฐานแครโโรทีนอยด์ | 51 |
| 25. ลักษณะการเจริญของเชื้อแบคทีเรียสายพันธุ์ CNA058 ในอาหาร FP Medium | 52 |
| 26. เชลล์ปีกของแบคทีเรียสายพันธุ์ CNA058 ที่ได้จากการเลี้ยงเชื้อหลังจากการปั่นเหลว | 53 |
| 27. สารสกัดแครโโรทีนอยด์ ในตัวทำละลายผสมระหว่าง methanol : acetone (2:1) | 53 |
| 28. สารสกัดแครโโรทีนอยด์ใน methanol | 53 |
| 29. สารสกัดแครโโรทีนอยด์ในรูปแห้งจากเชื้อแบคทีเรียสายพันธุ์ CNA058 | 54 |
| 30. ผลของความเร็วอบในการเบ่าต่อการผลิตแครโโรทีนอยด์ของแบคทีเรียสายพันธุ์ CNA058 | 54 |
| 31. ผลของอุณหภูมิต่อการผลิตแครโโรทีนอยด์ของเชื้อแบคทีเรียสายพันธุ์ CNA058 | 55 |
| 32. ผลของ pH ต่อการผลิตแครโโรทีนอยด์ของแบคทีเรียสายพันธุ์ CNA058 | 56 |
| 33. ปริมาณแครโโรทีนอยด์ที่ได้จากการเลี้ยงเชื้อ CNA058 ในอาหารที่มีน้ำตาล กูลิโกสที่ความเข้มข้นต่างๆ กัน | 58 |
| 34. ปริมาณแครโโรทีนอยด์ที่ได้จากการเลี้ยงเชื้อ CNA058 ในอาหารที่มีน้ำตาล ซูโครสที่ความเข้มข้นต่างๆ กัน | 58 |
| 35. ปริมาณแครโโรทีนอยด์ที่ได้จากการเลี้ยงเชื้อ CNA058 ในอาหารที่มีแป้งสาลีที่ความเข้มข้นต่างๆ กัน | 59 |

รายการภาพ (ต่อ)

| ภาพที่ | หน้า |
|---|------|
| 36. ปริมาณแครอฟทีนอยด์ที่ได้จากการเลี้ยงเชื้อ CNA058 ในอาหารที่มีนำ�性 ที่ความเข้มข้นต่างๆ กัน | 59 |
| 37. ผลของแหล่งการบอนทั้ง 4 ชนิดต่อบริมาณแครอฟทีนอยด์ | 60 |
| 38. ปริมาณแครอฟทีนอยด์ที่ได้จากการเลี้ยงเชื้อ CNA058 ในอาหารที่มียีสต์สกัด ที่ความเข้มข้นต่างๆ กัน | 61 |
| 39. ปริมาณแครอฟทีนอยด์ที่ได้จากการเลี้ยงเชื้อ CNA058 ในอาหารที่มีนำล้างชูริม ที่ความเข้มข้นต่างๆ กัน | 62 |
| 40. ปริมาณแครอฟทีนอยด์ที่ได้จากการเลี้ยงเชื้อ CNA058 ในอาหารที่มีนำน้ำปลา ทุน่าที่ความเข้มข้นต่างๆ กัน | 62 |
| 41. ผลของแหล่งการบอนทั้ง 3 ชนิดต่อบริมาณแครอฟทีนอยด์ | 63 |
| 42. กราฟมาตรฐานการเจริญของเชื้อสายพันธุ์ CNA058 เมื่อเลี้ยงเชื้อใน อาหาร nutrient broth สภาวะที่มีดี | 74 |
| 43. กราฟมาตรฐานการเจริญของเชื้อสายพันธุ์ CNA058 ในอาหารสูตร FP สภาวะที่มีดี | 75 |
| 44. กราฟมาตรฐานการเจริญของเชื้อสายพันธุ์ CNA058 ในอาหาร nutrient broth สภาวะที่สว่าง | 75 |
| 45. กราฟมาตรฐานการเจริญของเชื้อสายพันธุ์ CNA058 ในอาหารสูตร FP สภาวะที่สว่าง | 76 |
| 46. กราฟมาตรฐานของแครอฟทีนอยด์ | 76 |
| 47. อิเลคโทรฟิโรแกรมของ CNA058 เมื่อใช้ primer ชนิด 27F | 86 |
| 48. อิเลคโทรฟิโรแกรมของ CNA058 เมื่อใช้ primer ชนิด 339F | 87 |
| 49. อิเลคโทรฟิโรแกรมของ CNA058 เมื่อใช้ primer ชนิด 785F | 88 |
| 50. อิเลคโทรฟิโรแกรมของ CNA058 เมื่อใช้ primer ชนิด 1099F | 89 |
| 51. แสดงลำดับเบสของเชื้อแบคทีเรียสายพันธุ์ CNA058 | 90 |

บทที่ 1

บทนำ

บทนำต้นเรื่อง

ปัจจุบันการเพาะเลี้ยงสัตว์น้ำโดยเฉพาะกุ้งกุลาดำมีพื้นที่การเลี้ยงไม่ต่ำกว่า 500,000 ไร่ในประเทศไทย ผลผลิตที่ได้ส่งผลต่อเศรษฐกิจของประเทศเป็นมูลค่าันนับหลายหมื่นล้านบาทต่อปีและนอกจานี้ยังมีอุตสาหกรรมอื่นๆ ที่เกี่ยวข้องกับการเลี้ยงกุ้งกุลาดำหรือกุ้งทะเลชนิดอื่นๆ อีกด้วย อุตสาหกรรมด้วยกัน เช่น การแปรรูปสัตว์น้ำ อาหารสัตว์ และยา rakyma โรค เป็นต้น ซึ่งนับว่า อุตสาหกรรมการเพาะเลี้ยงกุ้งนั้น ก่อให้เกิดการจ้างงานและนำรายได้เข้าสู่ประเทศไทยไม่น้อยกว่า อุตสาหกรรมอื่นๆ ที่สำคัญของประเทศ

อย่างไรก็ได้การเพาะเลี้ยงกุ้งในระดับอุตสาหกรรมนั้นก็มีปัญหาและอุปสรรคที่สำคัญอยู่ หลากหลาย จากรายงานของ Fast และ Menasaveta (2000) พบว่า โรคระบาดในกุ้งเลี้ยง ปัญหา ด้านคุณภาพในบ่อเลี้ยง และลักษณะทางคุณภาพของกุ้งที่ไม่เป็นที่ต้องการของผู้บริโภคนั้น เป็น ปัญหาหลักที่สำคัญ แนวทางในการแก้ปัญหาดังกล่าว ย่อมต้องอาศัยการทำวิจัยเพื่อศึกษาถึงสาเหตุ และแนวทางในการแก้ไขปัญหาที่เกิดขึ้น สำหรับในประเทศไทยนั้น การวิจัยเกี่ยวกับสาเหตุและการ เกิดโรคของกุ้งรวมทั้งแนวทางและวิธีการป้องกัน การรักษาโรค ได้รับความสนใจจากนักวิจัย ค่อนข้างมาก (Rengpipat *et al.*, 1998a) ในขณะที่งานวิจัยเพื่อปรับปรุงคุณภาพของกุ้งที่ได้จากการ เลี้ยง เช่น ขนาดและน้ำหนักของตัวกุ้ง ตลอดไปจนถึงสีของตัวกุ้งซึ่งเป็นปัจจัยที่สำคัญอีกปัจจัยหนึ่ง ในการกำหนดราคาของกุ้งและผลิตภัณฑ์ที่ทำจากกุ้งนั้น มีอยู่น้อยมาก (Chien and Jeng, 1992; No and Storebakken, 1992; มะลิ บุณยรัตน์ พลิน และคณะ, 2543) สารที่ช่วยเร่งหรือปรับปรุงคุณภาพสี ในตัวกุ้งที่ใช้ในระดับอุตสาหกรรม โดยเฉพาะอย่างยิ่งสารที่อยู่ในกลุ่มของแครอททินอยค์ ยังต้องอาศัย การนำเข้าจากต่างประเทศอีกทั้งยังมีราคาแพงเนื่องจากสารดังกล่าวต้องอาศัยกระบวนการ สังเคราะห์ทางเคมีที่มีค่าใช้จ่ายสูง ถึงแม้ว่า ผู้ผลิตบางรายอาจสามารถวิธีการผลิตแครอททินอยค์โดย การสกัดจากวัตถุดินธรรมชาติ เช่น มะเขือเทศ แครอท หรือดอกดาวเรือง แต่ก็มีปัญหาระดับผลผลิตที่ ได้มีปริมาณที่ต่ำทำให้ไม่มีความคุ้มทุนในการที่เกย์ตรกรผู้เลี้ยงกุ้งหรือผู้ผลิตอาหารกุ้งจะใช้สาร ดังกล่าวเพื่อเติมลงไว้ในอาหารที่ใช้เลี้ยงกุ้ง ดังนั้นมีอพิจารณาถึงความต้องการของเกษตรกรและ อุตสาหกรรมอาหารสัตว์น้ำ กับขนาดของตลาดที่จะรองรับสารในกลุ่มแครอททินอยค์ที่มีคุณสมบัติใน การเร่งหรือเสริมสร้างสีที่เป็นที่ต้องการในตัวกุ้งโดยเฉพาะในกลุ่ม astaxanthin ซึ่งมีรายงานว่าพบ

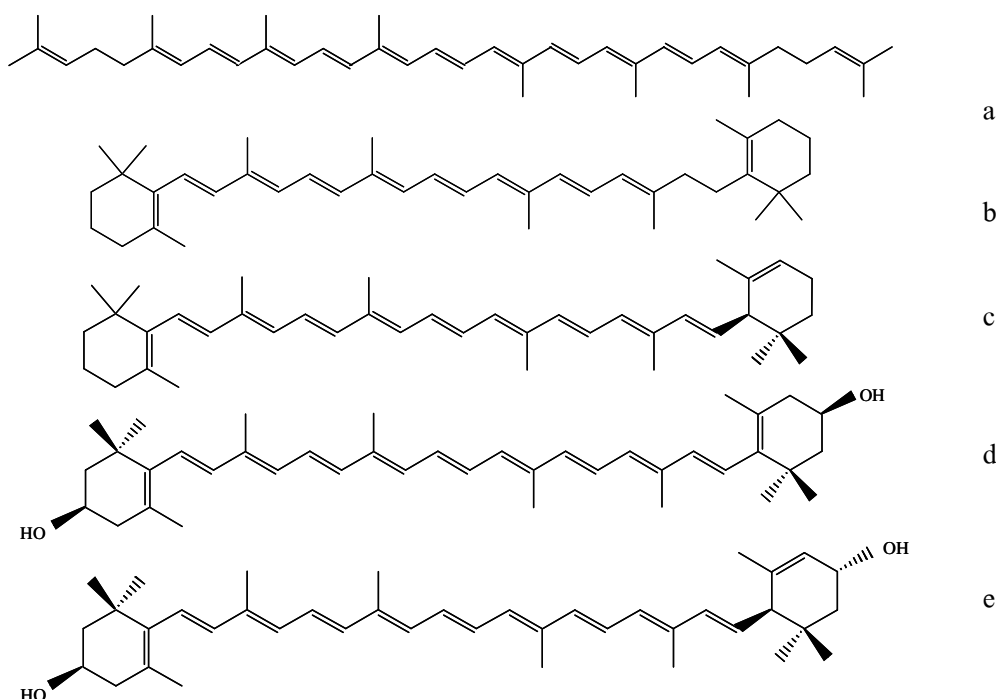
ในจุลินทรี สัตว์และพืชทะเลชายชานิด (Bjorland *et al.*, 1989) ประกอบกับการสังเกตพบในการศึกษาวิจัยที่กำลังดำเนินการอยู่ว่ามีแนวคิดที่เรียกจากทะเลชายชานิดที่สามารถสร้างสารสีเหลือง ส้ม และแดง ได้ดี จึงน่าจะมีการศึกษาถึงความเป็นไปได้และศักยภาพของจุลินทรีจากทะเลเพื่อใช้เป็นแหล่งที่มาชานิดใหม่ของสารแครอทีนอยค์สำหรับอุตสาหกรรมการเลี้ยงกุ้งและสัตว์น้ำประเภทอื่นๆ เช่น ปลาสวยงาม เป็นต้น

บทตรวจสอบสาร

แครอทีนอยด์ (carotenoid)

แครอทีนอยด์จัดเป็นวงศ์ตุลาการธรรมชาติที่เป็นที่รู้จักกันค่อนข้างมากที่สุดชนิดหนึ่ง โดยมีการศึกษามาตั้งแต่ก่อนศตวรรษที่ 19 แต่อาจมีชื่อเรียกดังกันไป เช่น pepper หรือ parprika (1817), saffron (1818), annatto (1831), และ autumn leaves (1837) ตามแหล่งที่มา ในปีค.ศ. 1907 Willstatter ได้มีการศึกษาเกี่ยวกับน้ำหนักโมเลกุลและโครงสร้างพื้นฐานของแครอทีนอยด์ ชนิดแรกที่สามารถหาสูตรโครงสร้างได้คือ carotene ($C_{40}H_{56}$) และ xanthophylls ($C_{40}H_{56}O_2$) ที่แยกได้จากใบไม้

ต่อมาในปี ค.ศ. 1930 Karrer และคณะได้ศึกษาและรายงานเกี่ยวกับสูตรโครงสร้างของแครอทีนอยด์ชนิดต่างๆ เช่น lycopene, β,β -carotene (β -carotene), β,ε -carotene (α -carotene), zeaxanthin, และ lutein (xanthophyll) ดังแสดงในภาพที่ 1

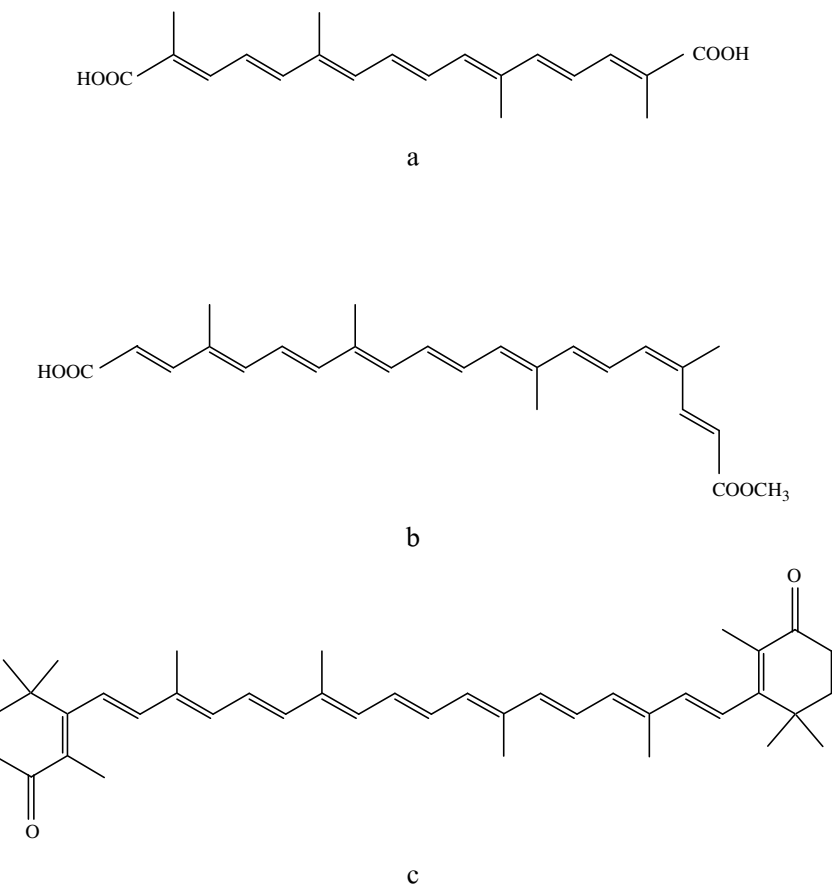


ภาพที่ 1 โครงสร้างของ lycopene (a), β,β -carotene (b), β,ε -carotene (c), zeaxanthin (d), lutein (e)

Figure 1. Structures of lycopene (a), β,β -carotene (b), β,ε -carotene (c), zeaxanthin (d), lutein (e).

ที่มา : Eugster (1969)

และในปีเดียวกันได้มีรายงานเกี่ยวกับแคโรทีโนยด์เพิ่มเติมอีก 3 ชนิด คือ crocetin, bixin, ε,ε -carotene ดังแสดงในภาพที่ 2



ภาพที่ 2 โครงสร้างของ crocetin (a), bixin (b) และ ε,ε -carotene (c)

Figure 2. Structures of crocetin (a), bixin (b) and ε,ε -carotene (c).

ที่มา : Eugster (1969)

หลังจากนั้นการศึกษาและรายงานเกี่ยวกับแคโรทีโนยด์ได้เพิ่มจำนวนขึ้นอย่างรวดเร็วโดยในปี 1971 Isler ได้รายงานโครงสร้างของแคโรทีโนยด์เพิ่มขึ้นมาถึง 230 ชนิด ต่อมาในปี 1987 จำนวนโครงสร้างพื้นฐานของแคโรทีโนยด์มีเพิ่มขึ้นประมาณ 450 ชนิด ซึ่งในจำนวนนี้มี 130 ชนิด ที่ได้จากการสังเคราะห์ในห้องปฏิบัติการ และในปี 1993 มีรายงานว่าแคโรทีโนยด์นั้นมีมากกว่า 600 โครงสร้าง และน่าจะเพิ่มมากขึ้นอีกต่อไปในอนาคต

แคโรทีโนยด์จัดเป็นสารในกลุ่ม tetraterpenoids ที่ถูกสังเคราะห์ขึ้นในพืชและสัตว์มีชีวิตทั้งที่สามารถสังเคราะห์แสงได้และแบคทีเรียบางชนิดที่ไม่สามารถสังเคราะห์แสงได้ ตลอดไปถึงยีสต์

และเชื้อรา แคร์โรทินอยด์ประกอบด้วย โครงสร้างพื้นฐานที่เรียกว่า isoprene unit ซึ่งประกอบด้วย คาร์บอน 5 อะตอมต่อ กันเป็นสายสารบอนที่มีพันธะคู่และเดี่ยวสลับกันแต่ต่างกันที่ปลายสุดของสาย สารบอน (Waldenstedt *et al.*, 2003) และมีคุณสมบัติเป็นรยางค์ตุ่นที่มีสีเหลือง, ส้ม, แดงจนถึงสีม่วง อีกทั้งยังมี คุณสมบัติในการเป็นสารต้านอนุมูลอิสระ, สารต้านมะเร็งและระบุต้นระบบภูมิคุ้มกัน ที่มี ความสำคัญมากในการนำมาประยุกต์ใช้ในอุตสาหกรรมการผลิตยา, เครื่องสำอาง, เคมี, อาหารและ อุตสาหกรรมอาหารสัตว์ (Li *et al.*, 2001) ถึงแม้ว่าแคร์โรทินอยด์จะมีโครงสร้างที่ต่างกันมากกว่า 600 ชนิด แต่มีแคร์โรทินอยด์จำนวนน้อยเท่านั้นที่มีการนำมาใช้ประโยชน์ในอุตสาหกรรมในปัจจุบัน ในขณะที่สัตว์เกือบทุกชนิดจะต้องได้รับสารแคร์โรทินอยด์จากการบริโภค โดยเฉพาะสัตว์เลี้ยงลูก ด้วยนมที่สามารถสะสมแคร์โรทินอยด์ในร่างกายได้ในปริมาณเพียงเล็กน้อยเท่านั้น ในขณะที่สัตว์ปีก เช่น นกและไก่มีความสามารถที่จะสะสมแคร์โรทินอยด์ได้มากในเนื้อเยื่อต่างๆ เช่น พิษนัง, ขนนก, เนื้อเยื่อไขมันและไข่แดง (Durrer *et al.*, 2004) ทำให้มีความจำเป็นที่สัตว์เหล่านี้ต้องได้รับแคร์โรทินอยด์จากการบริโภคในปริมาณที่เหมาะสมจากแหล่งต่างๆ เช่น อาหาร, สารเสริมอาหาร

แหล่งที่มาของแคร์โรทินอยด์

โดยทั่วไปแล้วมีรายงานว่าแคร์โรทินอยด์นั้นสามารถพบได้ในสิ่งมีชีวิตชนิดต่างๆ เช่น พืช สัตว์ และจุลินทรีย์ ตัวอย่าง เช่น พืช ได้แก่ แครอท, มะเขือเทศ, ส้ม, บลูเบอร์รี่, เมล็ดองุ่น และดอก ดาวเรือง สัตว์ ได้แก่ ปลาแซลมอน, ปลาแทราท์, กุ้ง และแพลงตอน จุลินทรีย์ อาทิ เช่น ยีสต์ *Phaffia rhodozyma*, *Brevibacterium*, *Mycobacterium lacticola*, *Agrobacterium auratum*

จุลินทรีย์ที่ผลิตแคร์โรทินอยด์

ชนิดและประเภทของจุลินทรีย์ที่สามารถสังเคราะห์แคร์โรทินอยด์ได้จะแสดงในตารางที่ 1 และตารางที่ 2 จะแสดงโครงสร้างและการเรียกชื่อของแคร์โรทินอยด์ชนิดต่างๆ

ตารางที่ 1 แหล่งของแคโรทีนอยด์จากจุลินทรีย์

Table 1. Microbial sources of carotenoids.

| Microorganism | Carotenoid |
|--|---|
| Carotene sources | |
| Fungi : <i>Blakeslea trispora</i> | Lycopene, β -carotene |
| <i>Phycomyces blakesleeanus</i> | β -carotene |
| Non-photosynthetic bacteria | |
| : <i>Streptomyces chrestomyceticus, subsp. rubescens</i> | Lycopene |
| Xanthophylls sources | |
| Green algae : <i>Sphaerotilus excentricum</i> | Lutein |
| <i>Chlorella pyrenoidosa</i> | Lutein |
| Fungi : <i>Dacrymyces deliquescens</i> | Lutein |
| Non-photosynthetic bacteria : | |
| <i>Flavobacterium sp.</i> | |
| <i>Streptomyces chrestomyceticus var. aurantioideus</i> | Unidentified xanthophylls |
| <i>Mycobacterium phlei</i> | Unidentified xanthophylls |
| Monocyclic ketocarotenoids sources | |
| Non-photosynthetic bacteria : | |
| <i>Deinococcus radiophilus</i> | Derivatives of 4-keto- γ -Carotene |
| <i>Mycobacterium smegmatis</i> | Derivatives of 4-keto- γ -carotene |
| Bicyclic ketocarotenoids sources | |
| Cyanobacteria : <i>Anabaena variabilis</i> | Cantaxanthin |
| <i>Aphanizomenon flos-aquae</i> | Cantaxanthin |
| <i>Nostoc commune</i> | Cantaxanthin |
| Green algae (N-deficiency) | |

ที่มา : Nelis และ De Leenheer (1989)

ตารางที่ 1 (ต่อ)

Table 1. (Cont.)

| Microorganisms | Carotenoids |
|--|----------------------------|
| <i>Dictococcus cinnabarinus</i> | Cantaxanthin |
| <i>Haematococcus pluvialis</i> | Astaxanthin |
| Fungi /yeast : <i>Phaffia rhodozyma</i> | Astaxanthin |
| Non-photosynthetic bacteria : | |
| <i>Brevibacterium KY-4313</i> | Cantaxanthin |
| <i>Rhodococcus maris/Mycobacterium brevicale 32-MCT</i> | Cantaxanthin |
| <i>Mycobacterium lacticola</i> | Astaxanthin |
| <i>Brevibacterium 103</i> | Astaxanthin |
| Fungi /yeast : <i>Rhodotorula sp., Rhodosporidium sp.</i> | Torulene, torularhodin |
| Non-photosynthetic bacteria : | |
| <i>Methylotrophs</i> | Miscellaneous |
| Photosynthetic bacteria : <i>Rhodobacter capsulatus</i> | Spheroidene, Spheroidenone |

ที่มา : Nelis และ De Leenheer (1989)

ตารางที่ 2 โครงสร้างและการเรียกชื่อแครอทีนอยด์

Table 2. Structures and nomenclature of carotenoids.

| Trivial name | Semi-systematic name | Systematic name (IUPAC) |
|--------------------------------|------------------------------------|--|
| A. Carotenes | | |
| Lycopene | Lycopene | Ψ,Ψ -Carotene |
| B. Hydroxy-xanthophylls | | |
| Lutein | 3,3'-Dihydroxy- α -carotene | (3R,3'R,6'R)- β - ϵ -Carotene-3,3'-diol |
| Zeaxanthin | 3,3'-Dihydroxy- β -carotene | (3R,3'R)- β - β -Carotene-3, |

ที่มา : Nelis และ De Leenheer (1989)

ตารางที่ 2 (ต่อ)

Table 2. (Cont.)

| Trivial name | Semi-systematic name | Systematic name (IUPAC) |
|--------------------------------------|---|---|
| | | 3'-diol |
| C. Monocyclic ketocarotenoids | | |
| D. Bicyclic ketocarotenoids | | |
| Canthaxanthin | 4-Keto- γ -carotene | β,ψ -Carotene-4-one |
| Astaxanthin | 4,4'-Diketo- β -carotene | β,β -Carotene-4,4'-dione |
| Rhodoxanthin | 3,3'-Dihydroxy-4,4'-diketo- β -carotene | 3,3'-Dihydroxy- β,β -carotene-4,4'dione (3S,3'S หรือ 3R,3'R) |
| Torulene | 3,3'-Diketoretrodehydro- β -carotene | 4',5'-Didehydro-4,5'-retro- β,β -carotene-3,3'-dione |
| Torularhodin | 3',4'-Dehydro- γ -carotene- β -carotene | 3',4'-Dehydro- β,ψ -carotene |
| Spheroidene | 16'-Carboxyl-3',4'-dehydro- γ -carotene | 3',4'-dehydro- β,ψ -carotene-16'-oic acid |
| Spheroidenone | 1-Methoxy-1,2,7',8'-tetrahydro-3,4-dehydrolycopene | 1-Methoxy-3,4-didehydro-1,2,7',8'-tetrahydro- ψ,ψ -carotene |
| | 1-Methoxy-2-keto-1,2,7',8'-Tetrahydro-3,4-dehydrolycopene | 1-Methoxy-3,4-didehydro-1,2,7',8'-tetrahydro- ψ,ψ -carotene-2-one |

ที่มา : Nelis และ De Leenheer (1989)

โดยทั่วไปแคโรทีนอยด์สามารถแบ่งออกได้เป็น 2 กลุ่ม คือ

1. Ether carotenes ได้แก่ แคโรทีนอยด์ซึ่งมีคาร์บอนและออกซิเจนเป็นองค์ประกอบเด่นนั้น เช่น β -carotene และ lycopene

2. Xantophylls ได้แก่ แคโรทีนอยด์ซึ่งมีคาร์บอน ไฮโดรเจนและออกซิเจนเป็นองค์ประกอบ เช่น astaxanthin, cantaxanthin, lutein, zeaxanthin และ β -cryptoxanthin เป็นต้น

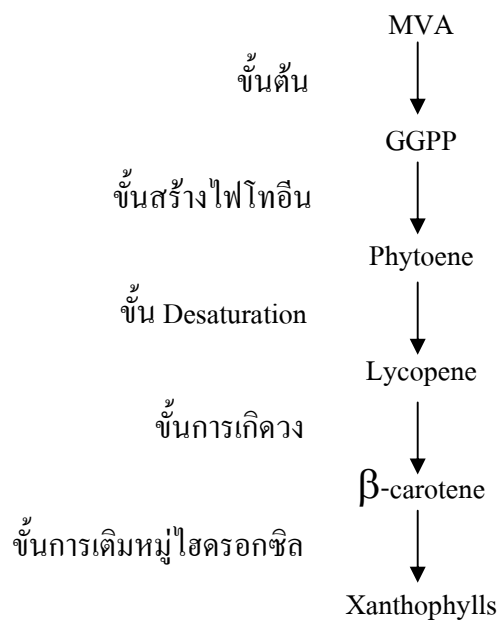
แคโรทีนอยด์ส่วนใหญ่จะอยู่ในกลุ่มของ C₄₀ tetraterpenoids ซึ่งประกอบด้วยหน่วยไอโซปรีนจำนวน 8 หน่วย คุณสมบัติการดูดกลืนแสงของสารกลุ่มนี้ขึ้นอยู่กับจำนวนและตำแหน่ง

ของ conjugated double bonds ที่ทำหน้าที่สเมื่อนโครโนฟอร์ (chromophore) ของแครอทีนอยด์ทั้งหมด

แครอทีนอยด์ที่มีการบอนน้อยหรือมากกว่า 40 บาร์บอนนั้นอาจอยู่ในรูปสายยาว (acyclic) เช่น lycopene หรือ วงกลม (cyclic) เช่น β -carotene และมีการจัดเรียงพันธะคู่แบบซีส หรือ ทรานส์ (cis-trans configuration) หรือเกิดปฏิกิริยาการเติมออกซิเจน (oxygenation) เช่นในกรณีของ xanthophylls เช่น lutein, zeaxanthin, cantaxanthin, cryptoxanthin, neoxanthin และ violaxanthin เป็นต้น

ชีวสังเคราะห์ของแครอทีนอยด์ (Carotenoids Biosynthesis)

โดยทั่วไปขั้นตอนสำคัญในการสังเคราะห์แครอทีนอยด์โดยทั่วไป ดังแสดงในภาพที่ 3



ภาพที่ 3 ขั้นตอนสำคัญของชีวสังเคราะห์แครอทีนอยด์ โดยทั่วไป

Figure 3. Summary of carotenoid biosynthesis.

ที่มา : Cerdà และ Olmedo (1985)

การสังเคราะห์แครอทีนอยด์โดยจุลินทรีย์จะเกิดภายในเซลล์หรือเส้นใยเท่านั้น เช่นเดียวกับสารเทอโรปีนอยด์ทั้งหลาย โดยเริ่มต้นแครอทีนอยด์จะสังเคราะห์ขึ้นจากการคิววาโนนิก (mevalonic

acid, MVA) ที่มีการรวมตัว (condensation) ของไอโซปริน ไอโซเมอร์ 2 ไอโซเมอร์ของไอโซเพนทีนิลไพรอฟอสเฟต (isopentenylpyrophosphate, IPP) และไดเมทิลแออลลิลไพรอฟอสเฟต (dimethylallyl pyrophosphate, DMAPP) เพื่อก่อเป็นเจอรานิลไพรอฟอสเฟต (geranylpyrophosphate, GPP) ฟาร์เนซิลไพรอฟอสเฟต (farnesylpyrophosphate FPP) และ C₂₀ เทอร์ปีโนยด์ เจอรานิลเจอรานิลไพรอฟอสเฟต (C₂₀ terpenoid geranylgeranyl pyrophosphate, GGPP) ตามลำดับ หลังจากนั้นมีการรวมตัวค้างท้ายของ 2 โมเลกุลของ GGPP ก็จะก่อเป็น prephytoenepyrophosphate (PPPP) และเปลี่ยนต่อไปเป็นไฟโตอีน (phytoene) หลังจากนั้นเกิดปฏิกิริยากำจัดไฮโดรเจน (dehydrogenation) 4 ขั้นตอน ก็จะได้ไลโคปีน

ไฟโตอีนในเชื้อราพบในรูปที่มีการจัดพันธะคู่ที่การบอนด์ตำแหน่ง 15 เป็นแบบซีส (15-cis configuration) เมื่อผ่านขั้นตอนปฏิกิริยาไอโซโซเมอไรเซชันก็เปลี่ยนแบบทราบส์ (trans configuration) ของไฟโตอีน และได้ทราบส์แคโรทีนอยด์ (trans carotenoids) ปฏิกิริยาการเกิดวง (cyclization) ของแคโรทีนไม่อิ่มตัวและไม่เป็นวง (unsaturated acyclic carotenes) ทำให้ได้วงบีตา (β -ring) ความสัมพันธ์ชี้สังเคราะห์ระหว่างแคโรทีนอยด์ ที่มีการแปรเปลี่ยนรูปสารที่เกี่ยวข้องโดยปฏิกิริยาเคมีต่างๆดังลำดับต่อไปนี้

1. การเปลี่ยนรูปสารไฟโตอีน เป็นไลโคปีน โดยปฏิกิริยาดีไฮดรอเจนชัน 4 ขั้นตอน
2. การเปลี่ยนรูปไลโคปีน เป็นสารสフェียรอยดีน (spheroidene) โดยมีการเติมโมเลกุลของนำที่พันธะคู่ (double bond) ที่ตำแหน่งที่ 1 และ 2 ปฏิกิริยาดีไฮดรอเจนชันที่การบอนด์ตำแหน่งที่ 3 และ 4 ปฏิกิริยาเมทิลเลชันของหมู่ OH ที่การบอนด์ตำแหน่งที่ 1
3. การเปลี่ยนรูปจากสารสフェียรอยดีน เป็นสารสเฟียรอยดีโนน (spheroidenone) โดยปฏิกิริยาการเติมหมู่คิโตกิที่การบอนด์ตำแหน่งที่ 2
4. การเปลี่ยนรูปจากสารไลโคปีน เป็นแกรมมา-แคโรทีน โดยปฏิกิริยาการเกิดวงที่ปลาย 1 และ 2 ได้ที่มีปลายบีตาที่ตำแหน่ง 1 (1β end group)
5. การเปลี่ยนรูปจากสารไลโคปีน เป็นบีตา-แคโรทีน โดยปฏิกิริยาการเกิดวง ได้สารที่มีปลายบีตาที่ตำแหน่ง 2 (2β end group) เพิ่ม
6. การเปลี่ยนรูปจากสารไลโคปีน เป็น แอลฟ่า-แคโรทีน โดยปฏิกิริยาการเกิดวง ได้สารที่มีปลายบีตาที่ตำแหน่ง 1 และปลายซีตาที่ตำแหน่ง 1 (1β - และ 1ϵ end group)
7. การเปลี่ยนรูปแกรมมา-แคโรทีน เป็นสารโทรูลีน (torulene) โดยปฏิกิริยาดีไฮดรอเจนชันที่การบอนด์ตำแหน่งที่ 3' และ 4'
8. การเปลี่ยนรูปสารโทรูลีนเป็นสารโทรูลาโรดิน (torularhodin) โดยปฏิกิริยาการเติมออกซิเจนที่ปลายโครงสร้าง

9. การเปลี่ยนรูปแคมมา-แคโรทินเป็นสาร 4-คิโต-แคมมา-แคโรทิน (4-keto- γ -carotene) โดยปฏิกิริยาการเติมหมู่คิโตที่คาร์บอนตำแหน่ง 4 มีไซครอกซิเลชัน ตามด้วยปฏิกิริยาดีไฮดรอเจน化 เนชัน

10. การเปลี่ยนสารบีตา-แคโรทินเป็นสารซีแซนทิน โดยปฏิกิริยาไซครอกซิเลชันที่คาร์บอนตำแหน่ง 3 และ 3' โดยต้องการโมเลกุลของออกซิเจนด้วย ปฏิกิริยานี้พบในการที่แอลฟ่า-แคโรทิน กลายเป็นลูเทอเรน

11. การเปลี่ยนรูปสารบีตา-แคโรทินเป็นสารโรโดแซนทิน (rhodoxanthin) โดยกลไกที่ยังไม่เป็นที่ทราบแน่ชัดแต่เข้าใจว่ามีการเติมหมู่ OH ที่คาร์บอนตำแหน่งที่ 5 การสูญเสีย H ที่มีคาร์บอนตำแหน่งที่ 4' การสูญเสียโมเลกุลน้ำและการดีไฮดรอเจนชันที่คาร์บอนตำแหน่งที่ 3 และ 3' ตามลำดับ

12. การเปลี่ยนรูปสารบีตา-แคโรทินเป็นสารแคนทาแซนทินโดยการเติมหมู่คิโตที่คาร์บอนตำแหน่งที่ 4 และ 4' มีปฏิกิริยาไซครอกซิเลชัน ตามด้วย ดีไฮดรอเจนชัน

13. การเปลี่ยนรูปสารบีตา-แคโรทินเป็นสารแอสทาแซนทิน (astaxanthin) โดยปฏิกิริยาของข้อ 10 และข้อ 11

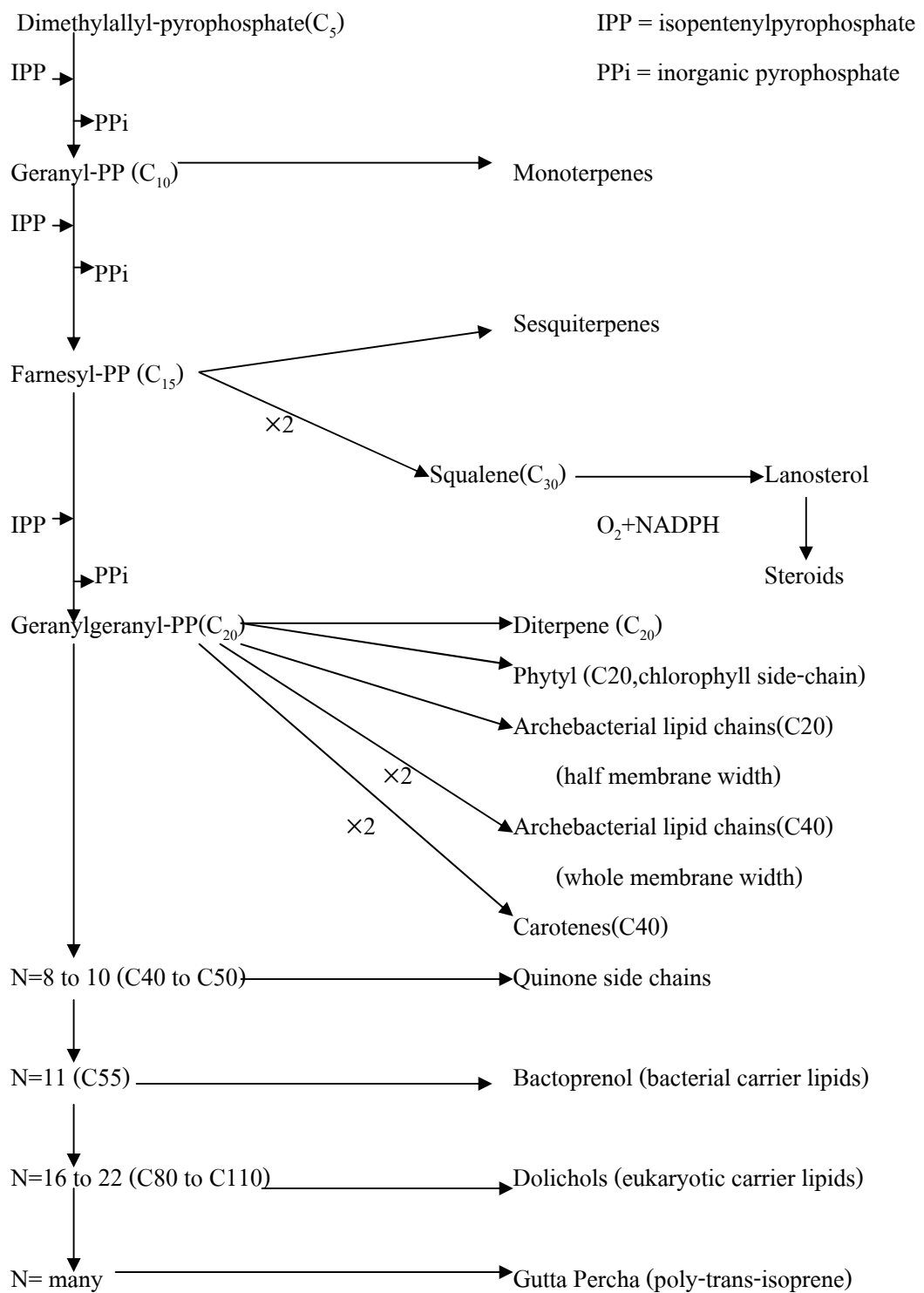
นิวโรสปอร์น (neurosporene) ให้ทั้ง acyclic lycopene และ cyclic β -zeacarotene ซึ่งสารทั้ง 2 นี้ให้แคมมา-แคโรทิน (γ -carotene) ซึ่งพบในเชื้อราหลายชนิด (Bramley และ Mackenzie, 1988)

เมื่อเกิดปฏิกิริยาสร้างโครงสร้างที่เป็นวงแหวนอีกขั้นก็เปลี่ยนเป็น (γ) เป็นบีตา-แคโรทิน เป็นขั้นตอนสุดท้ายมีผลให้เกิดแซนโทฟิลล์ ซึ่งได้แก่ สารซีแซนทิน แคนทาแซนทิน เป็นต้น

อย่างไรก็ตามเอนไซม์ที่เกี่ยวกับปฏิกิริยาการดึงหมู่ไฮdroเจน (dehydrogenation) และการเกิดวงแหวน (cyclization) นั้นมีการศึกษาน้อยมาก

แคโรทินพบเป็นพิเศษในเซลล์โลหิตอิปิดอดี (spherosome หรือ lipid bodies) แต่การสังเคราะห์เกิดในอีนโดพลาสมิกเรติกติคูลัม (endoplasmic reticulum, ER) แคโรทินจะสะสมในส่วนชั้นกลางที่ขอบไขมันของ ER เมื่อสフェอโรโซมมีขนาดที่เหมาะสมก็จะแยกออกจากและเคลื่อนไปกับการไหลของไฮโดรพลาสซีม (Wanner *et al.*, 1981)

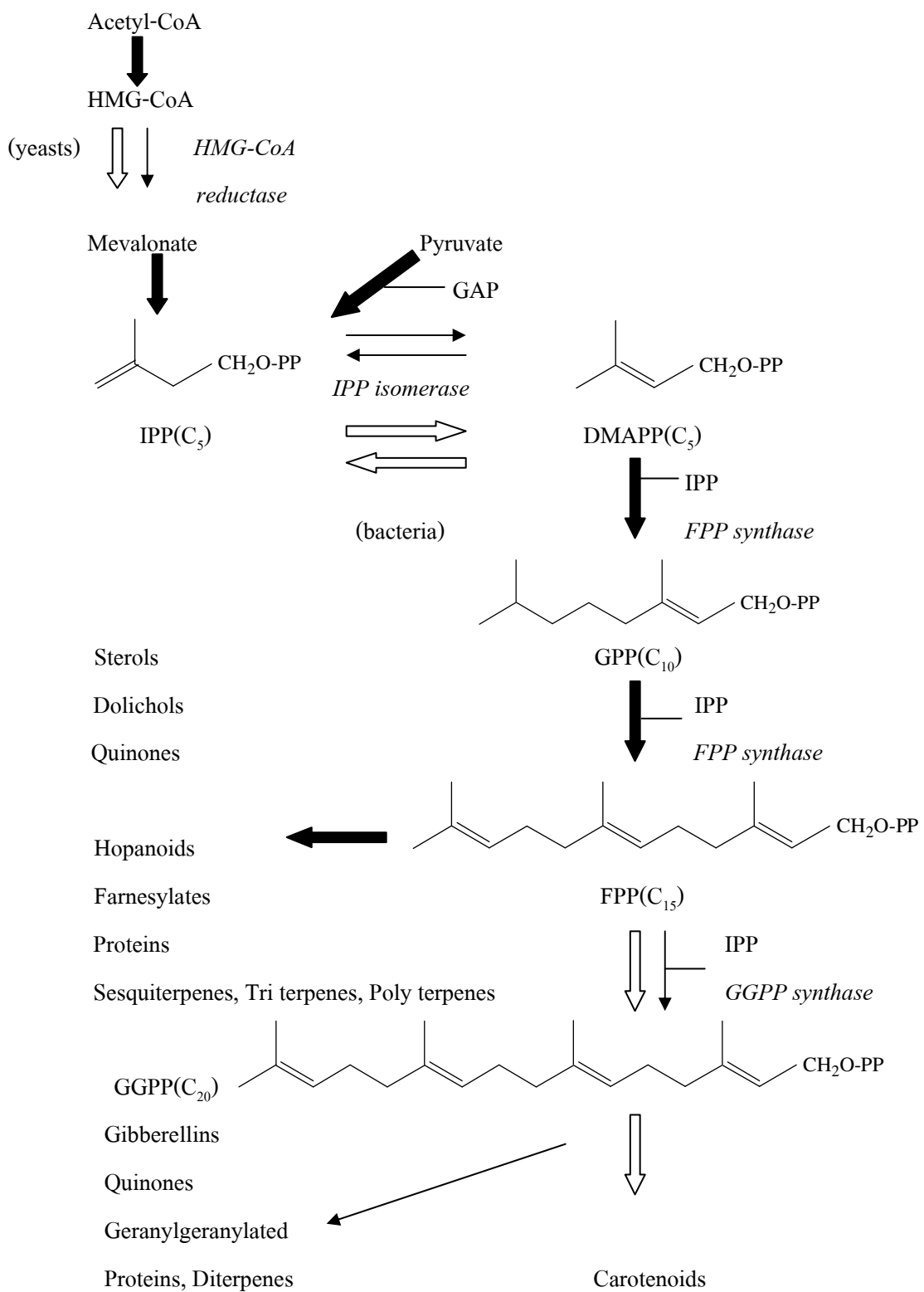
แผนภูมิแสดงชีวสังเคราะห์ของแคโรทินอยู่ด้วยละเอียดเริ่มจะแสดงในภาพที่ 4 และ 5 สำหรับยืนที่เกี่ยวข้องในกระบวนการชีวสังเคราะห์ของแคโรทินอยู่ จะแสดงในภาพที่ 6



ภาพที่ 4 ชีวสังเคราะห์ของไอโซเพรนอยด์

Figure 4. Isoprenoids biosynthesis.

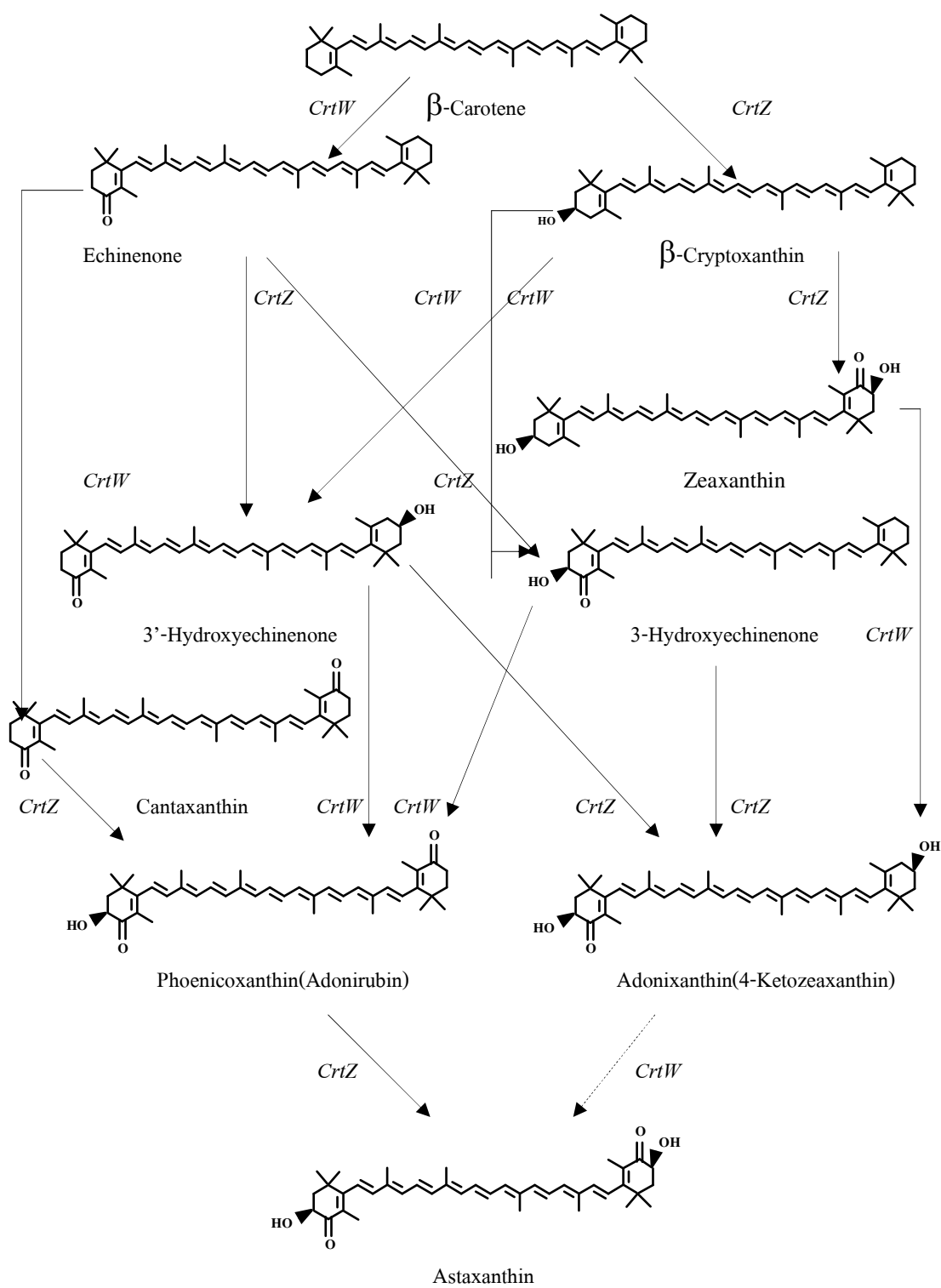
ที่มา : Visser และคณะ (2003)



ภาพที่ 5 กระบวนการสังเคราะห์ไอโซพรีโนイด์โดยสรุป

Figure 5. Summary of isoprenoid biosynthesis.

ที่มา: Misawa และ Shimada (1998)



ภาพที่ 6 หน้าที่ของยีนในกระบวนการสังเคราะห์แคโรทีนอยค์

Figure 6. Functions of the carotenoid biosynthetic genes.

ที่มา : Misawa และ Shimada (1998)

นอกจากแครอทินอยด์จะสามารถสังเคราะห์ขึ้นโดยสิ่งมีชีวิตในธรรมชาติแล้ว ในปี ค.ศ. 1956 บริษัท Hoffman-LaRoche ได้เริ่มต้นการสังเคราะห์สารบีตา-แครอทินโดยวิธีการทางเคมี ซึ่งได้มีการปรับปรุงกระบวนการให้ดีขึ้นจนกระทั่งในปัจจุบัน

หน้าที่ของแครอทินอยด์

แครอทินอยด์พบมากในพืช เชื้อรา และแบคทีเรียสังเคราะห์แสง บทบาทโดยทั่วไปของแครอทินอยด์ คือ ป้องกันการถูกทำลายของเซลล์เนื่องจากปฏิกิริยาออกซิเดชันด้วยแสง (lethal photo-oxidation) (Blum, 1941) โดยเฉพาะความเสียหายที่เกิดจากการแพร่รังสีของคลื่นแสงที่มองเห็นได้ (visible light)

Griffiths และคณะ (1955) ได้รายงานผลการวิจัยของ Stanier ที่พบว่าแบคทีเรียสังเคราะห์แสงจำพวก non-sulfur bacteria เช่น *Rhodopseudomonas sphaeroids* เมื่อทำให้กลায์พันธุ์เป็น แบคทีเรียที่ไม่มีสารสีแครอทินอยด์แตกต่างจากสายพันธุ์ฟ่อแม่ (blue-green mutant) ซึ่งจะสะสมเฉพาะสารไฟโตอินที่ไม่มีสี ในขณะที่สายพันธุ์ฟ่อแม่ใช้ไฟโตอินเป็นชั้บสเตรตของอนไซม์ซึ่งจะดึงหมุนไอกลูโคเจนออกໄไป ทำให้เกิดสีแครอทินอยด์ได้ เมื่อเลี้ยง *R. sphaeroides* ในสภาพมีอากาศและมีแสง พบว่าเชื้อเจริญได้ปกติ แต่เกิดการขับยึงการสร้างสารสีทึ้งแบคทีเรียโอลอโรฟิลล์ (bacteriochlorophyll) และแครอทินอยด์ ในขณะที่ตัวกลায์พันธุ์สีเจียวแกมน้ำเงินมีการเจริญปกติ ในสภาพขาดอากาศแต่ไม่แสง หรือสภาพมีอากาศแต่ไม่มีแสง (มีด) แต่ถ้าเลี้ยงในสภาพมีอากาศและมีแสง พบว่าการเจริญลดลงทันที มีการตายเกิดขึ้นเป็นผลจากไฟโตไนตามิกแอกซั่น (photodynamic action) ซึ่งเป็นผลกระทบเนื่องจากแสงและอากาศร่วมกันทำให้สามารถยืนยันได้ว่าแครอทินอยด์ทำหน้าที่ในการป้องกันการทำลายของเซลล์เนื่องจากปฏิกิริยาออกซิเดชันด้วยแสง

นอกจากนี้การทดลองของ Goldstrohm และ Lily (1965) ได้แสดงให้เห็นว่าเชื้อราที่ต้องการแสงในการสร้างสี (photochromogenic fungus) เช่น *Dacryopinax spathularia* เมื่อเจริญในที่มีดจะไม่สร้างสี แต่เมื่อได้รับแสงแดด (2000-70,000 fe) นาน 2 ชั่วโมง เชื้อราเหล่านี้ตายไปกว่า 89 เปอร์เซ็นต์ ในขณะที่กลุ่มที่เลี้ยงในสภาพมีแสงและเกิดสีแต่แรกจะรอดชีวิตและเจริญได้ทึ้งหมด

แครอทินอยด์จากแบคทีเรีย

แครอทินอยด์ในแบคทีเรียสามารถแบ่งออกเป็น 2 กลุ่ม คือ กลุ่มที่เกิดจากการสังเคราะห์โดยกระบวนการ chemoorganotropic และกลุ่มที่เกิดจากการกระบวนการสังเคราะห์แสง

(photosynthetic carotenogenesis) ทั้งนี้แคลโรทีโนydที่ได้จาก chemoorganotrophic bacteria พบทั้งแคลโรทีโนydที่มีองค์ประกอบเป็น C30, C40 และ C50

แคลโรทีโนydชนิด C30 (C30 carotenoids) หรือ ไดอะปีแคลโรทีโนyd (diapocarotenoids) จะพบได้ในแบคทีเรียชนิดต่างๆ เช่น *Staphylococcus aureus* (Suzue *et al.*, 1967) *Streptococcus faecium* (Ciegler, 1965) และ *Pseudomonas rhodos* (Andrews *et al.*, 1976) และกลุ่มแบคทีเรียที่มีรูปร่างกลมที่ชอบเกลือ (halococci) (Sutter, 1975) ในขณะที่มีรายงานว่าสามารถพบ C40 carotenoids ได้ใน *Sarcina litoralis*, *Cellulomonas dehydrogenans*, *Halobacterium cutirubrum*, *Brevibacterium* ที่สร้างแคนทาแซนทิน(canthaxanthin) (Ross, 1979) *Flavobacterium* สร้างซีแซนทิน (zeaxanthin) (Ben-Amotz and Avron, 1983) มักพบ C50 carotenoids ในรูปของสารแบคทีเรียอร์บีริน (bacterioruberin) ที่พบในแบคทีเรียที่เจริญได้ดีในสภาพที่มีเกลือและขังพบในรูปของสารคีคาเปรโนแซนทิน (decaprenoxanthin) ที่พบใน *Corynebacteria* อีกด้วย (Sutter, 1975)

สาร Glycosylated carotenoids หรือแคลโรทีโนydที่มีโมเลกุลน้ำตาลเป็นองค์ประกอบจะพบในแบคทีเรีย Order Myxobacterales ซึ่งเป็นแบคทีเรียไกลอดิงที่พบทั่วไปในดิน ลักษณะรูปร่างของเซลล์เป็นทรงกระบอกสามารถรวมตัวเกิดเป็น fruiting bodies ในสภาพที่ไม่เหมาะสมต่อการเจริญสีของ myxospore fruiting bodies มีตั้งแต่สีเหลือง, ส้ม, แดง หรือ ม่วงเข้ม แคลโรทีโนydที่แยกจากแบคทีเรียไกลอดิงมีมากกว่า 60 ชนิด ที่มีความยาวقاربอนปกติแต่มีโครงสร้างทั้งที่เป็นหรือไม่เป็นวงกลมและมีโมเลกุลน้ำตาลเช่น กลูโคส หรือแรมโนส จับที่หมุนไอครอกซ์ เช่น มิกโซแบคทิน (Myxobactin) ที่พบใน *Myxococcus fulvus* เป็นต้น (Fiasson *et al.*, 1970)

ในขณะที่แบคทีเรียไกลอดิง (gliding bacteria) ที่ไม่สร้าง fruiting bodies แต่เซลล์ขังคงมีสีสีเหลือง หรือสีส้มในสกุล *Cytophaga* *Flexibacter* และ *Sporocytophaga* นั้นพบว่ารังควัตถุที่เชื่อสร้างขึ้นเป็นสารโพลีอีน (polyene) ไม่ได้แคลโรทีโนyd (Fiasson *et al.*, 1970)

ส่วนแบคทีเรียกลุ่ม *Mycobacteria* ที่ไม่ก่อให้เกิดวัณโรค จะพบสารแคลโรทีโนydเป็นสีเหลืองและส้มทั้งที่ต้องอาศัยแสง (photochromogenic) หรือสร้างได้ในที่มืด (scotochromogenic) จึงมีการใช้คุณสมบัติการสร้างสีนี้ในการจัดจำแนกสายพันธุ์ โดย Ichiyama และคณะ (1988) พบว่า photochromogenic *Mycobacteria* สามารถสร้างบีต้า-แคลโรทีนได้ ในขณะที่กลุ่ม scotochromogenic *Mycobacteria* สร้างแซนโทฟิลล์ (xanthophylls) ทั้งในที่มืดและมีแสง แซนโทฟิลล์ที่พบเป็นสารซีแซนทิน (seaxanthin) และอสโซแซนทิน (eschscholtzanthin) จากแบคทีเรีย *Mycobacterium phlei* และ *Micrococcus aureus* ตามลำดับและสามารถพบสารทั้งสองใน *Mycobacterium chubuense*

ส่วนแครอทีนอยด์ที่พบในแบคทีเรียสังเคราะห์แสง เช่น purple bacteria ส่วนใหญ่จะสร้างแครอทีนอยด์ที่มีหมู่เมธอกซีที่คาร์บอนตำแหน่งที่หนึ่ง หรือในรูปของสารสปิริโลแซนทิน (spirilloxanthin) หรือสเฟียรอยดีน (spheroidene) โดยที่ *Rhodopseudomonas sphaeroides* และ *R. capsulatus* สร้างสเฟียรอยดีโนน (spheroidenone) ในขณะที่แบคทีเรียกลุ่ม purple non-sulphur bacteria เช่น *Rhodospirillum rubrum* และ *R. palustris* รวมทั้งกลุ่ม photolithotrophic sulphur bacteria เช่น *Chromatium* spp. สร้างสารสปิริโลแซนทิน รายชื่อจุลินทรีย์พร้อมด้วยผลิตภัณฑ์สารสีสำคัญที่เชื่อเหล่านี้ผลิตได้นั้นแสดงในตารางที่ 3

ตารางที่ 3 จุลินทรีย์ที่เป็นแหล่งสารสี

Table 3. Microbial source of pigment.

| Microorganism | Pigment | Reference |
|----------------------------------|--|---------------------------------|
| Bacteria | | |
| <i>Mycobacteria</i> | carotenoid | Ichiyama <i>et al.</i> , (1988) |
| Yeast | | |
| <i>Phaffia rhodozyma</i> | carotenoid | Johnson and Lewis (1979) |
| <i>Rhodotorula</i> sp. | carotenoid | Goodwin (1972) |
| Algae | | |
| <i>Dunaliella salina</i> | carotenoid, vitamin F | Borowitzka (1989) |
| <i>Haematococcus pluvialis</i> | astaxanthin | Lorenz (1998) |
| <i>Spirulina maxima</i> | carotenoid, Protein cell vitamin B12, pigment | Borowitzka (1988) |
| Fungi | | |
| <i>Amanita muscaria</i> | betalain purple, Red, orange and yellow | Hendry and Houghton (1992) |
| <i>Blakeslea trispora</i> | carotenoid | Ninet and Renaut (1979) |
| <i>Cantharellus cinnabarinus</i> | canthaxanthin | Hendry and Houghton (1992) |
| <i>Monascus purpureus</i> | monascus | Palo <i>et al.</i> , (1960) |
| <i>Phycomyces blakesleeanus</i> | carotenoid | Ninet and Renaut (1979) |

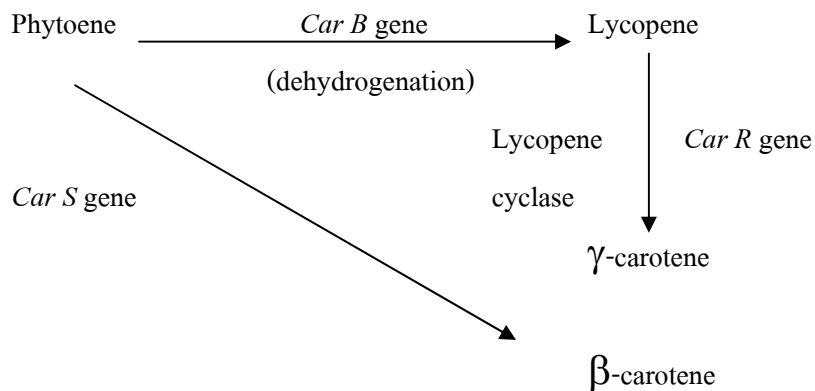
การควบคุมการสังเคราะห์แครอทีนอยด์

กระบวนการชีวสังเคราะห์ของแครอทีนอยด์นั้นมีหลายปัจจัยที่มีผลต่อการสังเคราะห์ ทั้งในด้านบวกและด้านลบ อาทิเช่น

1. การกระตุ้นโดยแสง มีรายงานว่าแสงสามารถกระตุ้นการสร้างแครอทีนอยด์เมื่อเลี้ยงเชื้อราก *Phycomyces* ในสภาวะที่มีแสงโดยพบว่าปริมาณของสารบีตา-แครอทีนเพิ่มเป็น 10 เท่าเมื่อเปรียบเทียบกับเชื้อเดียวกันที่เลี้ยงในที่มืด (Bergman และคณะ, 1969) ซึ่งสอดคล้องกับรายงานของ Blum (1941) ที่เสนอแนะว่าแสงเป็นปัจจัยแรกในการควบคุมการสร้างแครอทีนก่อนปัจจัยอื่นๆ เช่น การผสมพันธุ์ หรือไมโครดไทร์สปอริก และสารอาหารเลี้ยงเชื้อเป็นต้น นอกจากนี้ Rau (1976) ได้ยืนยันถึงผลของการกระตุ้นการสังเคราะห์แครอทีนอยด์ด้วยแสง โดยทดลองกับเชื้อรากจำนวน 13 สายพันธุ์ พบว่ามีความจำเป็นต้องเติมสารบางชนิด เช่น p-hydroxy mercuribenzoate และ p-chloromercuribenzoate ในอาหารเลี้ยงเชื้อของ *Fusarium aquaeductum* และ *Cephalosporium diospyros* ที่เลี้ยงในสภาวะที่ปราศจากแสงเพื่อทดสอบการให้แสงดังกล่าวจึงจะสร้างแครอทีนอยด์ได้

2. มีตา-ไอโอน (β-ionone) และ กรดไทรัสปอริก (trisporic acid) Ciegler (1965) รายงานว่าสารทั้งสองมีผลสนับสนุนการสร้างแครอทีนอยด์โดยไม่มีส่วนที่จะเกิดเป็นส่วนใดส่วนหนึ่งของโครงสร้างแครอทีนอยด์ซึ่งเป็นลักษณะ steering effect มีใช้สารเริ่มต้น (precursors)

3. การแสดงออกของยีน กลุ่มนักวิทยาศาสตร์สเปน (Cerda-Olmedo, 1985) ได้พบร่องรอยที่เกี่ยวข้องกับการสังเคราะห์แครอทีนอยด์ดังแสดงในภาพที่ 7



ภาพที่ 7 แผนผังการทำงานของยีนที่เกี่ยวข้องกับชีวสังเคราะห์สารแครอทีนอยด์

Figure 7. Diagram of gene involving with carotenoid biosynthesis.

ที่มา : Cerda และ Olmedo (1985)

จากความรู้เกี่ยวกับยีนที่เกี่ยวข้องเกี่ยวกับการสังเคราะห์แครอทีนอยค์ดังกล่าวทำให้สามารถปรับปรุงสายพันธุ์ของจุลินทรีย์โดยการซักนำให้เกิดการกลายพันธุ์เพื่อทำให้เกิดการสังเคราะห์แครอทีนอยค์เพิ่มมากขึ้น เช่น ในกรณีของสายพันธุ์กลาวยอง *Car S mutants* ที่สามารถผลิตบีตา-แครอทีนได้สูงถึง 6,000 ไมโครกรัมต่อกิโลกรัมของเซลล์แห้งในขณะที่สายพันธุ์พ่อแม่สามารถผลิตสารเดียวกันได้เพียง 2,000 ไมโครกรัมต่อกิโลกรัมของเซลล์แห้งเท่านั้น Ootaki (1973) ได้ใช้วิธีรวม (grafting) เส้นใยอ่อนของ *P. blakesleeanus* สายพันธุ์กลาวยให้ได้ heterokaryons ที่ผลิตแครอทีนได้สูงถึง 25,000 ไมโครกรัมต่อกิโลกรัมเซลล์แห้ง และ Murillo-Aranjo และคณะ (1982) ได้จดสิทธิบัตรของการเพิ่มปริมาณแครอทีนอยค์โดยกระบวนการดังกล่าวเป็นที่เรียบร้อยแล้ว

ตารางที่ 4 สรุปการผลิตแครอทีนอยค์โดยกระบวนการเทคโนโลยีชีวภาพจุลินทรีย์

Table 4. Summary of carotenoid production by microbiotechnology.

| Microorganism | pigment | Commercial status | Application |
|----------------------------|-------------------|-----------------------|---|
| Bacteria | | | |
| <i>Brevibacterium</i> spp. | canthaxanthin | | |
| <i>Flavobacterium</i> spp. | seazanthin | | |
| Yeast | | | |
| <i>Rhodotorula</i> spp. | torularodein | | Hue of yolk |
| <i>Phaffia rhodozyma</i> | astaxanthin | | Feed additive for crab, shrimp, shellfish, chicken, fish and salmon |
| Fungi | | | |
| <i>Phycomyces</i> | β -carotene | | |
| <i>blakesleeanus</i> | | | |
| <i>Blakeslea trispora</i> | β -carotene | | |
| Algae | | | |
| <i>Spongiococcum</i> | | | |
| <i>excentricum</i> | lutein | Algae pond | |
| | | A-Zanth company, Iowa | |

ที่มา : ดัดแปลงมาจาก Margalith (1992)

ตารางที่ 4 (ต่อ)

Table 4. (Cont.)

| Microorganism | pigment | Commercial status | Application |
|-----------------------|-------------------|--|-------------|
| <i>Dunaliella</i> sp. | β -carotene | Algae N.T.B. Co. and Western Biotechnology | Health food |

ที่มา : ดัดแปลงมาจาก Margalith (1992)

การสกัดและการแยกแครอทีนอยด์ชนิดต่างๆดังแสดงในตารางที่ 5

ตารางที่ 5 การแยกและทำให้บริสุทธิ์ของแครอทีนอยด์โดยวิธีการทางโภคภาระ

Table 5. Separation and purification of carotenoids by chromatography.

| Carotenoid | Source | Stationary phase | Mobile phase |
|---------------------------------------|--|------------------------------|------------------------|
| i) 1. β,ε -Carotene | Carrot | MgO/Hyflo | Petroleum |
| 2. β,β -Carotene | Palm oil | Supercel(1:1) (extrusion) | |
| ii) Perdeuteraed | Green algae | Powdered | Petroleum/ |
| 1. β,ε -Carotene | (<i>Scenedesmus</i> <i>obliquus</i> , <i>Chlorella</i> <i>vulgaris</i>) | sugar+3%starch | Propanol (99:5:0.5) |
| 2. β,β -Carotene | Grown in D ₂ O | MgO/Celite (1:2) | Petroleum/ acetone |
| iii) 1. β,ε -Carotene | tomato | MgO/ Hyflo | Petroleum/ |
| 2. β,β -Carotene | papaya | Supercel(1:1) | acetone |
| 3. 7,8,7',8'-Tetrahydro- lycopene | kale squash | (activated at 110°C) | (1 to 15%) |

ที่มา : Bernhard และ Friedrich (1995)

ตารางที่ 5 (ต่อ)

Table 5. (Cont.)

| Carotenoid | Source | Stationary phase | Mobile phase |
|---|-----------------------|---|---|
| 4. β,Ψ - Carotene | | | |
| 5. Lycopene | | | |
| iv) 1. 15Z-Phytoene | tangerine | MgO | Hexane/ |
| 2. 15Z,9'Z-Phytofluene | tomoto | | acetone |
| 3. 9Z,9'Z- ζ - Carotene | | | (Diacetone |
| 4. 9Z,7'Z,9'Z-Neuro- | | | alcohol |
| sporene | | | formed as |
| 5. 7Z,9Z,7'Z,9'Z- | | | artifact |
| Lycopene (=prolycopene) | | | removed |
| | | | with |
| | | | H ₂ O) |
| v) Purification of commercially available β,β -Carotene | FLUKA | 1.Alumina II-III 2.Alumina I | Hexane/ether (4°C) |
| vi) 1. Lutein | <i>Tagetes erecta</i> | 1.Alumina III | Benzene/ |
| 2. Zeaxanthin | (petal extract) | 2.MgO/Dicalite (2:1) 3.Alumina IV | Methanol Petroleum acetone Hexane ether |
| vii) 1.Zeaxanthin | <i>Fucus serratus</i> | 1.Acidic alumina IV | Benzene/ 0 to 20% ethyl acetate |
| 2. Fucoxanthin | | 2.CaCO ₃ | Benzene/ 0 to 100% Acetone |

ที่มา : Bernhard และ Friedrich (1995)

ตารางที่ 5 (ต่อ)

Table 5. (Cont.)

| Carotenoid | Source | Stationary phase | Mobile phase |
|---|--|-------------------------------|---|
| viii) 1.Luteoxanthin 2.Auroxanthin 3.Fucoxanthin 4.Neoxanthin 5.Fucoxanthinol | <i>Fucus serratus</i> | Silica | Hexane/ 0 to 100% acetone |
| ix) 3-Hydroxy-5,6-epoxy-5,6-dihydroapocarotenals | Partail synthesis | CaCO ₃ | Benzene/ Petroleum |
| x) 1.Lutein 2.3'-Epilutein | <i>Taraxacum officinale</i> lutein fraction | Mg CO ₃ | Petroleum/ acetone (17:3) |
| xi) 1.(3S,5R,6S)-8'-Apoviolaxanthinal 2.(3S,5S,6R)-8' - citraurin | Valencia Orange, citraurin | CaCO ₃ (vacuum) | Benzene/ Petroleum (1:3) |
| xii) 1.(3R,3'R)-Astaxanthin di-(-)-camphanate 2.(3R,3'S)-Astaxanthin di-(-)-camphanate 3.(3S,3'S)-Astaxanthin di-(-)-camphanate | Synthesized astaxanthin (rac/meso 1:1) | Silica (0.040-0.063mm) | Toluene/ether/ isopropanol (89:9:2) |
| xiii) 1.13Z-β,β-Carotene 2.13Z,15Z-β,β-Carotene | Synthesized mixture | Neutral Alumina I | Hexane/ 0 to 4% ether |
| xiv) 1.15Z-Violaxanthin 2.13Z-Violaxanthin | <i>Viola tricolor</i> | CaCO ₃ (vacuum) | Benzene/ 0 to 4% acetone |
| xv) 1.9Z- Violaxanthin 2.9Z,9'Z- Violaxanthin | <i>Viola tricolor</i> | CaCO ₃ (vacuum) | Benzene/ Petroleum(4:1) |

ที่มา : Bernhard และ Friedrich (1995)

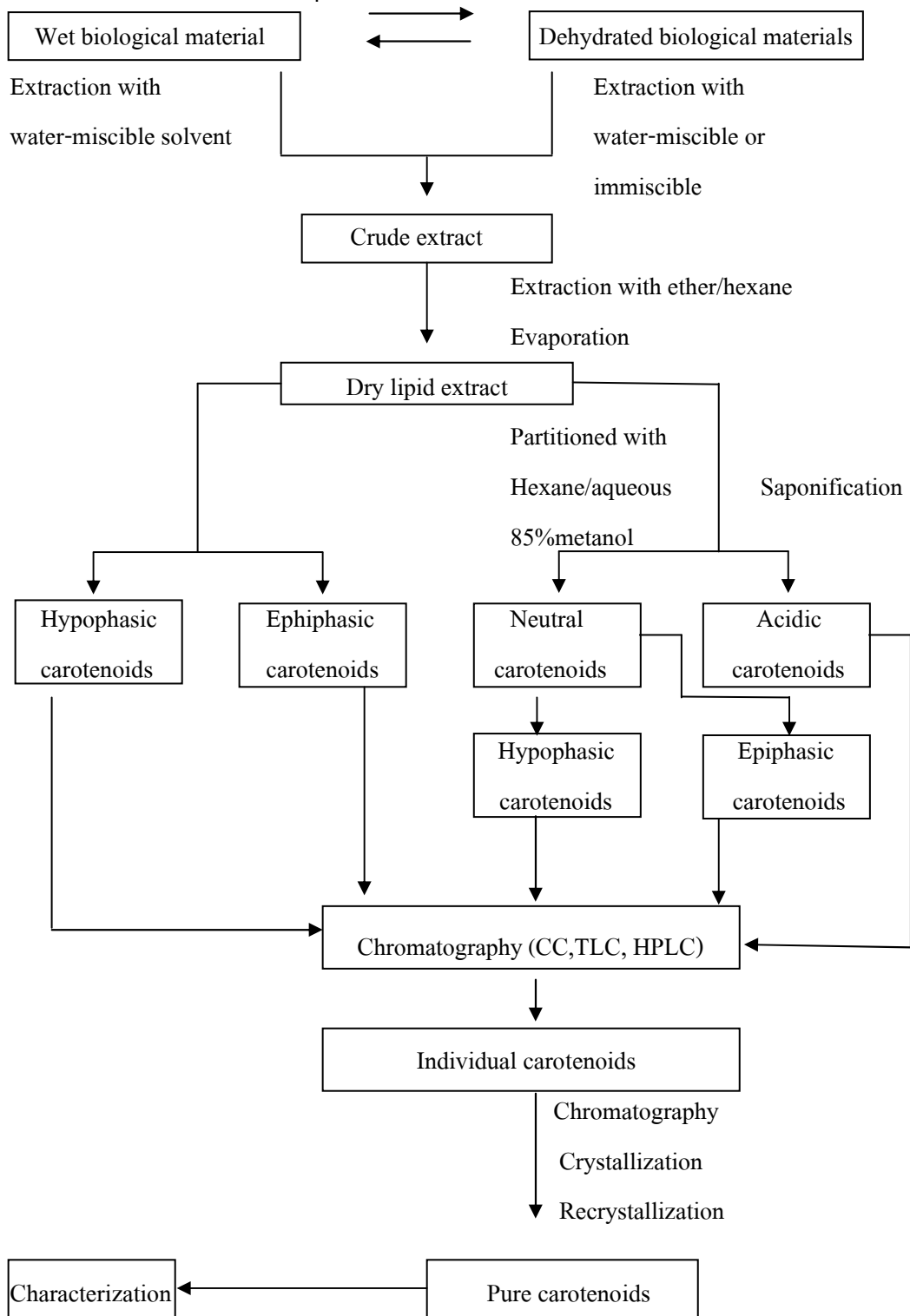
ตารางที่ 5 (ต่อ)

Table 5. (Cont.)

| Carotenoid | Source | Stationary phase | Mobile phase |
|-----------------------------|--------------------------------|-----------------------------|------------------------------------|
| 3.9Z,13'Z- Violaxanthin | | | |
| 5.9Z,13Z- Violaxanthin | | | |
| 6.all-E- Violaxanthin | | | |
| xvi) 1.all-E-Fucoxanthin | <i>Fucus</i> , | Sucrose | Hexane/ |
| 2.13'Z- Fucoxanthin | <i>Ascophyllum</i> | | 0.5 to 2% |
| 3.13Z- Fucoxanthin | <i>Pelvetia</i> or | | propanol |
| 4.9'Z- Fucoxanthin | <i>Laminaria</i> | | |
| xvii) Mangicrocin | <i>Crocus sativus</i> | 1.Sephadex LH20 2.Silica | Ethanol/ 40%water Chloroform |
| xviii) Carotenoid sulphates | Synthesized astaxanthin Silica | | Ethyl acetate/ methanol |

ที่มา : Bernhard และ Friedrich (1995)

กระบวนการแยกและทำให้บริสุทธิ์ของแคโรทีนอยด์จากแหล่งธรรมชาติแสดงในภาพที่ 8



ภาพที่ 8 แสดงแผนภูมิการแยกและทำให้บริสุทธิ์ของแคโรทีนอยด์จากแหล่งธรรมชาติ

Figure 8. Diagram of separation and purification of natural carotenoids.

ที่มา : Jensen และคณะ (1995)

การใช้ประโยชน์จากแครอทีนอยด์

แครอทีนอยด์ที่ผลิตจากแหล่งธรรมชาติ เช่น พืชชันสูงและจุลินทรีย์ มีปริมาณโดยรวมเท่ากับ 100 ล้านตันต่อปี (Cormier, 1998) และมีการนำไปใช้ประโยชน์หลายด้าน ทั้งในรูปของสารให้สี วิตามิน สารอนอมอาหาร และใช้เป็นยา ดังสรุปไว้ในตารางที่ 6

โดยจะพบว่าประสิทธิภาพของแครอทีนอยด์ในการด้านการเกิดอนุมูลอิสระสูงกว่าวิตามินอี ถึง 550 เท่า และมีประสิทธิภาพสูงกว่าเบต้าแครอทีน และแครอทีนอยด์ที่สกัดมาจากเม็ดองุ่นถึง 40 และ 17 เท่า ตามลำดับ

แครอทีนอยด์นักจากมีคุณสมบัติในการเป็นสารต้านอนุมูลอิสระแล้วยังสามารถที่จะป้องกันการเกิดมะเร็ง, ขับยึนการเกิดแพลเปื่อย, ป้องกันการเสียหายหรือยึดอายุของเซลล์รวมทั้งป้องกันการเกิดโรคหัวใจหรือโรคเกี่ยวกับเส้นเลือดแครอทีนอยด์ที่เป็นสนิมมากชนิดหนึ่งคือ astaxanthin เนื่องจากโครงสร้างของ astaxanthin มีอยู่ประมาณ 3 ชนิดแต่ที่พบมากที่สุด ก็คือ astaxanthin (3,3'-dihydroxy-carotene-4,4'-dione) ดังแสดงในภาพที่ 9 (Guerin *et al.*, 2003)

ตารางที่ 6 การใช้ประโยชน์ของแครอทีนอยด์ชนิดต่างๆ

Table 6. Applications of carotenoid.

| Carotenoid | Colour | Application of carotenoid |
|---------------------------------|------------|---|
| Xanthophylic carotenoids | | feed additive, hue of yolk |
| Canthaxanthin | orange-red | snack, milk, fat, trout and feed additive |
| Astaxanthin | | margarine and food salmon, trout, shrimp, mantis shrimp and poultry feed and antioxidant |
| Carotenoid without xanthophylls | | provitamin A vitamin A |
| Carotenoid with xanthophylls | | antioxidant enhancement of the immune response anti tumor, anticancer and anti-aging |
| β -carotene oil base | yellow | butter, margarine, cheese, |

ที่มา : Britton (1992), Margalith (1992), Lorenz (1998)

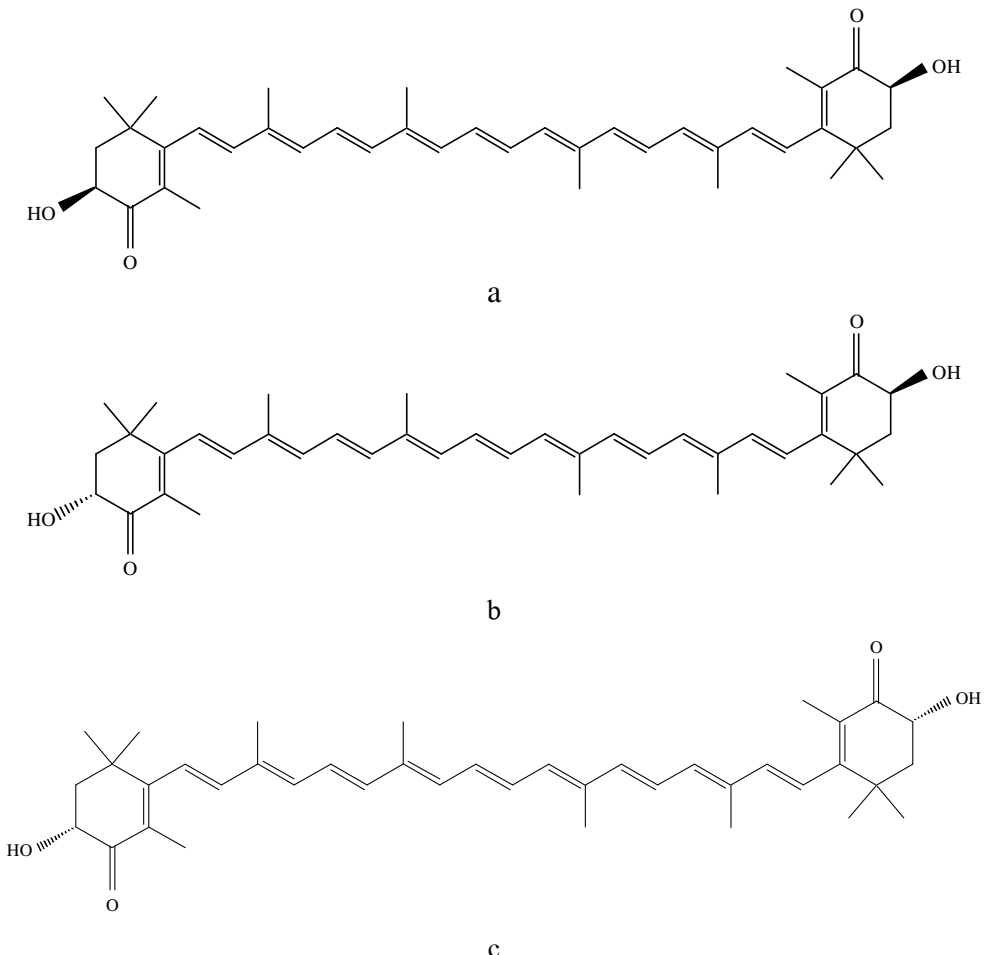
ตารางที่ 6 (ต่อ)

Table 6. (Cont.)

| Carotenoid | Colour | Application of carotenoid |
|---|--------|---|
| | orange | fat food , eggs, snack and pasta |
| | | salad, milk products, pop corn, tomato products |
| | | etc. and anticancer |
| β -carotene 8'-apo- β - | | soft drink, specially orange |
| Carotene-8' al (water-dispersible preparation) | yellow | desserts and sweets |
| Canthaxanthin | | soup and meat products |
| | | medicine, anti-oxidant and anticancer |

ที่มา : Britton (1992), Margalith (1992), Lorenz (1998)

จะเห็นได้ว่าปัจจุบันแครอทีนอยด์นั้น ได้รับความสนใจเป็นอย่างมากในการนำมาประยุกต์ใช้ในอุตสาหกรรมเครื่องสำอาง, เคมี, 食品, ยา และอุตสาหกรรมอาหารสัตว์โดยเฉพาะอย่างยิ่งในอาหารสำหรับสัตว์น้ำ เช่น การเพาะเลี้ยงปลาแซลมอน, ปลาทราราท และกุ้งซึ่งนิยมนำสารสีแครอทีนอยด์มาผสมในอาหารเพื่อบรรบปวงคุณภาพด้านสีของเนื้อสัตว์น้ำเหล่านี้ให้เป็นที่ยอมรับของตลาดและผู้บริโภค โดยทั่วไปแครอทีนอยด์ มีราคาจำหน่ายอยู่ที่ประมาณ 2,500-3,000 เหรียญสหราชอาณาจักรต่อกิโลกรัม และทุกๆ ปีปริมาณของแครอทีนอยด์ที่จำหน่ายมีมูลค่าถึง 200 ล้านเหรียญสหราชอาณาจักร แต่มีแนวโน้มที่จะเพิ่มขึ้นอย่างต่อเนื่อง (Malea *et al.*, 2005) ถึงแม้ว่าร้อยละ 95 ของแครอทีนอยด์ที่ใช้อยู่ในปัจจุบัน ได้มาจากการสังเคราะห์ก็ตามแต่ความต้องการที่จะผลิตแครอทีนอยด์จากแหล่งธรรมชาตินั้นมีเพิ่มมากขึ้น เนื่องจากไม่มีสารประกอบโลหะหนักตกค้างและเป็นที่ยอมรับของผู้บริโภค (Bocaneegra *et al.*, 2004)



ภาพที่ 9 โครงสร้างของ astaxanthin (3,3'-dihydroxy-carotene-4,4'-dione) (a), astaxanthin 3R,3'S (b), astaxanthin 3R,3'R (c)

Figure 9. Structure of astaxanthin (3,3'-dihydroxy-carotene-4,4'-dione) (a), astaxanthin 3R,3'S (b), astaxanthin 3R,3'R (c).

ที่มา : Guerin และคณะ (2003)

แหล่งที่มาที่สำคัญของแครอทีนอยค์มีอยู่สองแหล่งคือ

1. การสังเคราะห์ด้วยวิธีการทางเคมี

การสังเคราะห์แครอทีนอยค์ด้วยวิธีการทางเคมีนั้นแตกต่างกันโดยอาจใช้สารเคมีหรือโครงสร้างของสารเริ่มต้นที่เหมือนหรือต่างกันก็ได้ แต่ผลผลิตสุดท้ายที่ออกมานั้นก็จะเป็นแครอทีนอยค์ชนิดหนึ่งชนิดใด

2. จากสิ่งมีชีวิต กระบวนการผลิตแครอทีนอยด์ทั้งสองวิธีนี้สามารถที่จะผลิตแครอทีนอยด์ได้ ออกนามีโครงสร้างที่เหมือนกัน แต่เมื่อมาเปรียบเทียบเกี่ยวกับคุณสมบัติต่างๆของแครอทีนอยด์ที่ได้ แล้ว พบว่าแครอทีนอยด์ที่ได้จากแหล่งธรรมชาติมีคุณสมบัติที่ดีกว่าแครอทีนอยด์ที่ได้จากการ สังเคราะห์ทางเคมี และมีความปลดปล่อยจากปราศจากสารตกค้างจากการสังเคราะห์ ทางเคมี เช่น สารที่มีหมู่สาโลเจนเป็นองค์ประกอบ ดังนั้นในปัจจุบันนี้นักวิทยาศาสตร์จึงให้ความ สนใจที่จะศึกษาการผลิตแครอทีนอยด์จากสิ่งมีชีวิตเพิ่มมากขึ้น โดยแหล่งของแครอทีนอยด์จาก ธรรมชาติแสดงในตารางที่ 7

ตารางที่ 7 แหล่งของแครอทีนอยด์จากธรรมชาติ

Table 7. Carotenoid from natural sources.

| Sources | Carotenoid concentration (ppm) |
|--------------------------------|--------------------------------|
| Salmonids | ~ 5 |
| Plankton | ~ 60 |
| Krill | ~ 120 |
| Arctic shrimp | ~ 1,200 |
| <i>Phaffia</i> sp. | ~ 8,000 |
| <i>Haematococcus pluvialis</i> | ~ 40,000 |

ที่มา : Torissen (1996)

ตารางที่ 8 โครงสร้างหลักของแครอทีนอยด์ที่อยู่ในเนื้อเยื่อของสัตว์น้ำ

Table 8. Main structure of carotenoid in aquatic animal tissues.

| Species | Type of tissue | | | | | |
|--------------|----------------|------------|-----------------|---------|-------|------|
| | Skin | Flesh | Digestive gland | Ovaries | Serum | Eggs |
| Salmonids | Esterified | Free | Free | Free | Free | Free |
| Esterified | | | | | | |
| Shrimp | Esterified | Esterified | Free | Free | N.A. | Free |
| Red seabream | Esterified | N.D. | N.D. | N.D. | N.D. | N.D. |

ที่มา : Miki (1991)

N.D. : not determined

ตารางที่ 9 ปริมาณ รูปแบบ และระดับของแคโรทีนอยด์ที่มีความสำคัญกับการเพาะเลี้ยงสัตว์น้ำจากแหล่งต่างๆ

Table 9. Content, form and level of carotenoid important for aquatic culture from various sources.

| Aquaculture species | Content (mg/kg) | Form (Free/Esterified) | Main isomer |
|--------------------------------|-----------------|------------------------|-------------|
| Sockeye salmon | 26-37 | Free,esterified | 3S,3'S |
| Coho salmon | 9-21 | Free,esterified | 3S,3'S |
| Chum salmon | 3-8 | Free,esterified | 3S,3'S |
| Chinook salmon | 8-9 | Free,esterified | 3S,3'S |
| Pink salmon | 4-6 | Free,esterified | 3S,3'S |
| Atlantic salmon | 3-11 | Free,esterified | 3S,3'S |
| Rainbow trout | 1-3 | Free,esterified | 3S,3'S |
| Salmon egg | 0-14 | Esterified | N.A. |
| Red seabream | 2-14 | Esterified | N.A. |
| Red seabream egg | 3-8 | N.A. | N.A. |
| Black tiger prawn | 10-150 | Esterified,free | 3S,3'S |
| Lobster | - | Esterified,free | Free |
| Copepods | 39-84 | Esterified | N.A. |
| Krill | 46-130 | Esterified | 3R,3'R |
| Krill oil | 727 | Esterified | 3R,3'R |
| Crayfish meal | 137 | Esterified | N.A. |
| Arctic shrimp | 1160 | Esterified | 3S,3'S |
| Yeast | 30-800 | Esterified | 3R,3'R |
| Synthetic astaxantihn | 80,000 | Free | 3R,3'S |
| <i>Haematococcus pluvialis</i> | 10,000-30,000 | Esterified | 3S,3'S |

N.A. : not available

ที่มา : Miki (1991)

ทั้งนี้เมื่อพิจารณาจากแหล่งที่มาของแครอทินอยด์จากธรรมชาติแล้วพบว่าการศึกษาเกี่ยวกับแครอทินอยด์จากแบคทีเรียในทะเลยังมีปรากฏไม่มากนัก ในขณะที่แบคทีเรียในทะเลหลายชนิดที่มีลักษณะของโคลโนนีที่มีสีเหลือง ส้ม แดง ไปจนถึงม่วง ซึ่งคาดว่าจะมีแครอทินอยด์ชนิดหนึ่งชนิดใดเป็นองค์ประกอบ จึงเป็นที่น่าสนใจที่จะศึกษาถึงการแยกและคัดเลือกแบคทีเรียจากทะเลที่มีคุณสมบัติในการสร้างแครอทินอยด์เพื่อใช้เป็นแหล่งที่ใช้ผลิตแครอทินอยด์สำหรับการนำไปประยุกต์ใช้ต่อไป

วัตถุประสงค์

1. เพื่อแยกแยะคัดเลือกแบบที่เรียจากทะเบียนที่มีคุณสมบัติในการสร้างแคริโตรีนอยด์
2. เพื่อหาสภาวะที่เหมาะสมในการผลิตสารแคริโตรีนอยด์จากแบบที่เรียจากทะเบียนที่แยกแยะคัดเลือกได้

บทที่ 2

วัสดุ อุปกรณ์ และวิธีการ

วัสดุ อุปกรณ์

1. จุลินทรีย์

เชื้อจุลินทรีย์สำหรับนำมาคัดเลือกสายพันธุ์ที่ผลิตแครอทีนอยด์ ได้แก่ เชื้อแบคทีโรมัยสีที่แยกได้จากทะเลในคลังสายพันธุ์เชื้อของห้องปฏิบัติการเทคโนโลยีชีวภาพทางทะเล ภาควิชาเทคโนโลยีชีวภาพอุดสาครรัฐ คณะอุตสาหกรรมเกษตร มหาวิทยาลัยสงขลานครินทร์ ซึ่งเก็บไว้ในอาหาร Nutrient Broth ในน้ำทะเลที่มีเกลีเซอรอล 50 เปอร์เซ็นต์ ที่อุณหภูมิ -80 องศาเซลเซียส และจุลินทรีย์ที่แยกเพิ่มเติมจากการศึกษาวิจัยนี้

2. อาหารสำหรับเลี้ยงเชื้อที่มีการผลิตสารสีแครอทีนอยด์

อาหารสำหรับการเตรียมเชื้อเริ่มต้น และการเก็บรักษาเชื้อ คือ อาหาร Nutrient Broth และ Nutrient Agar ที่เตรียมด้วยน้ำทะเลธรรมชาติที่ผ่านการกรองแล้ว

อาหารสำหรับการเลี้ยงเชื้อเพื่อผลิตแครอทีนอยด์ คือ Modified FP Medium (Dufosse และ Echanove, 2005) ประกอบด้วย กลูโคส 5 กรัมต่อลิตร, ยีสต์ 20 กรัมต่อลิตร, KH_2PO_4 1 กรัมต่อลิตร, Casamino Acid 5 กรัมต่อลิตร และ น้ำทะเลธรรมชาติที่ผ่านการกรองแล้ว 1 ลิตร

3. สารเคมี

- Acetone (LAB-SCAN, IRELAND)
- Acetonitrile (LAB-SCAN, IRELAND)
- Ethanol (LAB-SCAN, IRELAND)
- Hexane (LAB-SCAN, IRELAND)
- Isopropanol (LAB-SCAN, IRELAND)
- Methanol (LAB-SCAN, IRELAND)
- Water (LAB-SCAN, IRELAND)
- Standard carotenoid (BioAstin, SINGAPORE)

- Glucose (Boots manufacturing, THAILAND)
- K₂HPO₄ (Ajax Finechem, NEW ZEALAND)
- Yeast extract (HIMEDIA, INDIA)
- Nutrient broth (LAB-SCAN, IRELAND)
- Casamino Acid (LAB-SCAN, IRELAND)
- Tuna condensate (SONGKLA CANNING, THAILAND)
- Surimi washing water (PFP, THAILAND)

อุปกรณ์

- เครื่องเทบ่ำแบบควบคุมอุณหภูมิ (Incubator shaker) รุ่น VS-8480SRN
- เครื่องระเหยสุญญากาศ (Rotary evaporator) (Buchi)
- เครื่อง High Performance Liquid Chromatography (HPLC) รุ่น Agilent 1100
- เครื่อง Perkin Elmer GeneAmp PCR System รุ่น 2400
- คอลัมน์ชนิด reversed phase (Phenomenex Luna C18, 10 x 250 mm)
- เครื่องอบอากาศร้อน (Hot air oven) รุ่น MOV. 212
- เครื่องสเปกโตไฟโตมิเตอร์ รุ่น Jasco V 530
- เครื่องวัดความเป็นกรด – ด่าง รุ่น CG 842
- หม้อนึ่งฆ่าเชื้อ (Autoclave) รุ่น SS-325
- เครื่องหมุนเวียนแยกชนิดควบคุมอุณหภูมิ รุ่น VS-8480SRN
- เครื่องชั่ง 4 ตำแหน่ง รุ่น LA 230S
- เครื่องชั่ง 2 ตำแหน่ง รุ่น PB 1502-S
- ตู้เก็บอุณหภูมิ 4 องศาเซลเซียส PT 203
- ไดดูดความชื้น (Desicator)
- ตู้ป้องกันเชื้อ (Laminar air flow) รุ่น ABS1200

วิธีการ

1. การแยกและคัดเลือกเชื้อแบคทีเรียจากตะเกลที่สามารถผลิตสารแคร์โนยด์

1.1 การเก็บตัวอย่าง

การแยกและคัดเลือกเชื้อแบคทีเรียจากตะเกลที่สามารถผลิตสารแคร์โนยด์เริ่มจากการเก็บตัวอย่างชนิดต่างๆจากตะเกลที่เป็นแหล่งของแบคทีเรีย เช่น น้ำทะเล สัตว์ที่ไม่มีกระดูกสันหลัง เช่น ฟองน้ำ ปะการัง หอย ปลาดาว พืชทะเล เช่น สาหร่าย หญ้าทะเล ตะกอนดินในทะเล และวัสดุอื่นๆ ในทะเล เช่น ไม้ เศษเชือก เปลือกหอย เนื่องจากข้อมูลจากการศึกษาการแยกเชื้อ *Actinomycetes* และ *Gliding bacteria* เป็นองค์ก้อนหนานนีพบว่าตัวอย่างเหล่านี้มักเป็นแหล่งของแบคทีเรียที่มีการสร้างสีชนิดต่างๆ โดยจะทำการเก็บตัวอย่างทั้งจากบริเวณชายฝั่งทะเลและที่น้ำลึกระดับ 10-30 เมตร ในจังหวัดสงขลาและจังหวัดใกล้เคียง เช่น ตรัง ยะลา สตูล โดยเก็บตัวอย่างสำหรับใช้แยกแบคทีเรียที่ต้องการได้ 100 ตัวอย่าง ตัวอย่างที่เก็บได้จะเก็บรักษาไว้ที่อุณหภูมิต่ำ (ประมาณ 10-15 องศาเซลเซียส) เพื่อสะดวกในการเจริญของจุลินทรีย์ในตัวอย่างจนกว่าจะทำการแยกเชื้อ โดยวิธี spread plate technique

1.2 การแยกเชื้อจากตัวอย่าง

นำตัวอย่างมาตัดเป็นชิ้นเล็กๆขนาด 0.5×0.5 ซ.ม. โดยอาศัยเทคนิคปลอดเชือปนเปื้อน นำตัวอย่างที่ตัดแล้วมาโขมิในชามหยอดแก้วที่บรรจุด้วยน้ำทะเลที่มีการฆ่าเชื้อแล้วปริมาตร 5 มล. จากนั้นทำการเจือจางตัวอย่างด้วยน้ำทะเลที่ผ่านการฆ่าเชื้อแล้วจนได้ตัวอย่างที่มีความเจือจางเท่ากับ 10^{-1} 10^{-2} 10^{-3} และ 10^{-4} ตามลำดับ นำตัวอย่างที่เจือจางแล้วทั้ง 4 ระดับมา 0.1 มล. เกลี่ยลงในจานเพาะเชื้อที่มีอาหารสูตร nutrient agar ซึ่งใช้น้ำทะเลในการเตรียม บ่มงานเพาะเชื้อที่อุณหภูมิห้องจนสังเกตเห็นการเจริญของแบคทีเรีย

คัดเลือกเชื้อโคลoniที่มีลักษณะสีเหลือง ส้ม และแดง จำนวน 37 สายพันธุ์และแยกให้ได้เชื้อบริสุทธิ์โดยการเจี่ยเซื้อบนอาหารแข็ง nutrient agar เก็บรักษาเชื้อที่แยกและคัดเลือกได้บนอาหาร nutrient agar ที่มีน้ำทะเลเป็นองค์ประกอบหลักเพื่อใช้เป็นเชื้อที่จะต้องนำมาใช้งานต่อไปและมีการถ่ายเชื้อทุกๆ 3 เดือน นอกจากนี้ยังเก็บรักษาเชื้อทั้งหมดไว้ใน nutrient broth ที่มี 50 เบอร์เช็นต์ สารละลายน้ำมันที่อุณหภูมิ -80 องศาเซลเซียส เพื่อการเก็บรักษาเชื้อในระยะยาว

2. การเตรียมสารสกัดหยาบแคร์โนยด์

2.1 การเลี้ยงเชื้อแบคทีเรียในมัลติไนท์และแยกได้จากตะเกลในระดับขวดขยาย

นำเชื้อที่ผ่านการคัดเลือกเบื้องต้นแล้วว่ามีคุณสมบัติในการสร้างสารสีชนิดต่างๆรวมกับเชื้อแบคทีโรนิมัสซึ่งมีคุณสมบัติในการสร้างสารสีที่มีอยู่แล้วในห้องปฏิบัติการเทคโนโลยีชีวภาพทางทะเลจำนวนหนึ่งมาคัดเลือกต่อไปโดยการเลี้ยงเชื้อใน nutrient broth ที่มีน้ำทะเลและรرمชาติที่ผ่านการกรองแล้วเป็นองค์ประกอบหลักและสารอาหารที่จำเป็นต่อการเจริญของแบคทีเรียเช่น yeast extract และ peptone (เยลต์สกัด 20 กรัม, กลูโคส 5 กรัม, KH_2PO_4 1 กรัม, casamino acid 5 กรัม และน้ำทะเล 1 ลิตร) โดยเลี้ยงเชื้อแบคทีเรียแต่ละชนิดในฟลากสขนาด 250 มล. ที่มีอาหารเหลวบรรจุอยู่ 100 มล. บนเครื่องเบี่ยาที่ความเร็ว 200 รอบต่อนาที เป็นเวลา 5 วัน

2.2 การเตรียมสารสกัดหมายแครโธทินอยด์

นำ nutrient broth ที่มีเซลล์ของแบคทีเรียมาปั่นให้เข้ากัน 6,000 รอบต่อนาที เป็นเวลา 10 นาทีที่ 4 องศาเซลเซียส เพื่อให้เซลล์แตกตัว ก้อนถั่วขนาดเล็กที่ได้จากการปั่นให้เข้ากันแล้วปั่นให้เข้ากันใหม่เพื่อแยกเซลล์ออกจากส่วนของสารละลายนำเซลล์ที่ได้มาสกัดด้วยตัวทำละลายผสมระหว่างอะซิโตนและเมทานอล (2:1 ปริมาตร/ปริมาตร) ปริมาตร 25 มล. ตั้งทิ้งไว้ในที่มีดีที่อุณหภูมิห้องเป็นเวลา 6 ชั่วโมง นำสารละลายที่ได้มาปั่นให้เข้ากัน 6,000 รอบต่อนาที เป็นเวลา 10 นาทีที่ 4 องศาเซลเซียสเพื่อแยกเซลล์และตัวทำละลายออก สกัดเซลล์ที่เหลือด้วยอะซิโตน ปริมาตร 25 มล. ตั้งทิ้งไว้ในที่มีดีที่อุณหภูมิห้องเป็นเวลา 6 ชั่วโมง นำสารละลายที่ได้มาปั่นให้เข้ากันเพื่อแยกเซลล์และตัวทำละลายออกจากกันนำตัวทำละลายที่ได้จากการสกัดทึ้งสองครั้งมารวมกันและระเหยตัวทำละลายออกโดยใช้เครื่อง rotary evaporator ชั่งน้ำหนักแห้งของสารสกัดหมายที่ได้และเก็บไว้ที่อุณหภูมิต่ำ (-20 องศาเซลเซียส) และปราศจากแสงโดยการหุ้มภาชนะด้วยอะลูมิնั่มฟลอยด์

3 การทดสอบหาชนิดและปริมาณของแครโธทินอยด์

3.1 การเตรียมสารสกัดแครโธทินอยด์เพื่อวิเคราะห์ด้วยสเปกโตโฟโตมิเตอร์และ High Performance Liquid Chromatography

นำสารสกัดที่ได้จากข้อ 2.2 ที่ทราบน้ำหนักแน่นอนแล้วมาละลายด้วยเมทานอล นำสารละลายมากรองด้วย Nylon membrane ขนาด $0.2 \mu\text{m}$ เพื่อนำไปวิเคราะห์ชนิดและปริมาณของแครโธทินอยด์ด้วย Diode Array Detector HPLC ซึ่งสามารถวัดค่าการดูดกลืนแสง UV/Vis ของสารตัวอย่างในระหว่างที่ทำการวิเคราะห์ในช่วงความยาวคลื่นตั้งแต่ 210-660 นาโนเมตร โดย HPLC โปรแกรม แกรม และ UV/Vis สเปกตรัมที่ได้จากการวิเคราะห์นี้จะเป็นข้อมูลที่สำคัญสำหรับการเปรียบเทียบและคัดเลือกเชื้อแบคทีเรียที่สามารถผลิตสารแครโธทินอยด์ลุ่มที่มีศักยภาพในการเพิ่มสี

ในกุ้ง เช่น astaxanthin ในปริมาณที่สูง เนื่องจาก HPLC โภรม่าโตแกรมสเปกตรัมจะบอกถึงจำนวนชนิดและปริมาณของแคโรทีนอยด์ที่มีอยู่ในตัวอย่างสารสกัด โดยเทียบกับสารแคโรทีนอยด์มาตรฐานแต่ละชนิด ในขณะที่ UV/Vis สเปกตรัมจะช่วยในการจำแนกชนิดของแคโรทีนอยด์โดยการเปรียบเทียบลักษณะสเปกตรัมกับข้อมูลการคุณภาพลีนและของสารแคโรทีนอยด์มาตรฐานแต่ละชนิด เช่นกัน สำหรับการวัดปริมาณแคโรทีนอยด์ด้วย spectrophotometer นั้นจะทำการเตรียมตัวอย่างเช่นเดียวกับการวิเคราะห์ด้วย Diode Array Detector HPLC แต่จะใช้ปริมาตรตัวอย่างเท่ากับ 3 มิลลิลิตรและวัดค่าการคุณภาพลีนและที่ความยาวคลื่น 474 นาโนเมตรเปรียบเทียบกับกราฟมาตรฐานของสารแคโรทีนอยด์มาตรฐาน

3.2 การวิเคราะห์ปริมาณแคโรทีนอยด์ในสารสกัด ด้วย Photodiode Array Detector HPLC

วิเคราะห์ปริมาณแคโรทีนอยด์ในสารตัวอย่างที่เตรียมตามวิธีการในข้อ 3.1 ด้วย Photodiode Array Detector HPLC โดยใช้คอลัมน์ชิลิกานิด C₁₈ reversed phase (Thermo Hypersil BDS C18 5μm, 4.0×250 mm) ที่ดัดแปลงโดยการเคลือบด้วย Phosphoric acid ก่อนปรับสมดุลด้วยสารละลายน้ำ mobile phase (hexane/acetone, 18:82) ที่อัตราการไหลของตัวทำละลายเคลื่อนที่เท่ากับ 1.0 มิลลิลิตรต่อนาที นาน 10 นาที ซึ่งโดยทั่วไปแล้วพิกของ แคโรทีนอยด์ จะสามารถสังเกตได้ที่ระยะเวลา 2-3 นาที และมีค่าการคุณภาพลีนและสูงสุดที่ความยาวคลื่น 474 นาโนเมตร โดยมีการเปรียบเทียบกับตัวอย่าง แคโรทีนอยด์มาตรฐานทุกครั้งในการวิเคราะห์ (Sachidra *et al.*, 2005; Erasan *et al.*, 2004)

4. การคัดเลือกแบบที่เรียสายพันธุ์ที่ผลิตแคโรทีนอยด์ ในปริมาณสูงสุด

คัดเลือกแบบที่เรียสายพันธุ์ที่ผลิตแคโรทีนอยด์ในปริมาณสูงสุดจากตัวอย่างทั้งหมด เพื่อนำมาศึกษาถาวรสีที่เหมาะสมในการผลิตแคโรทีนอยด์ โดยเปรียบเทียบปริมาณสารสกัดแคโรทีนอยด์กับแคโรทีนอยด์มาตรฐานที่นำໄปวิเคราะห์ด้วยสเปกโตโฟโตมิเตอร์และ Photodiode Array Detector HPLC

5. การเทียบเคียงสายพันธุ์เชือกที่มีการผลิต แคโรทีนอยด์โดยการวิเคราะห์หาลำดับนิวคลีโอไทด์ของ 16S rDNA

นำเชือกที่คัดเลือกได้จากข้อ 4 มาเทียบเคียงสายพันธุ์โดยการวิเคราะห์หาลำดับนิวคลีโอไทด์ของ 16S rDNA โดยใช้ primer 4 ชนิด คือ 27F, 339F, 785F และ 1099F ซึ่งจะครอบคลุมลำดับเบสทั้งหมด 1500 เบส

6. การหาสภาวะที่เหมาะสมในการผลิตสารแครโโรทีนอยด์ จากแบคทีเรียที่คัดเลือกได้จากทะเลและการผลิตในห้องปฏิบัติการ

6.1 การหาสภาวะที่เหมาะสมในการผลิตสารแครโโรทีนอยด์ จากแบคทีเรียที่คัดเลือกได้ในข้อ 4

จะแบ่งออกเป็นสองส่วน คือ การหาสูตรอาหารที่เหมาะสม และการหาปัจจัยทางกายภาพที่เหมาะสมในการเลี้ยงเชื้อในระดับขวดเบเย่า 250 มล. การหาสูตรอาหารเลี้ยงเชื้อที่เหมาะสมจะทำโดย การแปรผันชนิดของแหล่งคาร์บอนและ ในโตรเจน ตลอดจนสารอาหารหรือแร่ธาตุที่มีผลต่อการ เพิ่มปริมาณแครโโรทีนอยด์ โดยเลือกศึกษาที่ละปัจจัยและเลือกชนิดความเข้มข้นของแหล่งการ์บอน ในโตรเจน ตลอดจนสารอาหารและแร่ธาตุที่ให้ปริมาณแครโโรทีนอยด์ สูงสุดมาศึกษาปัจจัยทาง กายภาพต่อไป สำหรับปัจจัยทางกายภาพที่จะศึกษาได้แก่ pH เริ่มต้นของอาหารเลี้ยงเชื้อ อุณหภูมิ และความเร็วอบในการเบเย่า โดยจะทำการศึกษาที่ละปัจจัยและเลือกค่าที่เหมาะสมของแต่ละปัจจัย ที่ให้ปริมาณแครโโรทีนอยด์สูงสุด

6.1.1 ศึกษาปัจจัยทางกายภาพ

ความเร็วอบในการเบเย่า (อัตราการให้อากาศ) โดยจะศึกษาความเร็วอบในการเบเย่าด้วยกัน 3 ระดับ คือ 150, 200 และ 250 รอบต่อนาที

พีอช ซึ่งในการศึกษาพีอชเริ่มต้นของอาหารเลี้ยงเชื้อจะมีการศึกษาพีอชที่แตกต่างด้วยกัน 3 ระดับ คือ 6, 7 และ 8

อุณหภูมิที่ใช้ในการเลี้ยงเชื้อที่มีการผลิตแครโโรทีนอยด์ จะศึกษาอุณหภูมิที่ต่างกัน 3 ค่า คือ 20, 25 และ 30 องศาเซลเซียส

วิธีการเลี้ยงเชื้อเหมือนกับการทดลองของข้อ 2.1 โดยใช้อาหารเลี้ยงเชื้อสูตร Nutrient broth ใน น้ำทะเล และวิธีการสักดิสารแครโโรทีนอยด์ ตามวิธีข้อ 2.2 รวมทั้งวิธีการวิเคราะห์ชนิดและปริมาณ สารแครโโรทีนอยด์เหมือนกับข้อ 3.2 เมื่อได้ผลจากการศึกษาปัจจัยทางกายภาพแล้ว นำไปศึกษาปัจจัย ทางเคมีหรือการศึกษาสูตรอาหารที่เหมาะสมเพื่อเพิ่มปริมาณการผลิตแครโโรทีนอยด์ของเชื้อ แบคทีเรียต่อไป

6.1.2 การศึกษาการหาสูตรอาหารที่เหมาะสมทำการแปรผันชนิดของแหล่งการ์บอนและ ในโตรเจนอย่างละ 4 แหล่งด้วยกันคือ

แหล่งการ์บอน

1. แป้งสาลีที่ผ่านการทำให้เกิด gelatinization โดยนำไปต้มที่อุณหภูมิ 60 องศาเซลเซียสเป็นเวลา 20 นาที

2. ژูโกรส

3. กลูโคส

4. นำขาง

โดยจะใช้ความเข้มข้นของแหล่งคาร์บอนในการทดลองที่ความเข้มข้น 5, 10 และ 20 กรัมต่อลิตร ที่อุณหภูมิ 25 องศาเซลเซียสและความเร็วรอบในการเขย่า 250 rpm เป็นเวลา 5 วัน

แหล่งในโตรเจน

1. นำน้ำปลາทູນ່າ ทີມປຣິມາມ total nitrogen ເທົກັນ 0.56 % (w/v)
2. นำລ້າງຈຸຮົມ ทີມປຣິມາມ total nitrogen ເທົກັນ 0.05 % (w/v)
3. Yeast extract ทີມປຣິມາມ total nitrogen ເທົກັນ 11.10 % (w/w)

โดยจะใช้ความเข้มข้นของแหล่งในโตรเจนในการทดลองที่ความเข้มข้น 1, 5 และ 15 กรัมต่อลิตร ที่อุณหภูมิ 25 องศาเซลเซียสและความเร็วรอบในการเขย่า 250 rpm เป็นเวลา 5 วันโดยวิธีการເລື່ອງເຂົ້າແໜ້ອນກັບการทดลองข้อ 2.1 และวิธีการສັດສາຮັກໂຄໂກຣີນອຍດ໌ ทำการวิธีข้อ 2.2 รวมทั้งวิธีการวิเคราะຫັນິດและປຣິມາມສາຮັກໂຄໂກຣີນອຍດ໌ແໜ້ອນກັບข้อ 3.2

บทที่ 3

ผลการทดลอง

1 การแยกและคัดเลือกเชื้อแบคทีเรียจากทะเลที่สามารถผลิตสารแครอทีนอยด์

จากการเก็บตัวอย่างในทะเลบริเวณจังหวัดภูเก็ต ศุร้ายญร์ธานี ปัตตานี ชลบุรี และสงขลา โดยบริเวณที่เก็บตัวอย่างส่วนใหญ่เป็นหาดรายและโขดหินในแนวน้ำขึ้นน้ำลงและบริเวณน้ำลึกประมาณ 1-3 เมตรที่มีความแตกต่างกันในแต่ละพื้นที่ตามระบบนิเวศน์ในแต่ละแห่ง เช่น แนวปะการัง โขดหินหรือเนินราย สามารถนำมาแยกเชื้อแบคทีเรียที่มีลักษณะโคโลนีสีเหลือง ส้ม และแดง ได้ทั้งหมด 37 ไอโซเลท ดังแสดงในตารางที่ 11

ตารางที่ 1 เชื้อแบคทีเรียที่แยกได้จากทะเลสำหรับการคัดเลือกเชื้อที่ผลิตแครอทีนอยด์

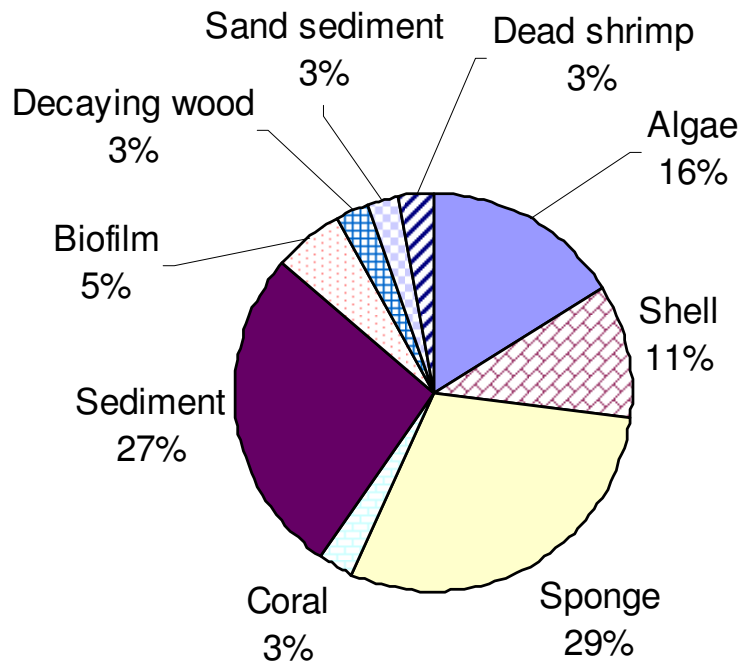
Table 1 □ Marine derived bacteria selected for carotenoid production.

| Code | Location | Source | Colour of colony |
|--------|------------|----------|------------------|
| CNA 11 | Losin | Sponge | Red |
| CNA 14 | Losin | Alga | Yellow |
| CNA 16 | Tao Island | Shell | Yellow |
| CNA 18 | Losin | Sponge | Yellow |
| CNA 11 | Losin | Coral | Yellow |
| CNA 13 | Losin | Shell | Yellow |
| CNA 14 | Losin | Alga | Yellow |
| CNA 18 | Losin | Sponge | Yellow |
| CNA 22 | Losin | Sponge | Red |
| CNA 27 | Tao Island | Sponge | Red |
| CNA 33 | Losin | Alga | Red |
| CNA 34 | Losin | Sponge | Red |
| CNA 35 | Losin | Sponge | Yellow |
| CNA 51 | Phuket | Sediment | Red |

ตารางที่ 10 (ต่อ)

Table10. (Cont.)

| Code | Location | Source | Colour of colony |
|----------------|---------------------------------|---------------|------------------|
| CNA053 | Tao Island | Sponge | Yellow |
| CNA054 | Tao Island | Biofilm | Yellow |
| CNA058 | Phuket | Sediment | Red |
| CNA061 | Sattaheep | Decaying wood | Red |
| CNA063 | Sattaheep | Sand sediment | Yellow |
| CNA074 | Tao Island | Dead shrimp | Red |
| CNA075 | Tao Island | Shell | Red |
| CNA112 | Songkla lake | Sediment | Red |
| CNA113 | Songkla lake | Sediment | Red |
| CNA114 | Songkla lake | Sediment | Red |
| CNA142 | Talay noy | Sediment | Yellow |
| CNA148 | Talay noy | Sediment | Red |
| CNA149 | Talay noy | Sediment | Red |
| PK5.1 | Phuket | Sponge | Yellow |
| PK14.2 | Phuket | Sponge | Yellow |
| PK18.1 | Phuket | Sponge | Yellow |
| PK18.2 | Phuket | Alga | Red |
| PK21.1 | Phuket | Alga | Yellow |
| PK22.1 | Phuket | Alga | Red |
| PK29.1 | Phuket | Shell | Purple |
| PK29.2 | Phuket | Biofilm | Red |
| PK34.1 | Phuket | Sediment | Yellow |
| PK34.2 | Phuket | Sediment | Yellow |
| หมายเหตุ Losin | กองหินโคลน จ.ปัตตานี, Sattaheep | สัตหีบ | จ.ชลบุรี |
| Tao Island | เกาะเต่า จ.ชุมพร, Songkla lake | สมิหลา | จ.สงขลา |
| Phuket | แหลมพันวา จ.ภูเก็ต, Talay noy | ทะเลน้อย | จ.พัทลุง |



ภาพที่ 10 ร้อยละของชนิดตัวอย่างที่ใช้แยกเชื้อแบคทีเรียที่มีการผลิตแคโรทีนอยด์

Figure 10. Percentage of specimens used for isolation of carotenoid producing bacteria.

จากตัวอย่างทั้งหมดของเชื้อที่โคลนนีมีลักษณะสีเหลือง ส้ม และแดงจำนวน 37 ไอโซเลท พบว่าร้อยละ 29 ของเชื้อแบคทีเรียที่แยกได้ มาจาก พองน้ำ รองลงมาคือ ตะกอนดิน (ร้อยละ 27), สาหร่าย (ร้อยละ 16), เปลือกหอย (ร้อยละ 11), พลังชีวภาพ (ร้อยละ 5) และอื่นๆอีกร้อยละ 3 ตามลำดับ ดังแสดงในภาพที่ 11

จากเชื้อทั้งหมดที่คัดเลือกมาได้นั้นสามารถที่จะแบ่งเชื้อเป็น 2 กลุ่มด้วยกัน คือ actinomycetes จำนวน 27 ไอโซเลทซึ่งมีการทำหนดรหัสตัวอย่างเป็น CNA และกลุ่มที่เป็นแบคทีเรีย อื่นๆจำนวน 10 ไอโซเลท มีการทำหนดรหัสตัวอย่างเป็น PK

2 การวิเคราะห์ชนิดและปริมาณของแคโรทีนอยด์ที่แยกได้จากเชื้อแบคทีเรียจากทะเล

จากการวิเคราะห์ชนิดและปริมาณของแคโรทีนอยด์ของเชื้อแต่ละสายพันธุ์เพื่อศึกษาว่าเชื้อสายพันธุ์ใดมีการผลิตแคโรทีนอยด์ โดยใช้แคโรทีนอยด์ในการค้าเป็นสารมาตรฐานและวิเคราะห์ชนิดและปริมาณของแคโรทีนอยด์โดยอาศัยเครื่อง Diode Array Detector HPLC พบว่าเชื้อ

แบบที่เรียกว่า 37 สายพันธุ์ที่นำมากดลอง มีเพียง 4 สายพันธุ์เท่านั้นที่มีการผลิตแคโรทีโนยด์ คือ สายพันธุ์ CNA001, CNA058, CNA078 และ CNA112

จากการทดลองเปรียบเทียบปริมาณแคโรทีโนยด์ ที่เข้าแต่ละสายพันธุ์ผลิตโดยวิเคราะห์ด้วยสเปกโตไฟโตมิเตอร์ซึ่งจะวัดโดยการสแกนความยาวคลื่นตั้งแต่ 200 นาโนเมตรถึง 600 นาโนเมตรเพื่อดูว่าเชื้อสายพันธุ์ใดที่มีการผลิตแคโรทีโนยด์โดยวิเคราะห์ด้วย Diode array detector อีกครั้งที่ความยาวคลื่น 474 นาโนเมตร เพื่อเป็นการยืนยันว่าเชื้อสายพันธุ์ได้มีการผลิตแคโรทีโนยด์ที่น่าสนใจ

ตารางที่ 11 ปริมาณแคโรทีโนยด์ที่ผลิตโดยเชื้อแบคทีเรียที่แยกได้จากทะเลทั้ง 37 สายพันธุ์

Table 11. Total carotenoid content of 37 marine bacterial isolates.

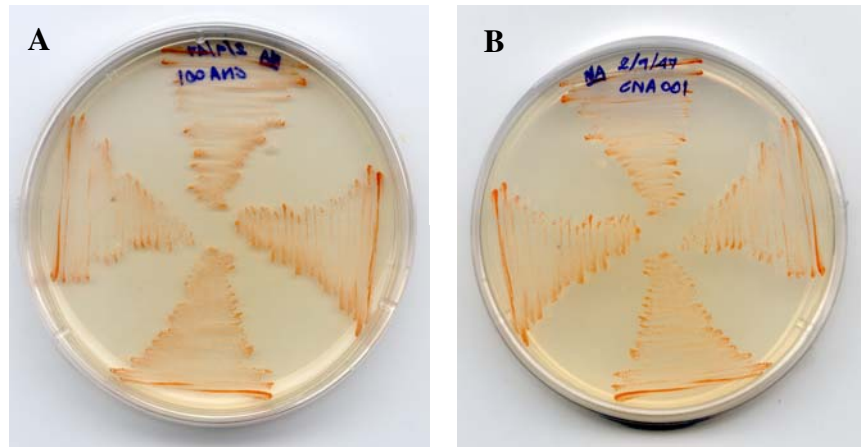
| Strain | Sample | Colour | Total carotenoid (mg/g cell) |
|--------|----------|--------|------------------------------|
| CNA001 | Sponge | Red | 1.051 |
| CNA004 | Alga | Yellow | 0.017 |
| CNA006 | Shell | Yellow | 0.014 |
| CNA008 | Sponge | Yellow | 0.013 |
| CNA010 | Coral | Yellow | 0.013 |
| CNA013 | Shell | Yellow | 0.009 |
| CNA014 | Alga | Yellow | 0.008 |
| CNA018 | Sponge | Yellow | 0.008 |
| CNA022 | Sponge | Red | 0.043 |
| CNA027 | Sponge | Red | 0.264 |
| CNA033 | Alga | Red | 0.149 |
| CNA034 | Sponge | Red | 0.122 |
| CNA035 | Sponge | Yellow | 0.005 |
| CNA051 | Sediment | Red | 0.152 |
| CNA053 | Sponge | Yellow | 0.021 |
| CNA054 | Biofilm | Yellow | 0.014 |
| CNA058 | Sediment | Red | 3.462 |

ตารางที่ 11 (ต่อ)

Table 11. (Cont.)

| Strain | Sample | Colour | Total carotenoid (mg/g cell) |
|--------|---------------|--------|------------------------------|
| CNA061 | Decaying wood | Red | 0.113 |
| CNA063 | Sand sediment | Yellow | 0.043 |
| CNA074 | Dead shrimp | Red | 2.892 |
| CNA075 | Shell | Red | 0.135 |
| CNA112 | Sediment | Red | 1.793 |
| CNA113 | Sediment | Red | 0.152 |
| CNA114 | Sediment | Red | 0.145 |
| CNA142 | Sediment | Yellow | 0.021 |
| CNA148 | Sediment | Red | 0.433 |
| CNA149 | Sediment | Red | 0.154 |
| PK5.1 | Sponge | Yellow | 0.015 |
| PK14.2 | Sponge | Yellow | 0.023 |
| PK18.1 | Sponge | Yellow | 0.018 |
| PK18.2 | Alga | Red | 0.202 |
| PK21.1 | Alga | Yellow | 0.021 |
| PK22.1 | Alga | Red | 0.300 |
| PK29.1 | Shell | Purple | 0.023 |
| PK29.2 | Biofilm | Red | 0.208 |
| PK34.1 | Sediment | Yellow | 0.004 |
| PK34.2 | Sediment | Yellow | 0.017 |

โดยเชื้อทั้ง 4 สายพันธุ์เป็นแบคทีเรียกลุ่ม actinomycetes ทั้งหมดและเป็นที่น่าสังเกตว่า เชื้อในกลุ่มของแบคทีเรียจากทะเลที่ใช้ลักษณะของโคลโนนีที่สีสดและเข้มกว่าเชิงควรจะมีการผลิต แคโรทินอยด์ในกลุ่มของ astaxanthin แต่เมื่อนำมาวิเคราะห์แล้วไม่มีเชื้อสายพันธุ์ใดเลยที่มีการผลิต แคโรทินอยด์ชนิดนี้ แต่ผลการวิเคราะห์บ่งชี้ว่าอาจจะเป็นแคโรทินอยด์กลุ่มอื่นๆ ภาพที่ 11 แสดง ลักษณะของเชื้อทั้ง 4 สายพันธุ์ที่คัดเลือกได้ในส่วนที่เริญเนื้อผิวอาหารและได้ผิวอาหาร

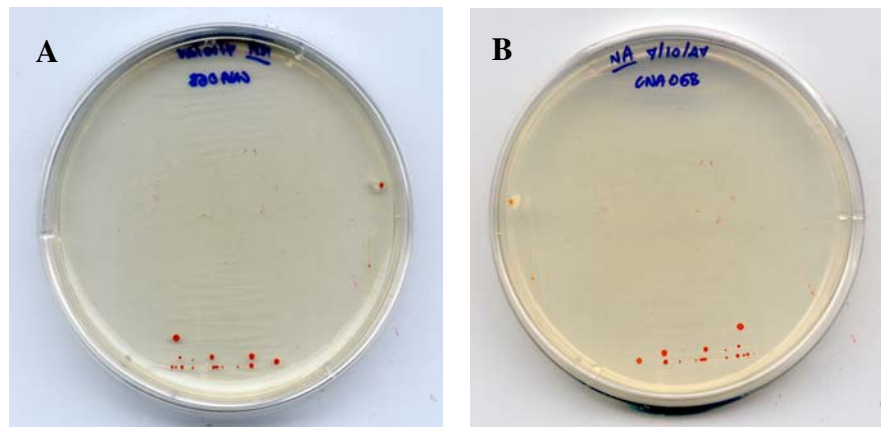


ภาพที่ 11 ลักษณะโคโลนีของเชื้อแบคทีเรียสายพันธุ์ CNA001

A) ลักษณะโคโลนีเหนือผิวอาหาร B) ลักษณะโคโลนีใต้ผิวอาหาร

Figure 11. Colonies of bacterium strain CNA001.

A) Aerial mycelium B) Substrate mycelium

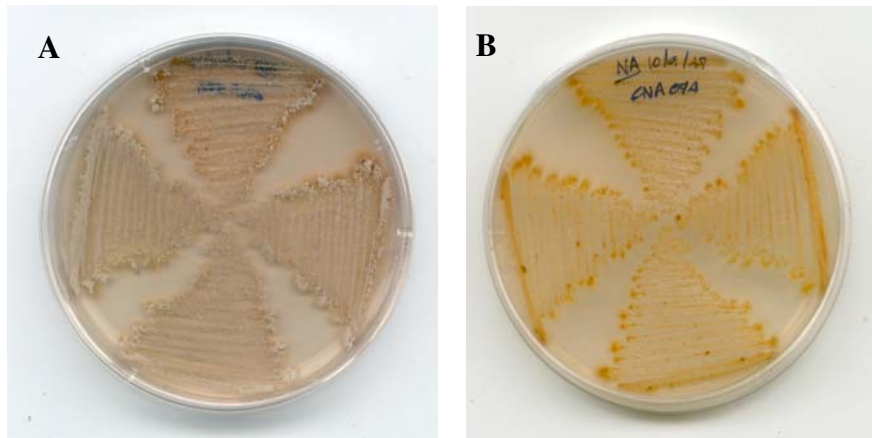


ภาพที่ 12 ลักษณะโคโลนีของเชื้อแบคทีเรียสายพันธุ์ CNA058

A) ลักษณะโคโลนีเหนือผิวอาหาร B) ลักษณะโคโลนีใต้ผิวอาหาร

Figure 12. Colonies of bacterium strain CNA058.

A) Aerial mycelium B) Substrate mycelium

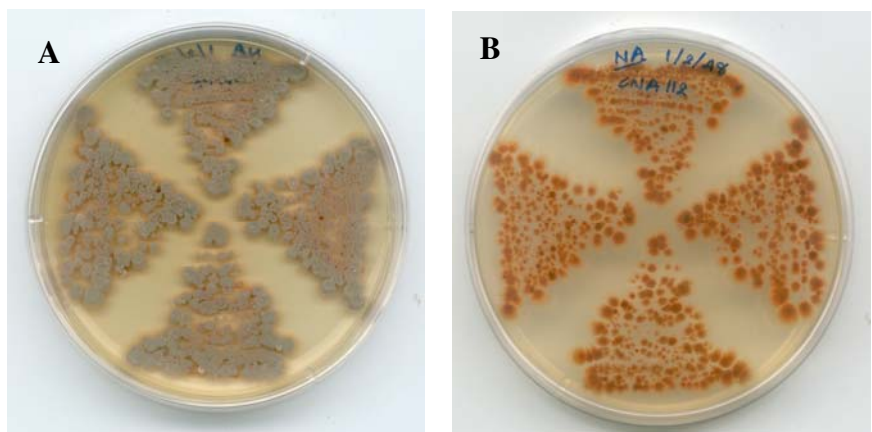


ภาพที่ 13 ลักษณะโคโลนีของเชื้อแบคทีเรียสายพันธุ์ CNA074

A) ลักษณะโคโลนีเหนือผิวอาหาร B) ลักษณะโคโลนีใต้ผิวอาหาร

Figure 13. Colonies of bacterium strain CNA074.

A) Aerial mycelium B) Substrate mycelium



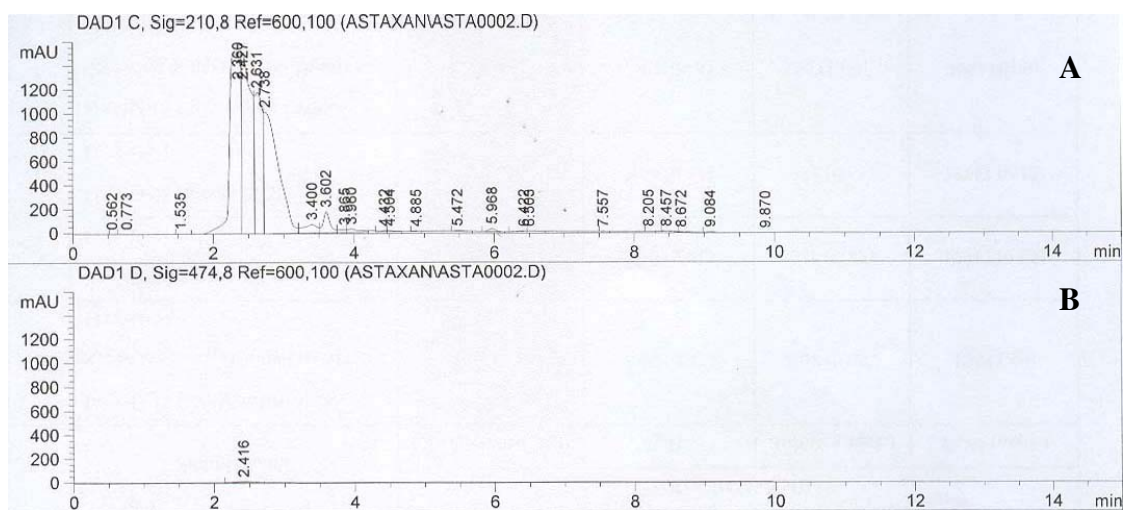
ภาพที่ 14 ลักษณะโคโลนีของเชื้อแบคทีเรียสายพันธุ์ CNA112

A) ลักษณะโคโลนีเหนือผิวอาหาร B) ลักษณะโคโลนีใต้ผิวอาหาร

Figure 14. Colonies of bacterium strain CNA112.

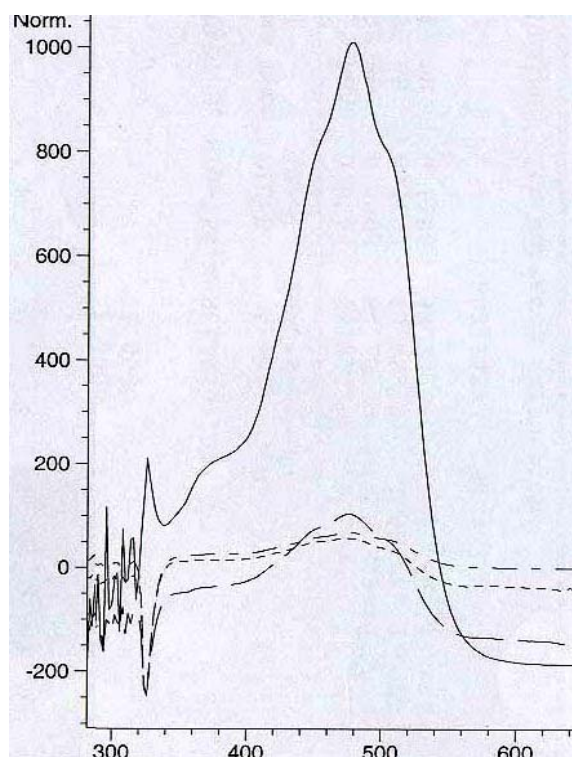
A) Aerial mycelium B) Substrate mycelium

ผลการวิเคราะห์การหาปริมาณแครอทีนอยด์ ในเชื้อที่แยกได้ทั้ง 4 สายพันธุ์สามารถสรุปได้ว่า เชื้อทั้ง 4 สายพันธุ์นั้น สายพันธุ์ CNA001 มีการผลิตแครอทีนอยด์น้อยที่สุด ดังแสดงในรูปที่ 15 และ 16 ตามลำดับ ส่วนเชื้อสายพันธุ์ CNA058 มีการผลิตแครอทีนอยด์มากที่สุด ดังแสดงในภาพที่ 17 โดยพิจารณาจากผลการวิเคราะห์ปริมาณแครอทีนอยด์ด้วย HPLC ซึ่งมีการเทียบกับสารมาตรฐานแครอทีนอยด์ โดยจะเทียบเวลาที่พีคของสารมาตรฐานเกิดขึ้นกับตัวอย่างสารสักดิ์ที่ได้จากเชื้อทั้ง 4 สายพันธุ์ ในการใช้ HPLC ในการตรวจวัดจะใช้ความยาวคลื่นด้วยกัน 2 ความยาวคลื่น คือ 210 และ 474 นาโนเมตร ตามลำดับเนื่องจากที่ความยาวคลื่น 210 นาโนเมตรจะให้ข้อมูลของสารที่เป็นองค์ประกอบในตัวอย่างเกือบทุกชนิด ในขณะที่ความยาวคลื่น 474 นาโนเมตรจะเป็นการวิเคราะห์ปริมาณแครอทีนอยด์ที่แท้จริง ส่วนเชื้ออีก 2 สายพันธุ์ คือ CNA074 และ CNA112 เมื่อดูผลจาก Diode array spectrum แล้วจะไม่ตรงกับสารมาตรฐานแครอทีนอยด์ถึงแม้ว่าพีคจะขึ้นมาที่เวลาใกล้เคียงกันก็ตาม ดังแสดงในภาพที่ 19-22 โดยจะเปรียบเทียบกับสารมาตรฐานแครอทีนอยด์ที่มี retention time เท่ากับ 2.643 นาที และในขณะเดียวกันรูปแบบของการดูดกลืนแสงที่วัดโดย Diode array Detector ที่ให้ค่าการดูดกลืนแสงสูงสุดที่ความยาวคลื่น 474 นาโนเมตร ดังแสดงในภาพที่ 23 และ 24 ตามลำดับ โดยเชื้อสายพันธุ์ CNA058 เมื่อดูผลจาก Diode array spectrum แล้ว spectrum จะตรงกับสารมาตรฐานแครอทีนอยด์และมีการผลิตมากกว่าเชื้ออีก 3 สายพันธุ์อีกด้วยจึงเลือกเชื้อสายพันธุ์ CNA058 มาศึกษาต่อในการเพิ่มปริมาณการผลิตแครอทีนอยด์



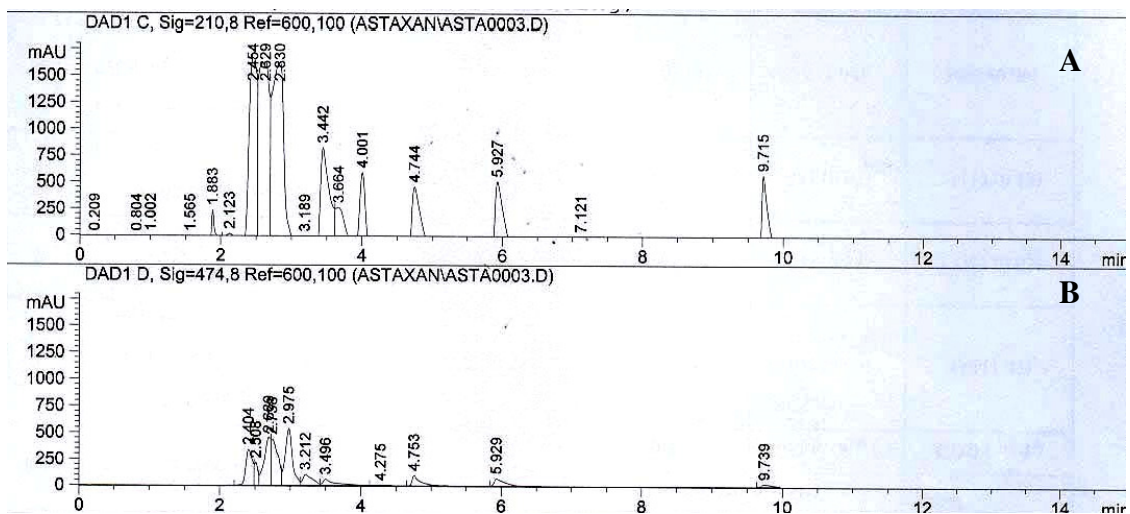
ภาพที่ 15 โคม่าตอแกรมของการวิเคราะห์ HPLC ของสารแคโรทีนอยด์จากเชื้อแบคทีเรียสายพันธุ์ CNA001 ที่ความยาวคลื่น A) 210 นาโนเมตร, B) 474 นาโนเมตร

Figure 15. Chromatogram of HPLC analysis of carotenoid from bacterium strain CNA001 at
A) 210 nm, B) 474 nm



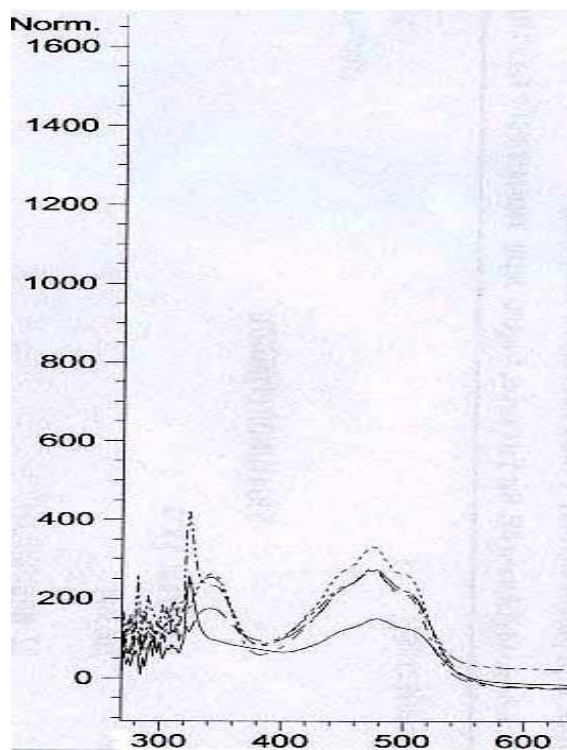
ภาพที่ 16 ไดโอดอาร์ray สเปกตรัมของสารแคโรทีนอยด์จากเชื้อแบคทีเรียสายพันธุ์ CNA001

Figure 16. Diode array spectrum of carotenoid from bacterium strain CNA001.



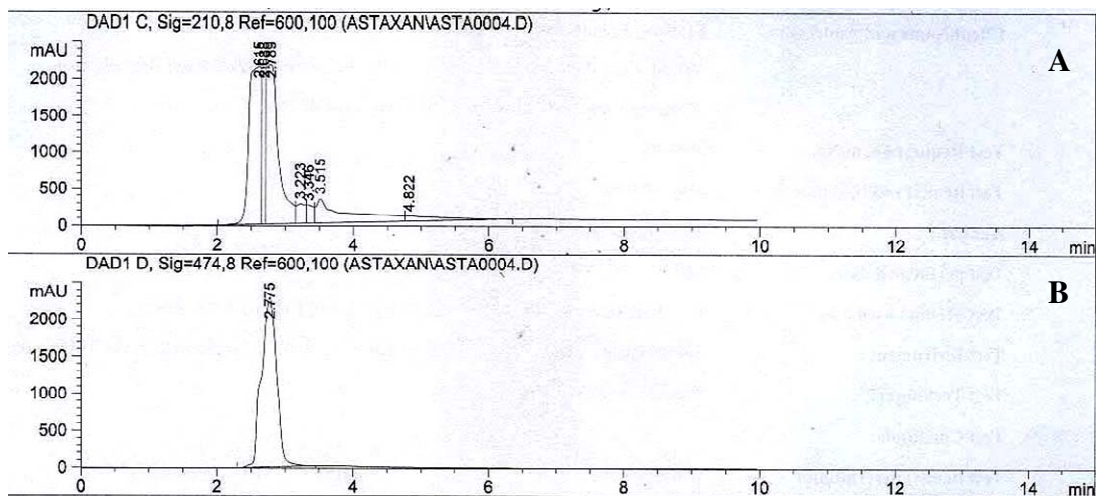
ภาพที่ 17 โคม่าตอแกรมของการวิเคราะห์ HPLC ของสารแคโรทีนอยด์จากเชื้อแบคทีเรียสายพันธุ์ CNA058 ที่ความยาวคลื่น A) 210 นาโนเมตร, B) 474 นาโนเมตร

Figure 17. Chromatogram of HPLC analysis of carotenoid from bacterium strain CNA058 at
A) 210 nm, B) 474 nm



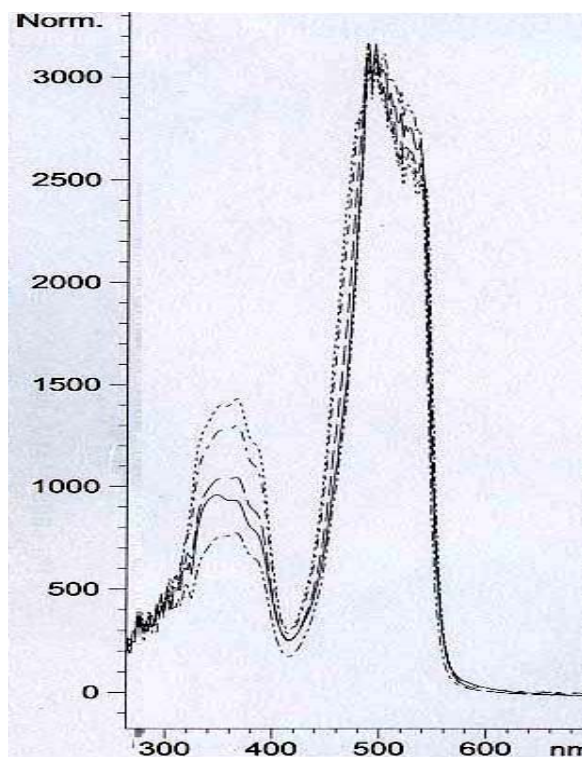
ภาพที่ 18 ไดโอดอาร์เรย์สเปกตรัมของสารแคโรทีนอยด์จากเชื้อแบคทีเรียสายพันธุ์ CNA058

Figure 18. Diode array spectrum of carotenoid from bacterium strain CNA058.



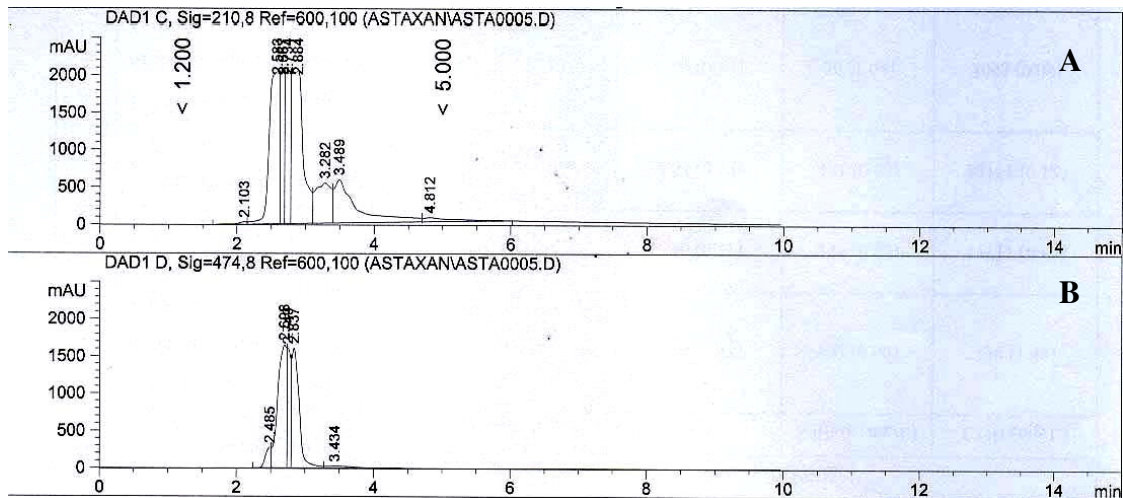
ภาพที่ 19 โกรมาโตแกรมของการวิเคราะห์ HPLC ของสารแคโรทีนอยด์จากเชื้อแบคทีเรียสายพันธุ์ CNA074 ที่ความยาวคลื่น A) 210 นาโนเมตร, B) 474 นาโนเมตร

Figure 19. Chromatogram of HPLC analysis of carotenoid from bacterium strain CNA074 at A) 210 nm, B) 474 nm



ภาพที่ 20 ไดโอดอาร์ray สเปกตรัมของสารแคโรทีนอยด์จากเชื้อแบคทีเรียสายพันธุ์ CNA074

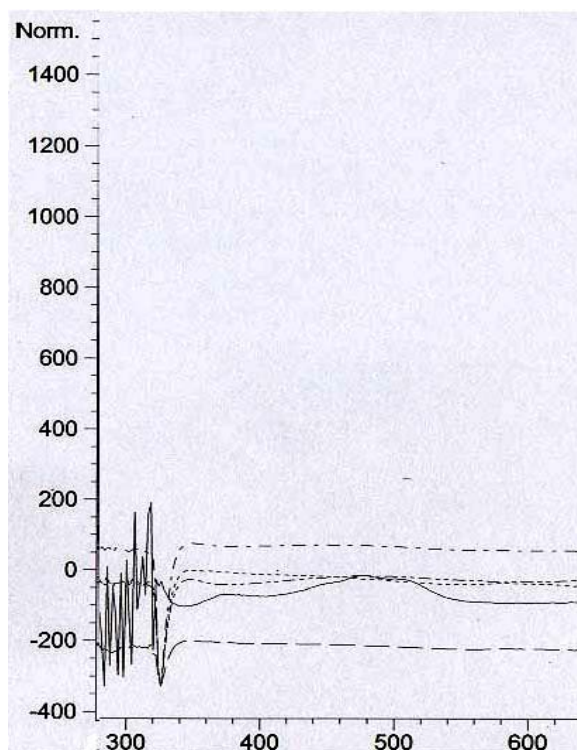
Figure 20. Diode array spectrum of carotenoid from bacterium strain CNA074.



ภาพที่ 21 โคมาร์ติแกรมของการวิเคราะห์ HPLC ของสารแคโรทีนอยด์จากเชื้อแบคทีเรียสายพันธุ์ CNA112 ที่ความยาวคลื่น A) 210 นาโนเมตร, B) 474 นาโนเมตร

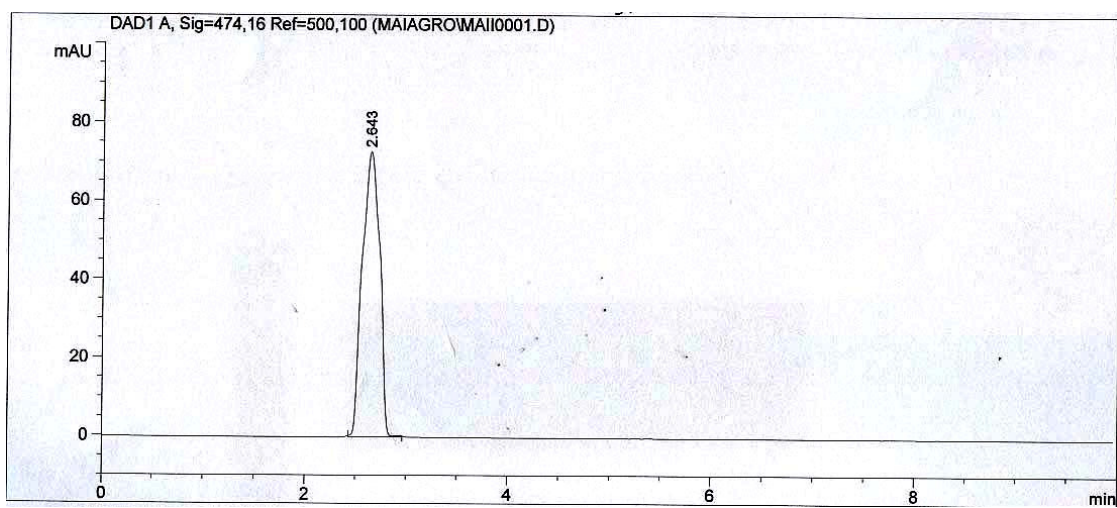
Figure 21. Chromatogram of HPLC analysis of carotenoid from strain CNA112 at

A) 210 nm, B) 474 nm



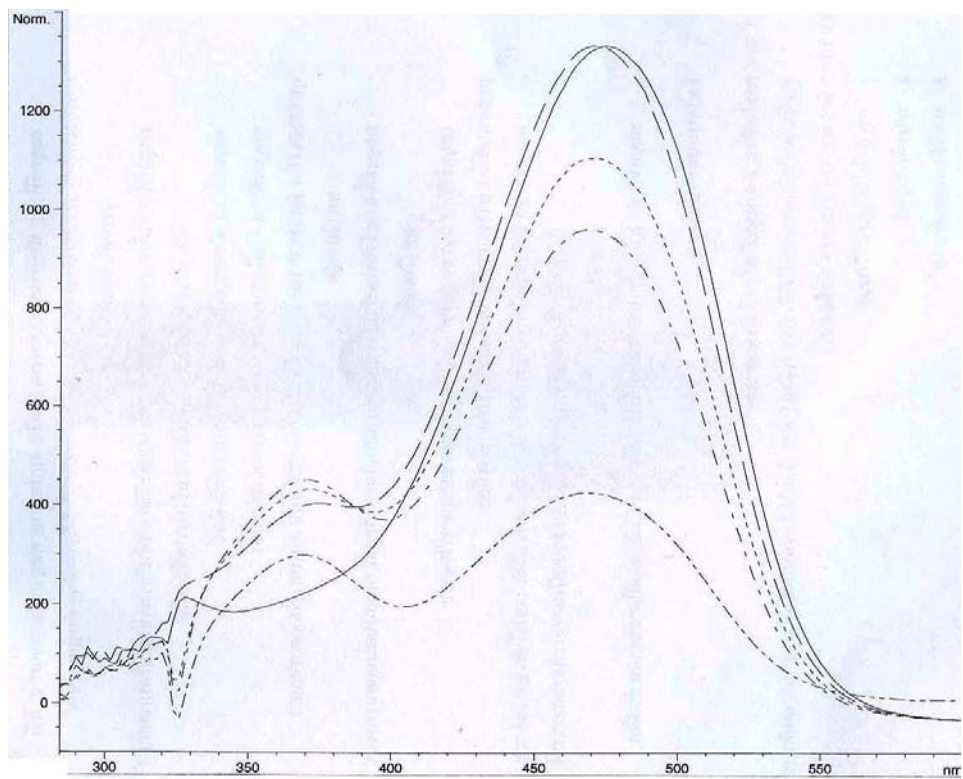
ภาพที่ 22 ไดโอดอาร์ray สเปกตรัมของสารแคโรทีนอยด์จากเชื้อแบคทีเรียสายพันธุ์ CNA112

Figure 22. Diode array spectrum of carotenoid from bacterium strain CNA112.



ภาพที่ 23 โคโรมาโนต์แกรมของการวิเคราะห์ HPLC ของสารมาตรฐานแคโรทีนอยด์

Figure 23. Chromatogram of HPLC analysis of standard carotenoid.



ภาพที่ 24 ไดโอดอาเรย์สเปกตรัมของสารมาตรฐานแคโรทีนอยด์

Figure 24. Diode array spectrum of standard carotenoid.

3. การเทียบเคียงสายพันธุ์เชื้อที่มีการผลิตแคโรทีนอยด์โดยการวิเคราะห์หาลำดับนิวคลีโอไทด์ของ 16S rDNA

จากการเทียบเคียงเชือแบบที่เรียจากทะเลสายพันธุ์CNA058 โดยการวิเคราะห์หาลำดับนิวคลีโอไทด์ของ 16S rDNA พบว่ามีความใกล้เคียงกับเชือแบบที่เรีย *Gordonia terrae* ที่ระดับความเหมือน 93% รองลงมาจะเป็นเชือ *Gornodia* sp. CNJ752 PL04, *Gornodia terrae* strain NML88-1049, *Gornodia terrae* strain CC-S5-2, *Gornodia terrae* strain CC-S5-1 และ *Gornodia terrae* strain CC-S2a ซึ่งมีความใกล้เคียงกันที่ระดับ 93% จากข้อมูลดังกล่าวสามารถที่จะสรุปในเบื้องต้นได้ว่าแบบที่เรียที่แยกได้จากทะเลสายพันธุ์ CNA058 นี้น่าจะจัดอยู่ในจีนสใหม่ได้

4. การหาสภาวะที่เหมาะสมในการผลิตสารแคโรทีนอยด์จากแบบที่เรียที่คัดเลือกได้จากทะเลและการผลิตในห้องปฏิบัติการ

ในการศึกษาวิจัยนี้จะมุ่งที่การเพิ่มการเจริญและการผลิตแคโรทีนอยด์ของเชือสายพันธุ์ CNA058 โดยการหาสภาวะที่เหมาะสมในการผลิตซึ่งจะใช้ปัจจัย 2 ชนิดคือปัจจัยทางกายภาพ และ ปัจจัยทางเคมีหรือการหาสูตรอาหารที่เหมาะสม

จากการศึกษาการเลี้ยงเชือสายพันธุ์ CNA058 ตั้งแต่กระบวนการเลี้ยงเชือจนถึงกระบวนการสกัดสารแคโรทีนอยด์ก่อนจะนำสารตัวอย่างไปวิเคราะห์ปริมาณของแคโรทีนอยด์ที่เชือ CNA058 สร้างขึ้นในแต่ละสภาวะการทดลองด้วย DAD HPLC ดังแสดงในภาพที่ 25-29



ภาพที่ 25 ลักษณะการเจริญของเชือแบบที่เรียสายพันธุ์ CNA058 ในอาหาร FP Medium

Figure 25. Growth of bacterium strain CNA058 in FP medium.



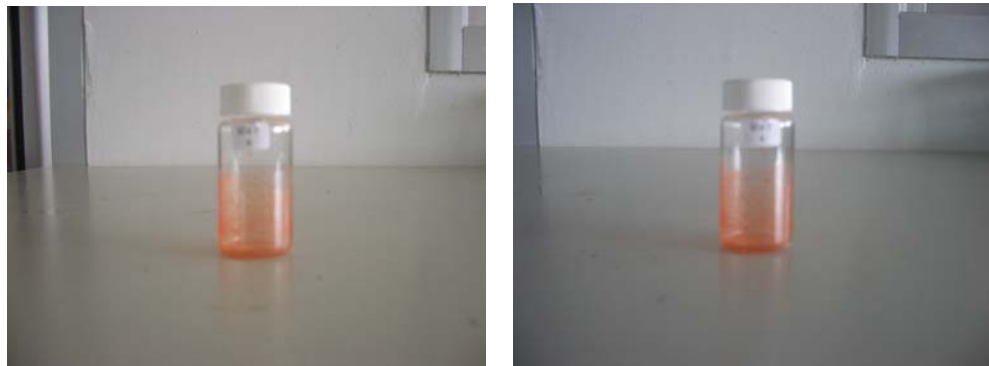
ภาพที่ 26 เซลล์เปียกของแบคทีเรียสายพันธุ์ CNA058 ที่ได้จากการเลี้ยงเชื้อหลังจากการปั่นหัวอย่าง
Figure 26. Wet cells of bacterium strain CNA058 after centrifugation.



ภาพที่ 27 สารสกัดแครอทีนอยด์ ในตัวทำละลายผสมระหว่าง methanol : acetone (2:1)
Figure 27. Extraction of carotenoid in solvent mixture of methanol : acetone (2:1).



ภาพที่ 28 สารสกัดแครอทีนอยด์ใน methanol
Figure 28. Carotenoid extract in methanol.

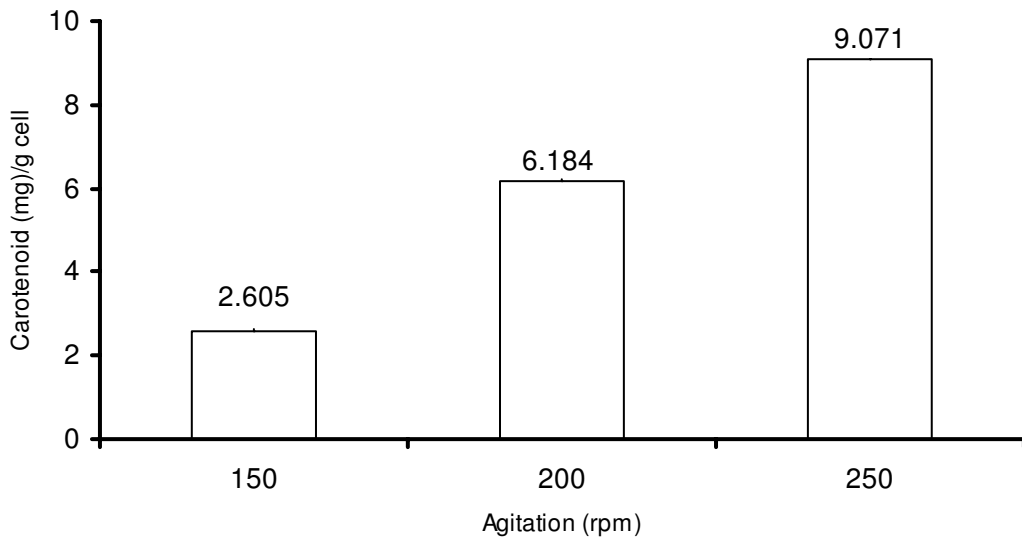


ภาพที่ 29 สารสกัดแคโรทีนอยด์ในรูปแห้งจากเชื้อแบคทีเรียสายพันธุ์ CNA058

Figure 29. Dried carotenoid extract from bacterium strain CNA058.

4.1 ปัจจัยทางกายภาพที่เหมาะสมในการเลี้ยงเชื้อในระดับความเร็ว 250 rpm.

ศึกษาความเร็วของที่เหมาะสมในการผลิตสารสีแคโรทีนอยด์ของเชื้อแบคทีเรียสายพันธุ์ CNA058 ที่คัดเลือกได้เบื้องต้น โดยใช้ความเร็วในการเร่งห่วงการเลี้ยงเชื้อที่ 150, 200 และ 250 rpm อุณหภูมิ 25 องศาเซลเซียส และวัดปริมาณของแคโรทีนอยด์โดยวิธีการวิเคราะห์ด้วย HPLC ดังที่กล่าวมาแล้วข้างต้น ปริมาณแคโรทีนอยด์ที่ได้ดังแสดงในภาพที่ 30

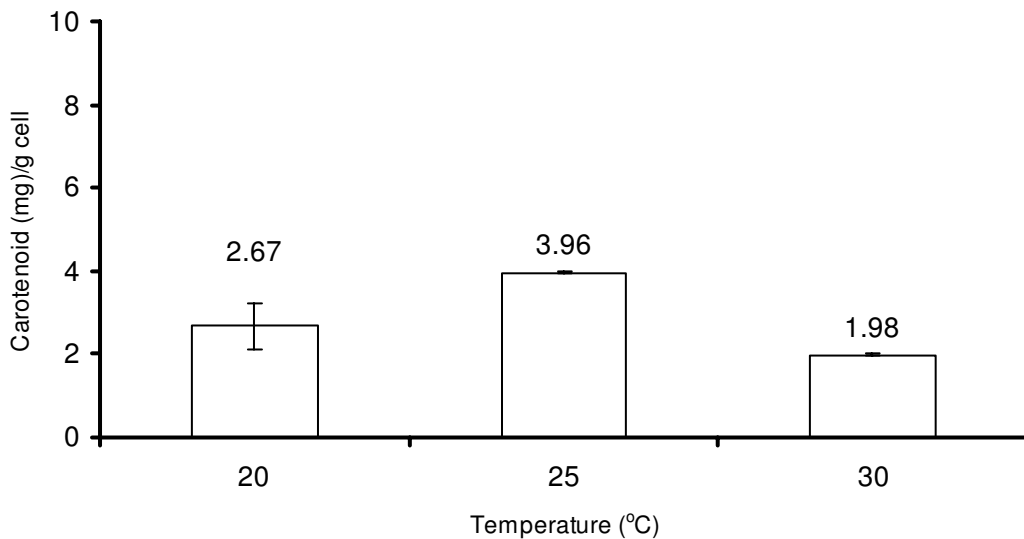


ภาพที่ 30 ผลของการเร่งห่วงการเร่งห่วงต่อการผลิตแคโรทีนอยด์ของแบคทีเรียสายพันธุ์ CNA058

Figure 30. Effect of agitation on carotenoid production by bacterium strain CNA058.

จากการทดลองเลี้ยงเชื้อสายพันธุ์ CNA058 ที่ใช้ความเร็วอบในการเบ่าต่างกัน คือ 150, 200 และ 250 รอบต่อนาที พบร่วมกับการเพิ่มปริมาณการให้อากาศให้ผลดีต่อการเจริญและผลิตแครอทีนอยด์ ซึ่งสอดคล้องกับข้อมูลที่ได้จากการศึกษากระบวนการชีวสังเคราะห์แครอทีนอยด์ ที่เกี่ยวข้องกับปฏิกิริยาออกซิเดชั่นของเบตาแครอทีนซึ่งจะเปลี่ยนเป็นแครอทีนอยด์ ดังนั้นการเพิ่มปริมาณออกซิเจนก็จะทำให้เกิดการสังเคราะห์แครอทีนอยด์มากยิ่งขึ้นทั้งนี้กระบวนการสังเคราะห์แครอทีนอยด์ทั่วไปจะสิ้นสุดที่เบتاแครอทีนแต่มีพิษหรือจุลินทรีย์บางชนิดเท่านั้นที่สามารถสังเคราะห์ต่อไปเป็นแครอทีนอยด์ได้ เช่นรายงานของ Yamane และคณะ (1997) ที่พบร่วมกับออกซิเจนมีผลต่อการผลิตแครอทีนอยด์ ก่อให้เกิดการลดลงของ Fung และ Chen (2005) ในกระบวนการผลิตแครอทีนอยด์ ใน *Chlorella zofingiensis* โดยใช้ H_2O_2 กระตุ้นการผลิต แครอทีนอยด์และสามารถที่จะเพิ่มการผลิตแครอทีนอยด์ จาก 9.9 มิลลิกรัมต่อลิตรเป็น 12.58 กรัมต่อลิตร

จากการศึกษาอุณหภูมิที่เหมาะสมในการเลี้ยงเชื้อแบคทีเรียเชื้อสายพันธุ์ CNA058 โดยใช้อุณหภูมิในการเลี้ยงเชื้อที่ 20, 25 และ 30 องศาเซลเซียส ความเร็วอบในการเบ่า 200 rpm และวัดปริมาณของแครอทีนอยด์ตามวิธีการที่กล่าวมาแล้วข้างต้น ดังแสดงในภาพที่ 31



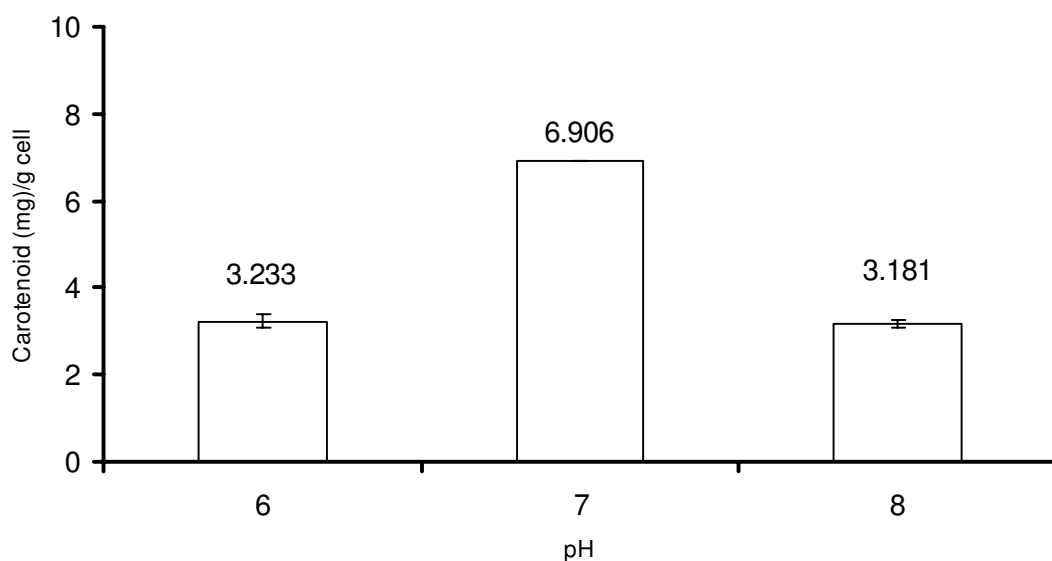
ภาพที่ 31 ผลของอุณหภูมิต่อการผลิตแครอทีนอยด์ของเชื้อแบคทีเรียสายพันธุ์ CNA058

Figure 31. Effect of temperature on carotenoid production by bacterium strain CNA058.

พบร่วมกับการเพิ่มปริมาณการให้อากาศให้ผลดีต่อการเจริญและผลิตแครอทีนอยด์ ได้ดีที่อุณหภูมิ 25 องศาเซลเซียส โดยผลิตแครอทีนอยด์ได้ 3.96 กรัมต่อกิโลกรัมเซลล์ซึ่งมากกว่าการเลี้ยงเชื้อที่ใช้

อุณหภูมิในการเลี้ยงเชื้อที่ 20 และ 30 องศาเซลเซียส ทั้งนี้เนื่องจากอุณหภูมิที่สูงเกินไปแทนที่จะส่งเสริมการผลิตแคโรทีนอยด์ กลับจะส่งผลกระทบต่อการผลิตแคโรทีนอยด์เนื่องจากแคโรทีนอยด์นั้นไว้ต่อความร้อนจึงเกิดการเสื่อมสภาพหรือเปลี่ยนรูปไปเป็นสารชนิดอื่นได้ โดยในการศึกษาที่เกี่ยวข้องกับอุณหภูมิในการเลี้ยงเชื้อจากรายงานของ Ramirez และคณะ(2001)ได้มีการควบคุมอุณหภูมิที่ใช้ในการเลี้ยงเชื้อ 4 ค่าด้วยกัน คือ 21, 23, 25 และ 27 องศาเซลเซียส โดยอุณหภูมิที่เชื้อแบคทีเรียสามารถผลิตแคโรทีนอยด์ได้มากที่สุดที่อุณหภูมิ 23 องศาเซลเซียสและอุณหภูมิ 25 องศาเซลเซียส ตามลำดับ ซึ่งใกล้เคียงกับผลการทดลองในการเลี้ยงเชื้อสายพันธุ์ CNA058 ในขบวนที่การเลี้ยงเชื้อที่อุณหภูมิต่างกันจะส่งผลทำให้อัตราการเจริญของเชื้อลดลงทำให้ได้ปริมาณแคโรทีนอยด์ต่ำลงไปด้วย

จากการศึกษาผลของ pH เริ่มต้นของอาหารเลี้ยงเชื้อที่เหมาะสมในการผลิตสารสีแคโรทีนอยด์ ของเชื้อแบคทีเรียสายพันธุ์ CNA058 ที่คัดเลือกได้เบื้องต้นที่พีอ่อน 6, 7 และ 8 ในสภาวะที่มีการเลี้ยงเชื้อที่ความเร็วรอบ 200 rpm, อุณหภูมิ 25 องศาเซลเซียส และวัดปริมาณของแคโรทีนอยด์ตามวิธีการที่กล่าวมาแล้วข้างต้น ผลการทดลองพบว่าที่พีอ่อน 7 เชื้อสายพันธุ์ CNA058 มีการผลิตแคโรทีนอยด์มากที่สุดดังแสดงในภาพที่ 32



ภาพที่ 32 ผลของ pH ต่อการผลิตแคโรทีนอยด์ของแบคทีเรียสายพันธุ์ CNA058

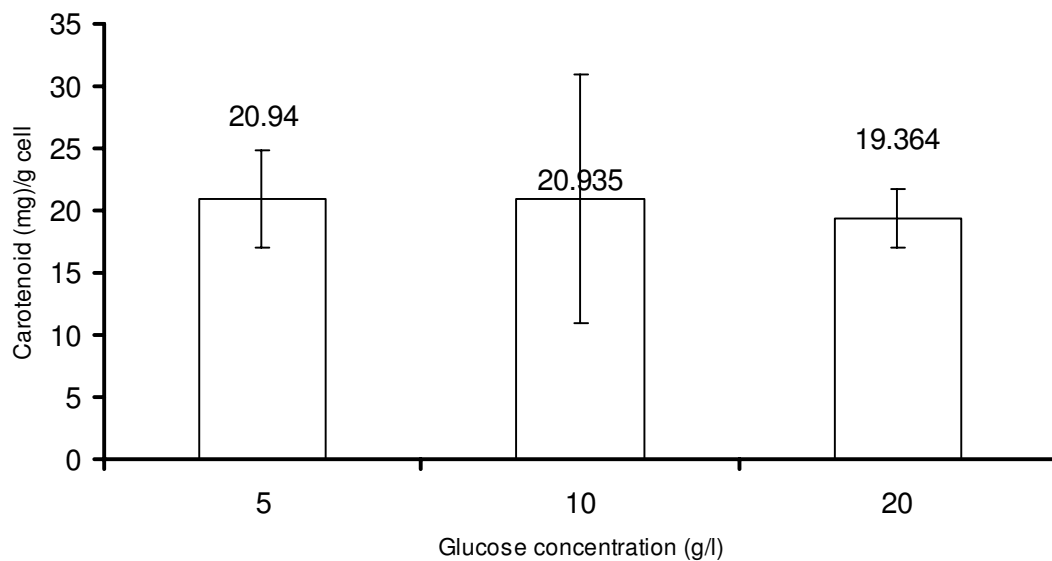
Figure 32. Effect of pH on carotenoid production by bacterium strain CNA058.

โดยเชื้อแบคทีเรียมีการผลิตแครอทที่น้อยด้ที่พีเอช 6, 7, 8 ได้ในปริมาณ 3.233, 6.906 และ 3.181 มิลลิกรัมต่อกรัมเซลล์ ตามลำดับ ทั้งนี้อาจเนื่องมาจากโดยปกติน้ำทะเลขามีพีเอชอยู่ที่ 6.8-7.2 ดังนั้นพีเอชเริ่มต้นของอาหารเลี้ยงเชื้อเท่ากับ 7 จึงเหมาะสมต่อการเจริญและการผลิตแครอทที่น้อยด้ เพราะเป็นพีเอชที่อยู่ในช่วงของพีเอชของน้ำทะเล ถ้าพีเอชเริ่มต้นของอาหารเลี้ยงเชื้อต่ำกว่าหรือสูง กว่า 7 อาจจะส่งผลต่อการเจริญและอาจจะไปมีผลต่อกระบวนการสังเคราะห์แครอทน้อยด้วย เช่นกัน

4.2 การศึกษาสูตรอาหารเลี้ยงเชื้อที่เหมาะสมโดยการแปรผันชนิดและปริมาณของแหล่งคาร์บอน และในไตรเจน

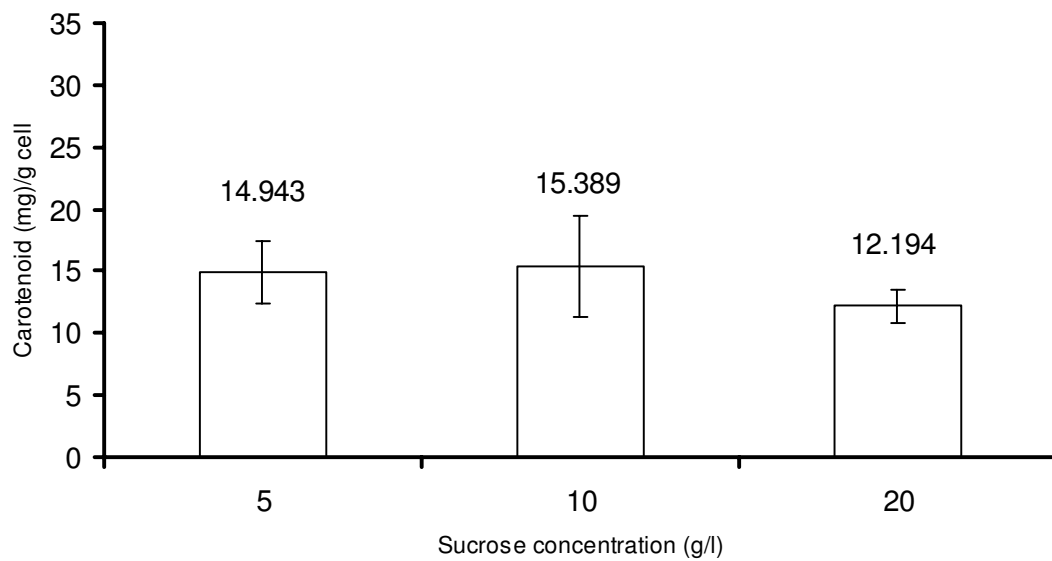
การศึกษาปัจจัยทางเคมีหรือการหาสูตรอาหารที่เหมาะสมในการเจริญและการผลิตแครอทที่น้อยด้ โดยศึกษาหาชนิดของแหล่งคาร์บอน แหล่งในไตรเจน และปริมาณที่เหมาะสมของสารอาหารดังกล่าวต่อการเจริญและการผลิตแครอทที่น้อยด้ ในการศึกษาหาแหล่งคาร์บอนที่เหมาะสมจะใช้แหล่งการรับอน 4 ชนิดด้วยกัน คือ กลูโคส, ซูโกรส, แป้งสาลี และน้ำยา โดยกลูโคสจะเป็นน้ำตาลโมเลกุลเดี่ยวที่เชื้อแบคทีเรียมสามารถถ่าย化ได้โดยตรงในกระบวนการ glycolysis จนเกิดการสร้าง isoprenoid ซึ่งเป็นสารตั้งต้นในการกระบวนการสังเคราะห์แครอทที่น้อยด้ชนิดต่างๆ ในขณะที่น้ำตาลซูโกรสจะน้ำตาลโมเลกุลคู่ที่ประกอบด้วยกลูโคสและฟรอกโตสซึ่งเชื้อต้องสามารถสร้างเอนไซม์ที่ย่อยน้ำตาลซูโกรสเป็นน้ำตาลโมเลกุลเดี่ยวก่อนที่จะนำไปใช้ในกระบวนการ glycolysis ส่วนแป้งสาลีจะเป็นโพลีแซคคาไรด์ซึ่งเชื้อที่จะนำไปใช้จะต้องสร้างเอนไซม์ในการย่อยหลายขั้นตอนเพื่อจะนำไปเป็นสารตั้งต้นในการผลิตแครอทที่น้อยด้ สำหรับน้ำยาที่ประกอบด้วยไออกซีบูโรนิตาโนบิวัลฟ์ที่จะช่วยให้เชื้อแบคทีเรียสามารถดูดซึมน้ำตาลได้โดยตรงในไตรเจนซึ่งเป็นวัสดุเชิงเหลือของโรงงานอุตสาหกรรม เพื่อเป็นการลดต้นทุนในการผลิตเมื่อนำไปใช้ในการเจริญและการผลิตแครอทที่น้อยด้ของเชื้อแบคทีเรีย

4.2.1 การศึกษาสูตรอาหารที่เหมาะสมโดยทำการแปรผันชนิดของแหล่งการรับอน 4 ชนิด ด้วยกัน คือ กลูโคส, ซูโกรส, แป้งสาลี และน้ำยา โดยใช้ความเข้มข้น 5, 10 และ 20 กรัมตอลิตรที่ 250 rpm, 25 องศาเซลเซียส และวัดปริมาณของแครอทที่น้อยด้ ตามวิธีการที่กล่าวมาแล้วข้างต้น ผลการทดลองดังแสดงในภาพที่ 33, 34, 35 และ 36 ตามลำดับ



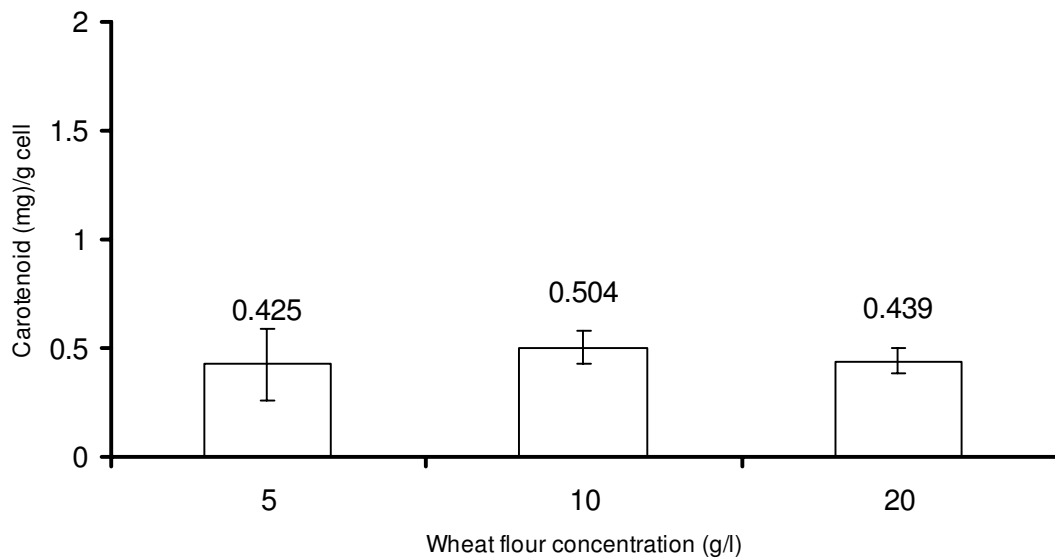
ภาพที่ 33 ปริมาณแคโรทีนอยด์ที่ได้จากการเลี้ยงเชื้อ CNA058 ในอาหารที่มีน้ำตาลกลูโคสที่ความเข้มข้นต่างๆ กัน

Figure 33. Carotenoid content of CNA058 when cultivated in media with different glucose concentrations.



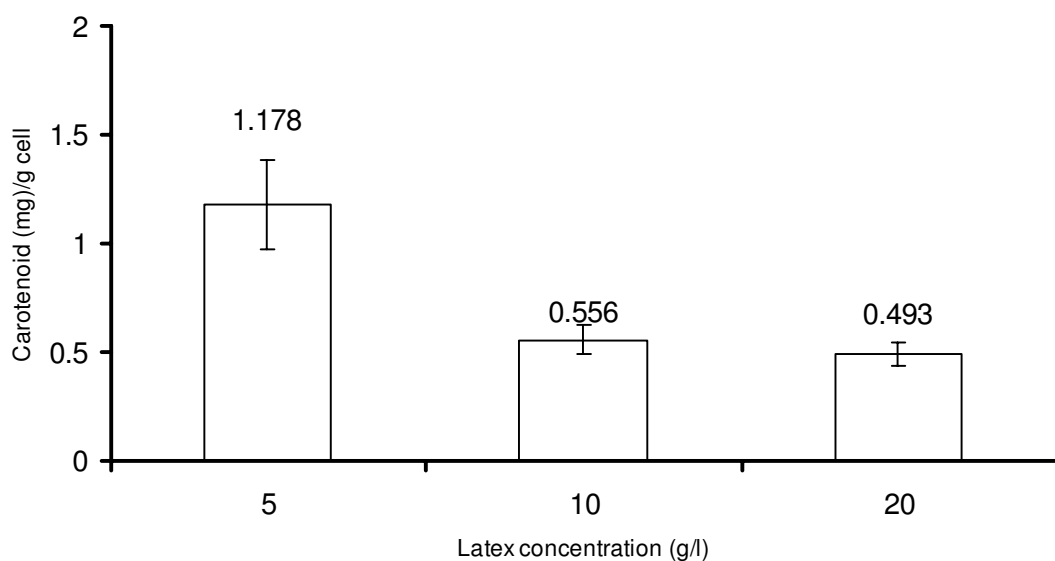
ภาพที่ 34 ปริมาณแคโรทีนอยด์ที่ได้จากการเลี้ยงเชื้อ CNA058 ในอาหารที่มีน้ำตาลซูโคสที่ความเข้มข้นต่างๆ กัน

Figure 34. Carotenoid content of CNA058 when cultivated in media with different surose concentrations.



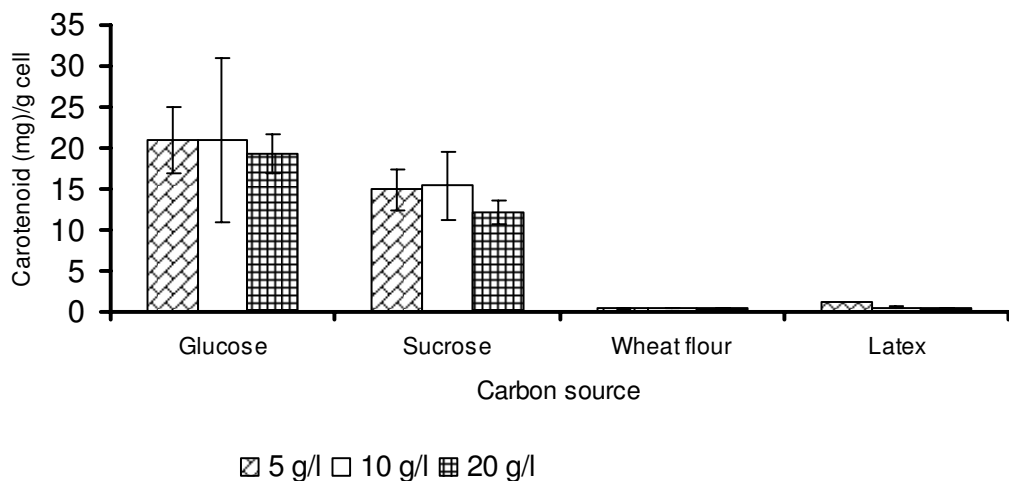
ภาพที่ 35 ปริมาณแคโรทีนอยด์ที่ได้จากการเลี้ยงเชื้อ CNA058 ในอาหารที่มีแป้งสาลีที่ความเข้มข้นต่างๆ กัน

Figure 35. Carotenoid content of CNA058 when cultivated in media with different wheat flour concentrations.



ภาพที่ 36 ปริมาณแคโรทีนอยด์ที่ได้จากการเลี้ยงเชื้อ CNA058 ในอาหารที่มีน้ำยางที่ความเข้มข้นต่างๆ กัน

Figure 36. Carotenoid content of CNA058 when cultivated in media with different latex concentrations.

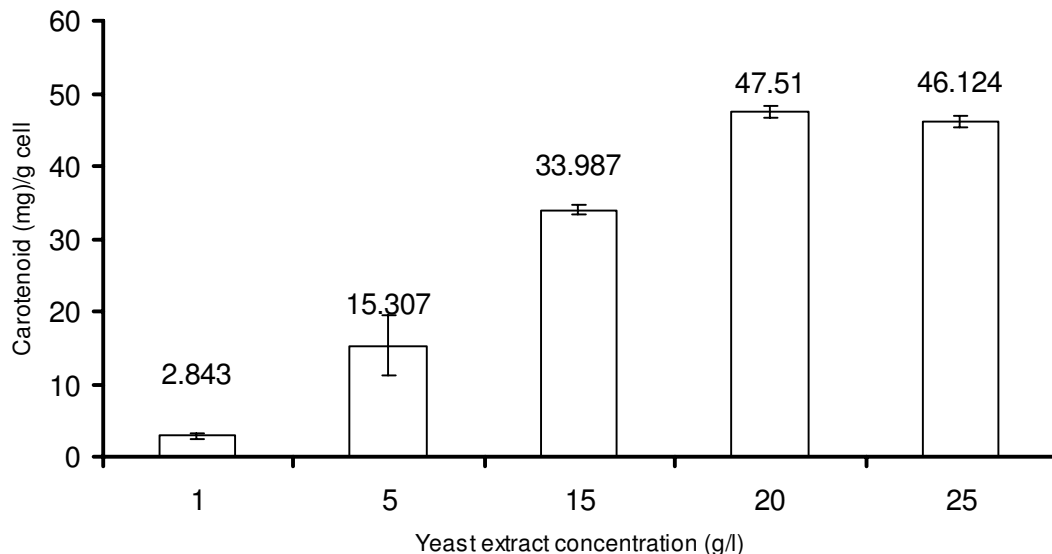


ภาพที่ 37 ผลของแหล่งการบอนทั้ง 4 ชนิดต่อปริมาณแคโรทีนอยด์

Figure 37. Effect of carbon sources on carotenoid production.

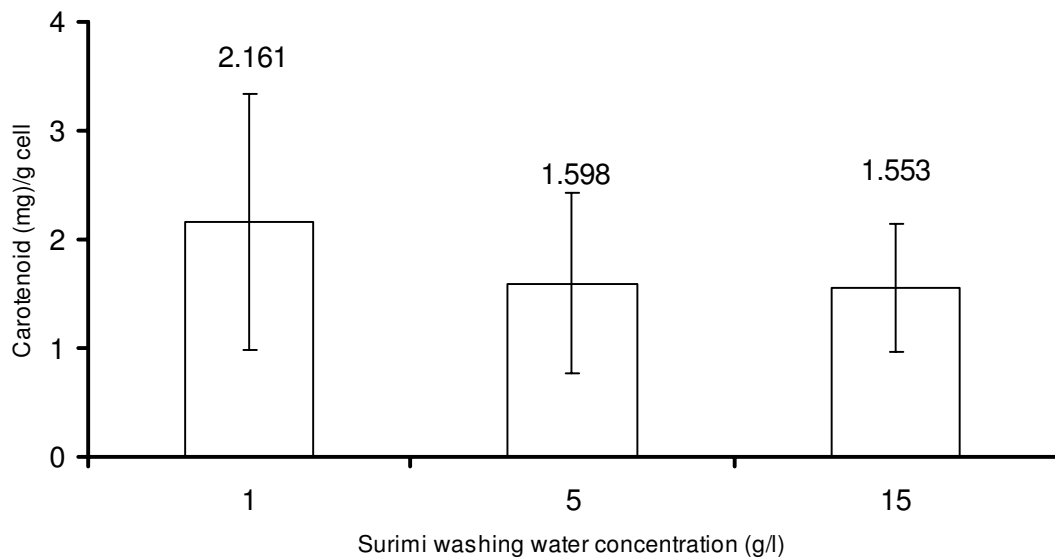
จากการเปรียบเทียบชนิดของแหล่งการบอน 4 ชนิด คือ กลูโคส, ซูครส, แป้งสาลี และ น้ำยา ที่ความเข้มข้น 5, 10 และ 20 กรัมต่อลิตรในสภาวะของการเลี้ยงเชื้อที่ 250 rpm, อุณหภูมิ 25 องศาเซลเซียส พบว่ากลูโคสที่มีความเข้มข้น 5 กรัมต่อลิตรเป็นปริมาณของแหล่งการบอนที่เหมาะสมต่อการเจริญและการผลิตแคโรทีนอยด์ เพราะเมื่อเปรียบเทียบปริมาณของแคโรทีนอยด์ที่ได้จากการเลี้ยงเชื้อที่ใช้แหล่งการบอนทั้ง 4 ชนิดแล้ว พบว่ากลูโคสเป็นแหล่งการบอนที่เชื้อแบคทีเรียสายพันธุ์ CNA058 สามารถผลิตแคโรทีนอยด์ ได้มากที่สุด รองลงมาคือ ซูครส, น้ำยา และ แป้งสาลี ตามลำดับ และเมื่อเปรียบเทียบความเข้มข้นของกลูโคสทั้ง 3 ความเข้มข้นแล้ว พบว่า กลูโคสที่ความเข้มข้น 5 กรัมและ 10 กรัมต่อลิตรจะส่งผลต่อการผลิตแคโรทีนอยด์ ที่ไม่แตกต่างกัน เมื่อวิเคราะห์ผลทางสถิติถังแสดงในภาพที่ 37 ดังนั้นจึงเลือกความเข้มข้นของกลูโคสที่ใช้ คือ 5 กรัมต่อลิตรเนื่องจากไม่ต้องใช้กลูโคสเกินความจำเป็นทำให้ลดค่าใช้จ่ายในการเตรียมอาหารเลี้ยง เชื้อซึ่งสอดคล้องกับผลการทดลองของ Meyer และ Preez (1994) พบว่าการใช้กลูโคสเป็นแหล่งของ การบอนเชื้อ CNA058 สามารถที่จะผลิตแคโรทีนอยด์ ทั้งนี้เนื่องจากเหตุผลที่กล่าวมาข้างต้นแล้วว่า กลูโคสสามารถที่จะเป็นแหล่งการบอนให้เชื้อมีการสร้างแคโรทีนอยด์ได้มากที่สุด ส่วนแหล่ง การบอนอื่นๆ เชื้อจะต้องอาศัยเอนไซม์ต่างๆ ในการที่จะย่อย แหล่งการบอนนั้นๆ ให้กลายเป็น หน่วยย่อยที่เชื้อสามารถจะนำไปใช้ในกระบวนการผลิตแคโรทีนอยด์ได้ ทำให้ปริมาณผลผลิตที่ได้ น้อยกว่าการใช้กลูโคสเป็นแหล่งของการบอน

4.2.2 การศึกษาหาแหล่งในโตรเจนที่เหมาะสมในการผลิตแคโรทีนอยด์ ของเชื้อแบคทีเรียสายพันธุ์ CNA058 โดยศึกษาแหล่งในโตรเจนที่แตกต่างกัน 3 ชนิด คือ ยีสต์สกัด, น้ำล้างชูริม และน้ำนึ่งปลาทูน่าที่ความเข้มข้น 1, 5 และ 15 กรัมต่อลิตร ที่สภาวะการใช้อากาศที่ความเร็วรอบเท่ากับ 250 rpm, อุณหภูมิ 25 องศาเซลเซียส วัดปริมาณของแคโรทีนอยด์ตามวิธีการที่กล่าวมาแล้วข้างต้น ผลการทดลองที่ได้ดังแสดงในภาพที่ 38, 39 และ 40 ตามลำดับ



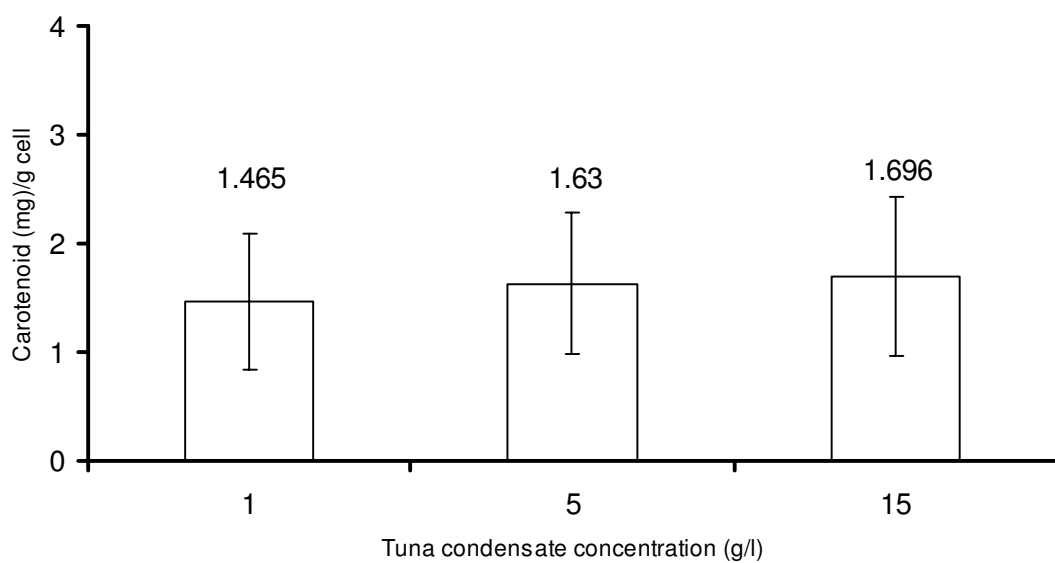
ภาพที่ 38 ปริมาณแคโรทีนอยด์ที่ได้จากการเลี้ยงเชื้อ CNA058 ในอาหารที่มียีสต์สกัดที่ความเข้มข้นต่างๆ กัน

Figure 38. Carotenoid content of CNA058 when cultivated in media with different yeast extract concentrations.



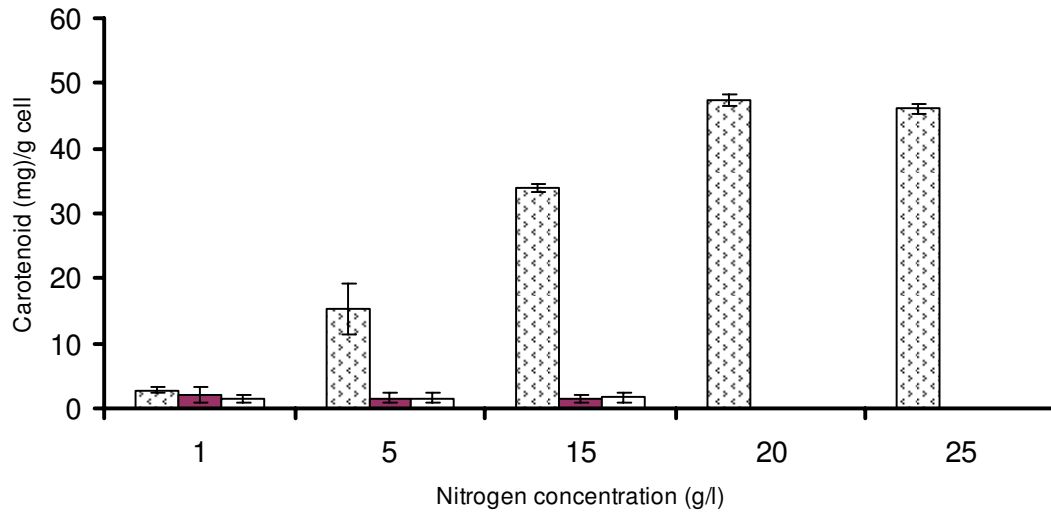
ภาพที่ 39 ปริมาณแครอทีนอยด์ที่ได้จากการเลี้ยงเชื้อCNA058ในอาหารที่มีน้ำล้างชูริมที่ความเข้มข้นต่างๆกัน

Figure 39. Carotenoid content of CNA058 when cultivated in media with different surimi washing water concentrations.



ภาพที่ 40 ปริมาณแครอทีนอยด์ที่ได้จากการเลี้ยงเชื้อCNA058ในอาหารที่มีน้ำสับปะรดที่ความเข้มข้นต่างๆกัน

Figure 40. Carotenoid content of CNA058 when cultivated in media with different tuna condensate concentrations.



ภาพที่ 41 ผลของแหล่งการ์บอนทั้ง 3 ชนิดต่อปริมาณแครอทีนอยด์

Figure 41. Effect of nitrogen sources on carotenoid production.

จากการเปรียบเทียบผลของแหล่งการ์บอนทั้ง 3 ชนิด คือ ยีสต์สกัด, น้ำล้างชูริม และน้ำนึ่งปลาทูน่าที่ความเข้มข้น 1, 5 และ 15 กรัมต่อลิตร โดยการเลี้ยงเชื้อในสภาวะที่มีการให้อาหารที่ความเร็วรอบเท่ากับ 250 rpm, อุณหภูมิ 25 องศาเซลเซียส พบร่วงแหล่งของไนโตรเจนที่เหมาะสมต่อการผลิตแครอทีนอยด์ ได้มากที่สุด คือ ยีสต์สกัดที่ความเข้มข้น 20 กรัมต่อลิตร โดยมีปริมาณของแครอทีนอยด์ที่ผลิตได้เท่ากับ 47.51 มิลลิกรัมต่อกิโลกรัมเซลล์ รองลงมาคือ น้ำล้างชูริมที่ความเข้มข้น 1 กรัมต่อลิตรผลิตได้ 2.161 มิลลิกรัมต่อกิโลกรัมเซลล์ และแหล่งไนโตรเจนที่ผลิตได้น้อยที่สุด คือ น้ำนึ่งปลาทูน่าที่ความเข้มข้น 5 กรัมต่อลิตรซึ่งผลิตได้ 1.63 มิลลิกรัมต่อกิโลกรัมเซลล์ดังแสดงในภาพที่ 41 ทั้งนี้เนื่องมาจากปริมาณโปรตีนหรือ total nitrogen ในน้ำล้างชูริมและน้ำนึ่งปลาทูน่ามีปริมาณที่น้อยกว่ายีสต์สกัด (0.56 % (w/v), 0.05 % (w/v) ตามลำดับ) จึงทำให้เชื้อไม่สามารถเจริญและผลิตแครอทีนอยด์ได้ดีเช่นเดียวกับยีสต์สกัด

และจากการวิเคราะห์อัตราส่วนระหว่างการ์บอนและไนโตรเจนที่เหมาะสมแล้ว พบร่วงจะต้องใช้แหล่งไนโตรเจนจากยีสต์สกัดมากกว่าแหล่งการ์บอนซึ่งเป็นกลุ่มถึง 4 เท่า (กลุ่ม 5 กรัมต่อลิตรและยีสต์สกัด 20 กรัมต่อลิตร) เชื้อ CNA058 จึงจะสามารถผลิตแครอทีนอยด์ ได้สูงสุดเท่ากับ 47.51 มิลลิกรัมต่อกิโลกรัมเซลล์

บทที่ 4

สรุป

จากการเก็บตัวอย่างในทะเลทางภาคใต้ของประเทศไทยเพื่อแยกเชื้อที่มีการผลิตแครโตรีนอยด์ พบว่าสามารถแยกเชื้อได้ทั้งหมด 37 สายพันธุ์ โดยมาจากการตัวอย่างประเภทฟองน้ำมากที่สุด คือ ร้อยละ ၂၅ แต่เมื่อนำมาคัดเลือกซึ่งโดยการวิเคราะห์ปริมาณแครโตรีนอยด์ แล้วมีเพียง 4 สายพันธุ์ ที่มีการผลิตแครโตรีนอยด์สูง ได้แก่ สายพันธุ์ CNA001, CNA058, CNA074 และ CNA11 โดยที่สายพันธุ์ CNA058 แยกได้จากตะกอนดินสามารถที่ผลิตแครโตรีนอยด์ได้สูงสุดเท่ากับ 3.46 มิลลิกรัมต่อกิโลเมตรแคลอร์

จากการศึกษาสภาพที่เหมาะสมต่อการผลิตแครโตรีนอยด์ของเชื้อสายพันธุ์ CNA058 พบว่า เชื้อสายพันธุ์ CNA058 มีการเจริญและผลิตแครโตรีนอยด์มากที่สุดเมื่อเลี้ยงเชื้อที่ความเร็วของในการเจริญ ၇၀ รอบต่อนาที โดยพิอิชเริ่มต้นของอาหารเลี้ยงเชื้อเท่ากับ 7.0 และอุณหภูมิที่ใช้ในการเลี้ยง คือ ၂၅ องศาเซลเซียส โดยมีการผลิตแครโตรีนอยด์ได้ 47.51 มิลลิกรัมต่อกิโลเมตรแคลอร์

และการเลี้ยงเชื้อที่มีแหล่งคาร์บอนเป็นกลูโคสที่มีความเข้มข้น ၅ กรัมต่อลิตรจะส่งผลให้ การผลิตแครโตรีนอยด์ได้มากที่สุด คือ ၀.၉၄ มิลลิกรัมต่อกิโลเมตรแคลอร์ และอัตราการเจริญ, ปริมาณสารตีทั้งหมดและแครโตรีนอยด์ในการเจริญของเซลล์ที่ใช้แหล่งในโตรเจนที่ต่างกัน คือ ยีสต์สักด, น้ำแข็งปลาทูน่า และน้ำด้างชูริมิ จะมีปริมาณแครโตรีนอยด์สูงที่สุด คือ 47.51 มิลลิกรัมต่อกิโลเมตรแคลอร์ เมื่อใช้ ยีสต์สักดเป็นแหล่งในโตรเจนหลักที่ความเข้มข้น ၁ กรัมต่อลิตร โดยอาหารสูตรที่มีการเติมแหล่งคาร์บอน, ในโตรเจนและ ชาตุอาหารที่จำเป็นจะช่วยในการเจริญและผลิตแครโตรีนอยด์ เมื่อเปรียบเทียบกับเชื้อจุลินทรีย์ที่ผลิตแครโตรีนอยด์ *Sarcina litoratis*, *Cellulomonas dehydrogenans*, *Halobacterium cutirubrum*, *Brevibacterium* and *Flavobacterium* ในทางการค้าเชื้อสายพันธุ์ CNA058 มีประสิทธิภาพในการผลิตแครโตรีนอยด์ที่มากกว่า และเมื่อพิจารณาถึงองค์ประกอบของอาหารเลี้ยงเชื้อแล้วสามารถที่จะอธิบายได้ว่าแหล่งของคาร์บอน, ในโตรเจนและชาตุอาหารที่จำเป็น มีผลต่อการผลิตแครโตรีนอยด์

และในการเทียบเคียงเชื้อแบคทีเรียจากทะเลสายพันธุ์ CNA058 โดยการวิเคราะห์ของ 16S rDNA พบว่ามีความใกล้เคียงกับเชื้อแบคทีเรีย *Gordonia terrae* ที่ระดับความคล้ายคลึงเท่ากับร้อยละ 93

เอกสารอ้างอิง

- มะลิ บุณยรัตนผลิน, กิจการ ศุภมาตย์ และ ชูศักดิ์ บริสุทธิ์. 2543. ระบบภูมิคุ้มกันโรคในกุ้งกุลาดำ:VIII. ผลของสารสี(astaxanthin) ต่อการเจริญเติบโต องค์ประกอบของเลือดระบบภูมิคุ้มกันโรคและความต้านทานโรคในกุ้งกุลาดำ. ว.สงขลานครินทร์ วทท.22 (ฉบับพิเศษ) : 633-639.
- บุญนา ยงสมิทธิ์. 2542. จุลชีววิทยาการหมักวิตามินและสารสี. มหาวิทยาลัยเกษตรศาสตร์ กรุงเทพฯ.น.179-200.
- Aksu, Z. and Eren, A.T. 2005. Carotenoids production by the yeast *Rhodotorula mucilaginosa*: Use of agricultural wastes as a carbon source. Process Biochem. 40:2985-2991.
- Andrews, A.G., Phaff,H.J. and Starr,M.P. 1976. Carotenoids of *phaffia rhodozyma*, a red pigmented fermenting yeast. Phytochem. 15:1009-1011.
- Appleton, G.S., Kieber, R.J. and Payne, W.J. 1955. The sterol content of fungi II. Screening of representative yeasts and molds for sterol content. Appl. Microbiol. 3 : 249-251.
- Bernhard, K.M. and Friedrich,B. 1995. Spatially and temporally defined molecular knockouts. Curr. Biol. 11:112-123.
- Bjorland, T., Liaaen-Jensen, S. and Thorndsen, J. 1989. Carotenoids of marine chrysophyte *Pelagococcus subviridis* from Norwegian Sea. Phytochem. 28:3347-3353.
- Bocanegra, A.R.D., Legarreta, I.G., Jeronimo, F.M. and Campocosio, A.T. 2004. Influence of environmental and nutritional factors in the production of astaxanthin from *Haematococcus pluvialis*. Bioresource Technol. 92:209-214.
- Borowitzka, 1989. Microalgal Biotechnol. Cambridge University Press, Cambridge, U.K.**
- Britton, G., Liaaen-Jensen, S. and Pfander, H. 1995. Carotenoids Vol.1A: Isolationand Analysis. Birkhauser Verlag, Basel.
- Chen, F. and Fung, P.I. 2005. Employment of reactive oxygen species to enhance astaxanthin formation in *Chlorella zofingiensis* in heterotrophic culture. Process Biochem. 40:3491-3496.
- Chien, Y.H. and Jeng, S.C. 1992. Pigmentation of kurama prawn, *Panaeus japonicus* bate by various pigment sources and levels and feeding regimes. Aquaculture.102:333-346.
- Ciegler, F. 1965. Microbial carotenogenesis. Adv. Appl. Microbiol. 7:1-34.

- Doi, M., Tsunemi, Y., Asahi, S., Akiyama, S. and Nakao, Y. 1988. *Bacillus subtilis* mutants producing uridine in high yields. Agric. Biol. Chem. 52 : 1479-1484.
- Dufosse, L. and Echanove, M.C. 2005. The last step in the biosynthesis of ary carotenoids in the cheese ripening bacteria *Brevibacterium linens* ATCC 9175 (*Brevibacterium auranticum* sp. nov.) involves a cytochrome P450-dependent monooxygenase. Food Res. Int. 38:967-973.
- Dulancy, E.L. 1957. Preparation of ergosterol containing yeast. U.S. Patent 2,817,624.
- Durrer, S., Schmid, P. and Schlumpf, M. 2004. Endocrine activity and developmental toxicity of cosmetic UV filters-an update. Toxicology. 205:113–122.
- Edge, R., McGarvey, D.J. and Truscott, T.G. 1997. The carotenoids as anti-oxidants. Photochem. Photobiol. 41:189-200.
- Erasun, C.E. and Johnson, E.A. 2004. Stimulation of astaxanthin formation in the yeast *Xanthophyllomyces dendrorhous* by the fungus *Epicoccum nigrum*. FEMS Yeast Res. 4:511- 519.
- Eugster, H. 1995. Carotenoids Vol.1A: History: 175 years of carotenoid chemistry. Birkhauser Verlag Basel.
- Fast, A.L. and Menasaveta, P. 2000. Some recent issue and innovations in marine shrimpong culture. Rev. Fish. Sci. 8 :151-233.
- Fiasson, J.L., Petersen, R.H., Bouchez, M.P. and Aspin, N. 1970. The effect of carbon dioxide concentration and buffer system on nitrate and nitrite and assimilation by *Dunaliella tertiolecta*. J. Gen. Microbiol. 54:327-336.
- Florent, J. and Ninet, L. 1979. Vitamin B₁₂. Microbiol. Technol. 2:497-519.
- Fontana, J.D., Czeczuga, B., Bonfim, T.M.B., Chocai, M.B., Oliveira, B.H., Guimaraes, M.F. and Baron, M. 1996. Bioproduction of carotenoids: The comparative use of raw sugarcane juice and depolymerized bagasse by *Phaffia rhodozyma*. Bioresource Technol. 58:121-125.
- Fung, P. and Chen, F. 2005. Employment of oxygen species to enhance astaxanthin formation in *Chlorella zofingiensis* in heterotrophic culture. Process Biochem. 40:3491-3496.
- Goodwin, T.W. 1972. Carotenoids in fungi and non-photosynthetic bacteria. Ind. Microbiol. 11 : 29-88.

- Goto, S., Kogure, K., Abe, K., Kimata, Y., Kitahama, K., Yamashita, E. and Terada, H. 2001. Efficient radical trapping at the surface and inside the phospholipid membrane is responsible for highly potent antiperoxidative activity of the carotenoid astaxanthin. *Biochem. Biophys. Acta.* 1512:251-258.
- Guerin, M., Huntlay, M.E. and Olaizula, M. 2003. *Haematococcus* astaxanthin: applications for human health and nutrition. *Trends Biotechnol.* 5:130-145.
- Hendry, G.A.F. and Houghton, J.D. 1992. *Natural food colorants*. Blackie, Glasgow and London.
- Iigusa, H., Yoshida, Y. and Hasunuma, K. 2005. Oxygen and hydrogen peroxide enhance light-induced carotenoid synthesis in *Neurospora crassa*. *FEBS Letters.* 579:4012-4016.
- Izumi, Y. and Yamada, H. 1989. Microbial production of biotin, *Biotechnology of vitamins, Pigments and Growth Factors*. In E.J. Vandamme. *Appl. Sci. Res.* 5:231-256.
- Jensen, S.L., Gesser, B., Deleuran, B. and Lund, b. 1995. Interleukin-8 induces its own production in CD4T lymphocytes : A process regulated by interleukin 10. *Biochem. Bioph. Res.* 3:660-669.
- Jhonsense, E.A. and Lewis, M.J. 1979. Astaxanthin formation by the yeast *Phaffia rhodozyma*. *J. Gen. Microbiol.* 115 : 173-183.
- Johana, M.O., Ake, L., Annette, P. and Peter, H. 2003. Oral bioavailability of the antioxidant astaxanthin in humans is enhanced by incorporation of lipid based formulations. *J. Pharm. Sci.* 19:299-304.
- Katsuhiko, F., Eri, I., Hisatoshi, N., Osamu, O. and Akihiko, S. 2006. Isolation of the non-fastidious microalga with astaxanthin-accumulating property and its potential for application to aquaculture. *Aquaculture.* 261:285-293.
- Kopsel, C., Moltgen, H., Schuch, H., Auweter, H., Kleinermanns, K., Martin, H.D. and Bettermann, H. 2005. Structure investigations on assembled astaxanthin molecules. *J. Mol. Struct.* 750:109-115.
- Latscha, T. 1991 Carotenoid in aquatic animal nutrition. In proceedings of the aquaculture feed processing and nutrition workshop. Thailand and Indonesia. 68-79.
- Li, H.B. and Chen, F. 2001. Preparative isolation and purification of astaxanthin from the microalga *Chlorococcum* sp. By high-speed counter-current chromatography. *Chromatography A*, 925:133-137.

- Lim, G.B., Lee, S.Y., Lee, E.K., Haam, S.J. and Kim, W.S. 2002. Separation of astaxanthin from red yeast *Phaffia rhodozyma* by supercritical carbon dioxide extraction. *J. Biochem. Eng.* 11:181- 187.
- Liu, Y.S., Wu, J.Y. and Ho, K.P. 2006. Characterization of oxygen transfer conditions and their effects on *Phaffia rhodozyma* growth and carotenoid production in shake-flask cultures. *J. Biochem. Eng.* 27:331-335.
- Lopez, M., Arce, L., Garrido, J., Rios, A. and Valcarcel, M. 2004. Selective extraction of astaxanthin from crustaceans by use of supercritical carbon dioxide. *Talanta*. 64:726-731.
- Lorenz, R.T. 1998. A technical review of Natu Rose TM *Haematococcus* algae meal. *Nature*. 4: 209-220.
- Lorenz, R.T. and Cysewski R. 2000. Commercial potential for *Heamatococcus* microalgae as a natural source of astaxanthin. *Tech. Phys+*. 18:90-110.
- Malea, M.C.G., Brindley, C., Rio, E.D., Acien, F.G., Fernandez, J.M. and Molina, E. 2005. Modelling of and accumulation of carotenoids in *Haematococcus pluvialis* as a function of irradiance and nutrients supply. *Biochem. Eng. J.* 26:107-114.
- Meyer, P.S. and Preez, J.C.D. 1994. Effect of culture conditions on astaxanthin production by a mutant of *Phaffia rhodozyma* in batch and chemostat culture. *Appl. Microbiol. Biotechnol.* 40:780-785.
- Meyer, P.S., Preez, J.C.D. and Kilian, S.G. 1993. Selection and evaluation of astaxanthin-overproducing mutants of *Phaffia rhodozyma*. *Microbiol. Biotechnol.* 9:514-520.
- Misawa, N. and Shimada, H. 1998. Metabolic engineering for the production of carotenoids in non-carotenogenic bacteria and yeasts. *Biotechnol.* 59:169-181.
- Miki, W. 1991. Biological functions and activities of animal carotenoids. *Pure. Appl. Chem.* 63:141-146.
- Nageswara, R.R., Naseeruddin, A.S. and Nageswara, R.B. 2005. Preparative isolation and characterization of some minor impurities of astaxanthin by high-performance liquid chromatography. *Chromatography*. 1076:189-192.
- Ninet, L. and Renaut, J. 1979. Carotenoids. *Microbiol. Technol* 2:529-544.
- No, H.K. and Storebakken, T. 1992. Pigmentation of rainbow trout with astaxanthin and canthaxanthin in freshwater and seawater. *Aquaculture*. 101:123-134.

- Ozaki, M., Tagiwa, S. and Kimura, T. 1972. The accumulation of orotic acid and orotidine by a mutant of *Streptomyces showdoensis*. Amino Acid. Nucleic. Acids. Res. 26 : 24-30.
- Palo, M.A., Vidal-Adeva, L. and Maceda, L. 1960. Study on ang-kak and its production. Phillipine J. Sci. Soc. 89 :1-22.
- Peter, S.M. and James, C.D.P. 1994. Effect of culture conditions on astaxanthin production by a mutant of *Phaffia rhodozyma* in batch and chemostat culture. Appl. Microbiol. Biotechnol. 40:780-785.
- Perlman, D. 1977. Microbial production of therapeutic compounds. Microbiol. Technol 20:251-307.
- Pfander, H., Deli, J., Molnar, P., Matus, Z., Toth, G. and Traber, B. 2001. Prenigroxanthin [(all-E,3R,3%S,6%S)-b,g-carotene-3,3%,6%-triol], a novel carotenoid from red paprika (*Capsicum annuum*). Tetrahedron Lett. 42:1395–1397.
- Ramirez, J., Gutierrez, H. and Gschaedler, A. 2001. Optimization of astaxanthin production by *Phaffia rhodozyma* through factorial design and response surface methodology. Biotechnol. 88:259-268.
- Rao, R.N., Alvi, S.N. and Rao, B.N. 2005. Preparative isolation and characterization of some minor impurities of astaxanthin by high-performance liquid chromatography. Chromatography A, 1067:189-192.
- Rengpipat, S., Phianphak,W., Piyatiratitivorakul, S. and Menasaveta, P. 1998. Effects of a probiotic bacterium on black tiger shrimp *Penaeus monodon* survival and growth. Aquaculture. 167:301-313.
- Ross, I. K. 1979. Biology of fungi. McGraw-Hill, New York.**
- Sachindra, N.M. and Mahendrakar, N.S. 2005. Process optimization for extraction of carotenoids from shrimp waste with vegetable oils. Bioresource Technol. 96:1195-1200.
- Sarada, R., Tripathi, U. and Ravishankar, G.A. 2002. Influence of stress on astaxanthin production in *Haematococcus pluvialis* grown under different culture conditions. Process Biochem. 37:623-627.
- Schoefs, B. 2003. Chlorophyll and carotenoid analysis in food product. A practical case-by-case view. Anal. Chem. 22 :115-123.

- Shimizu, N. 1996. Carotenoids as singlet oxygen quenchers in marine organisms. *Fisheries. Sci.* 62 :134-7.
- Shimizu, S., Esumi, A., Komaki, R. and Yamada, H. 1984. Production of coenzyme A by a mutant of *Brevibacterium ammoniagenes* resistant to oxypantetheine. *Appl. Environ. Microbiol.* 48 : 1118-1122.
- Shimizu, S. and Yamada, H. 1989. Microbial production of polysaturated fatty acids, *Biotechnology of Vitamins, Pigment and Growth Factors. Appl. Sci.* 3: 105-121.
- Silhankova, L. 1985. Genetic control of thiamine excretion and of its suppression in *Saccharomyces cerevisiae*. *J. Inst. Brew.* 91 : 238-241.
- Stahl, W., Sies, H. 2005. Bioactivity and protective effects of natural carotenoids. *Biochim. Biophys. Acta.* 1740:101-107.
- Sutter, R.P. 1975. Mutations affecting sexual development in *Phycomyces blakesleeanus*. *Proc. Nat. Acad. Sci. USA.* 72:127-300.
- Tani, Y. 1989. Microbial production of vitamin K₂ and vitamin K₁, *Biotechnology of Vitamins, Pigment and Growth Factors. In E.J. Vandamme. Appl. Sci.* 5:123-136.
- Tani, Y., Nagamatsu, T., Izumi, Y. and Ogata, K. 1972. Studies on vitamin B₆ metabolism in micro-organisms. Part XI. Extractcellular formation of vitamin B₆ by marine and terrestrial micro-organisms and its control. *Agric. Biol. Chem.* 36 : 189-197.
- Tani, Y. and Tsumura, H. 1989. Screening of tocopherol-production microorganisms and α-tocopherol production by *Euglena gracilis* Z. *Agric. Biol. Chem.* 53 : 305-312.
- Tinoi, J., Rakariyatham, N. and Deming, R.L. 2005. Simplex optimization of carotenoid production by *Rhodotorula glutinis* using hydrolyzed mung bean waste flour as substrate. *Process.Biochem.* 40:2551-2557.
- Torissen, O.J. 1996. Effective use of carotenoids for salmon flesh pigmentation. *Agmat. Sci.* 2:45-48.
- Van Lanen, J.M. 1954. Production of vitamins others than riboflavin. *Chemical.* 2:191-216.
- Visser, H., Ooyen, V. and Verdoes, J.C. 2003. Metabolic engineering of the astaxanthin-biosynthetic pathway of *Xanthophyllomyces dendrorhous*. *FEMS Yeast Res.* 4:221-231.

- Vustin, M.M., Belykh, E.N. and Kishilova, S.A. 2003. Relationship between astaxanthin production and the intensity of anabolic processes in the yeast *Phaffia rhodozyma*. *Microbiol.* 73:751-757.
- Waldenstedt, L., Inbörre, J., Hansson, I., Elwinger, K. 2003. Effects of astaxanthin-rich algal meal (*Haematococcus pluvialis*) on growth performance, caecal campylobacter and clostridial counts and tissue astaxanthin concentration of broiler chickens. *Anim. Feed Sci. Tech.* 108:119-132.
- Wang, W., Yu, L. and Zhou, P. 2005. Effects of different fungal elicitors on growth, total carotenoids and astaxanthin formation by *Xantophyllomyces dendrorhous*. *Bioresource Technol.* 3:25-32.
- Yamane, Y.I., Higashida, K., Nagashimada, Y., Kakizono, T. and Nishio, N. 1997. Influence of oxygen and glucose on primary metabolism and astaxanthin production by *Phaffia rhodozyma* in batch and fed-batch culture: Kinetic and stoichiometric analysis. *Appl. Environ. Microbiol.* 63: 4471-4478.
- Yokoyama, A., Shizuri, Y. and Misawa, N. 1998. Production of carotenoids, astaxanthin glucosides, by *Escherichia coli* transformants carrying carotenoid biosynthetic genes. *Tetrahedron Lett.* 39:3709-3712.

ภาคผนวก

ภาคผนวก ก

สูตรอาหารและวิธีการเตรียมอาหารเลี้ยงเชื้อแบคทีเรีย

1. FP Medium (ดัดแปลงจาก Galaup และคณะ, 2005)

| | | |
|---------------------------------|----|------|
| D-glucose | 20 | กรัม |
| Casamino acid | 5 | กรัม |
| Yeast extract | 1 | กรัม |
| KH ₂ PO ₄ | 1 | กรัม |
| Sea water | 1 | ลิตร |

นำส่วนประกอบของอาหารทั้งหมดละลายในน้ำทะเลที่กรองแล้วปริมาตร 1 ลิตร โดยนำไปนึ่งฆ่าเชื้อในหม้อนึ่งความดัน (autoclave) ที่ 110 องศาเซลเซียส นาน 20 นาที

2. Nutrient broth

| | | |
|----------------|---|------|
| Nutrient broth | 8 | กรัม |
| Sea water | 1 | ลิตร |

นำ nutrient broth ละลายในน้ำทะเลปริมาตร 1 ลิตร โดยนำไปนึ่งฆ่าเชื้อในหม้อนึ่งความดัน (autoclave) ที่ 121 องศาเซลเซียส นาน 15 นาที

3. Nutrient agar

| | | |
|----------------|----|------|
| Nutrient broth | 8 | กรัม |
| Agar | 20 | กรัม |
| Sea water | 1 | ลิตร |

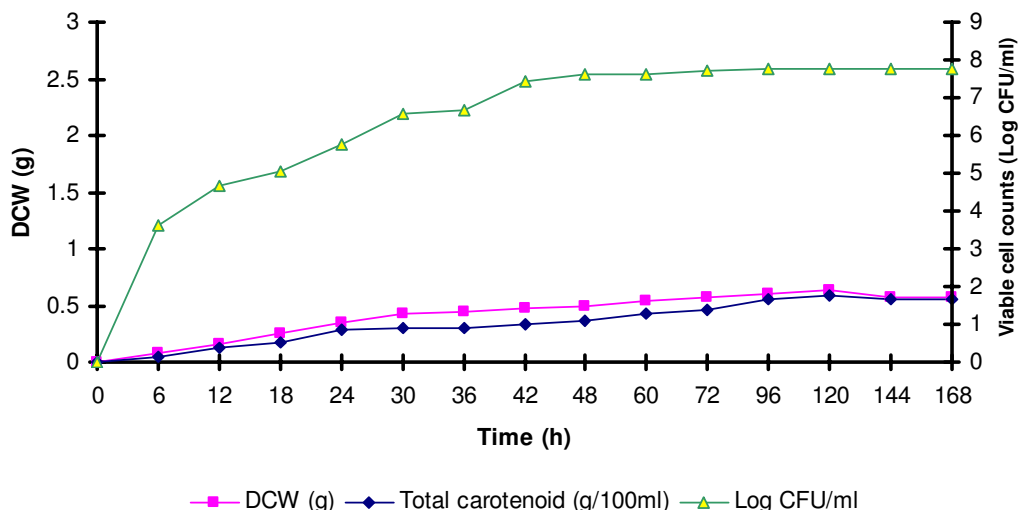
นำ nutrient broth ละลายในน้ำทะเลที่กรองแล้วปริมาตร 1 ลิตร โดยนำไปนึ่งฆ่าเชื้อในหม้อนึ่งความดัน (autoclave) ที่ 121 องศาเซลเซียส นาน 15 นาที

ภาคผนวก ข

กราฟมาตราฐานของเชื้อจุลินทรีย์และสารเคมี

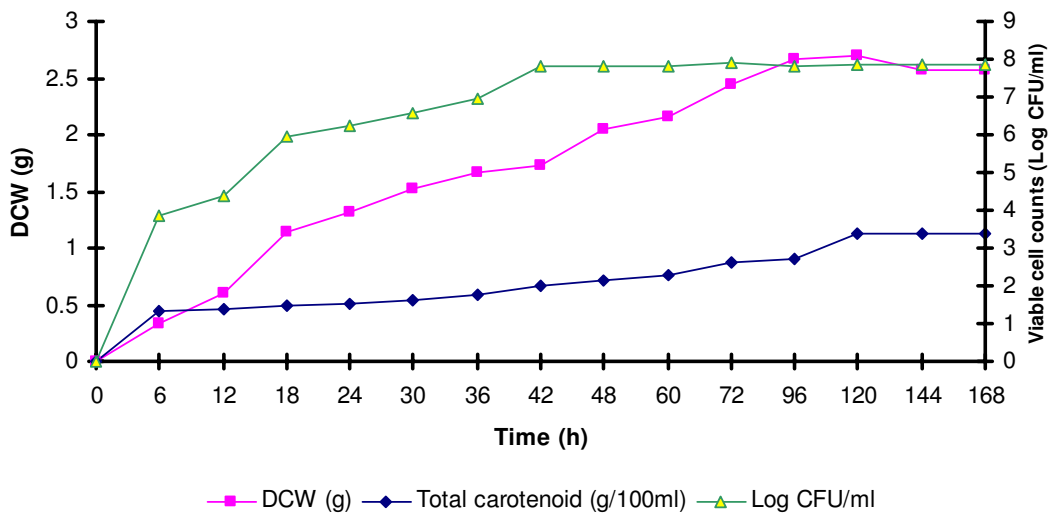
1. การวิเคราะห์การเจริญของเชื้อสายพันธุ์ CNA058

เตรียมกราฟมาตรฐานการเจริญเติบโตของเชื้อสายพันธุ์ CNA058 โดยทำการเลี้ยงเชื้อในอาหารสูตร nutrient broth เก็บตัวอย่างหน้าหนองเซลล์ทุกวัน โดยใส่ในหลอดทดลองที่ทราบหน้าหนองแน่นอน (ด้วยการนำไปอบที่อุณหภูมิ 105 องศาเซลเซียส เป็นเวลา 12 ชั่วโมง แล้วทิ้งไว้ให้เย็นในเดซิเกตอร์) โดยนำเชื้อและอาหารไปปั่นให้ละเอียดที่ความเร็วรอบ 6,000 รอบต่อนาที เป็นเวลา 10 นาที ถังเซลล์ด้วยน้ำกลั่นปริมาตร 20 มิลลิลิตร และปั่นให้ละเอียดที่ความเร็วรอบ 6,000 รอบต่อนาที เป็นเวลา 10 นาที แยกส่วนไส้แล้วนำตะกอนเซลล์ไปอบแห้งที่ 105 องศาเซลเซียส เป็นเวลา 24 ชั่วโมงหรือจนน้ำหนองคงที่ ทิ้งไว้ให้เย็นในเดซิเกตอร์ และซึ่งน้ำหนอง เก็บกราฟมาตรฐานระหว่างเวลาการเลี้ยงเชื้อกับหน้าหนองเซลล์แห้ง



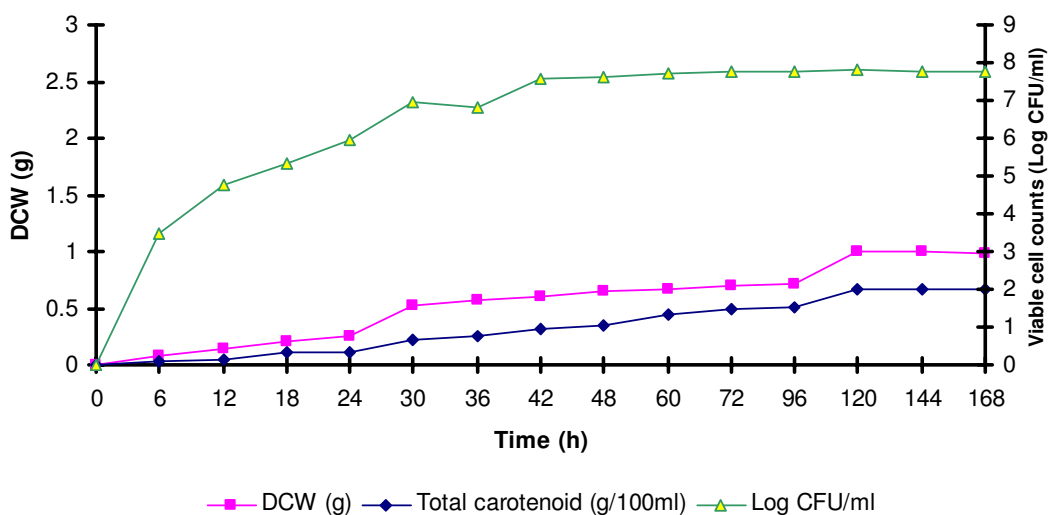
ภาพที่ 42 การเจริญของเชื้อสายพันธุ์ CNA058 เมื่อเลี้ยงเชื้อในอาหาร nutrient broth สภาพที่มีค่า pH 7.0 ± 0.2 ที่อุณหภูมิ 25°C ± 2°C ในภาชนะที่ปิดสนิท แสงส่องสว่างที่ 0.5 วัตต์/ตร.ม. ระยะเวลา 168 ชั่วโมง

Figure 42. Growth curve of CNA058 in nutrient broth in dark condition.



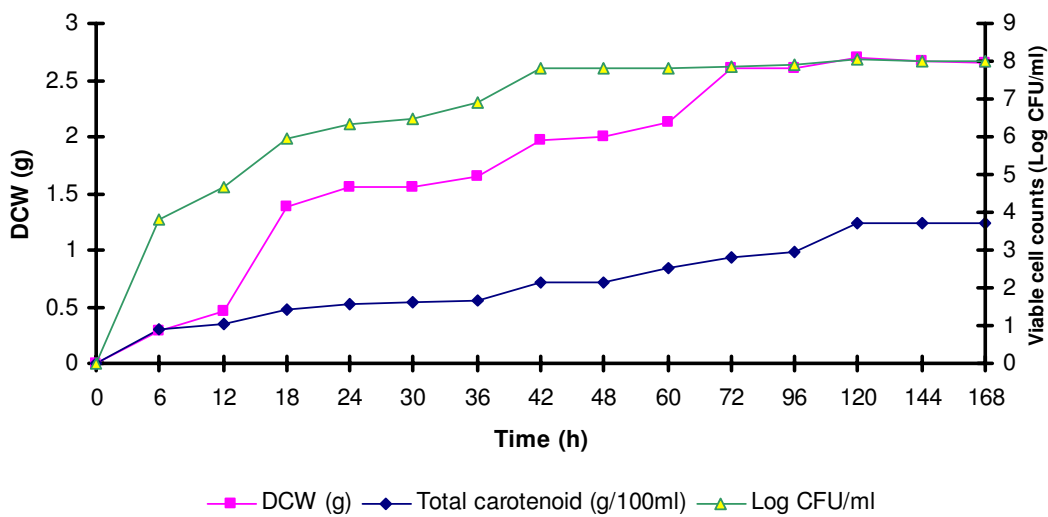
ภาพที่ 43 การเจริญของเชื้อสาบพันธุ์ CNA058 ในอาหารสูตร FP สภาพที่มืด

Figure 43. Growth curve of CNA058 in FP medium in dark condition.



ภาพที่ 44 การเจริญของเชื้อสาบพันธุ์ CNA058 ในอาหาร nutrient broth สภาวะที่สว่าง

Figure 44. Growth curve of CNA058 in nutrient broth in light condition.

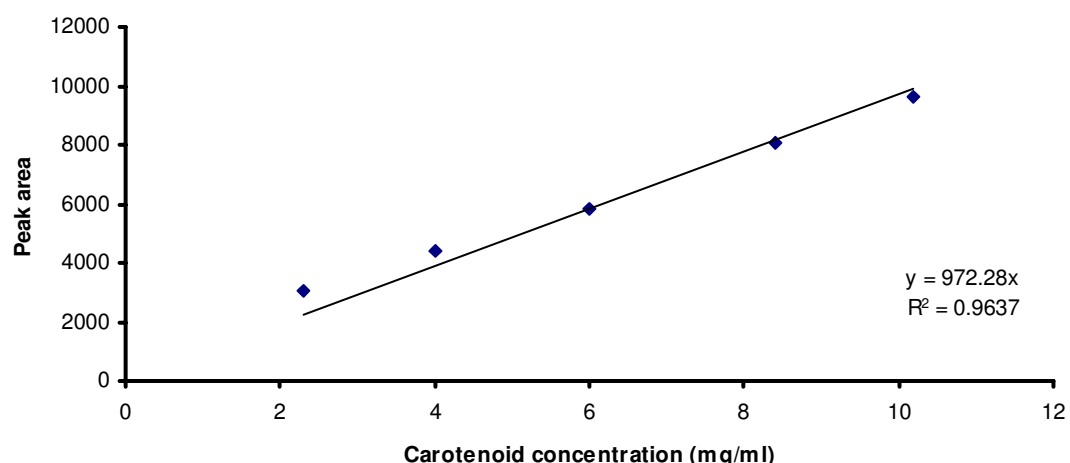


ภาพที่ 45 การเจริญของเชื้อสาบพันธุ์ CNA058 ในอาหารสูตร FP สภาวะที่สว่าง

Figure 45. Growth curve of CNA058 in FP medium in light condition.

2. การเตรียมกราฟมาตรฐานของแครอทีนอยด์

เตรียมสารมาตรฐานแครอทีนอยด์ในตัวทำละลายมีทานอดที่ความเข้มข้น 2, 4, 6, 8 และ 10 มิลลิกรัมต่อมิลลิลิตร เพื่อเตรียมกราฟมาตรฐาน นำไปปัดปริมาณพื้นที่ใต้กราฟด้วยเครื่อง HPLC โดยใช้ Diode Array Detector เป็นตัวตรวจวัดที่ความยาวคลื่น 210 และ 474 nm. สำหรับเปรียบเทียบกับสารสกัดแครอทีนอยด์ ที่สกัดได้จากเชื้อสาบพันธุ์ CNA058



ภาพที่ 46 กราฟมาตรฐานของแครอทีนอยด์

Figure 46. Standard curve of carotenoid.

ภาคผนวก ค

ผลการทดลอง

ตารางที่ 12 การเจริญและการผลิตแคโรทีนอยด์ของเชื้อที่แยกได้จากทะเล

Table 12. Growth and carotenoid production of marine bacterium.

| Strain | Bottle weight (g) | content weight (g) | carotenoid (g) |
|--------|-------------------|--------------------|----------------|
| PK5.1 | 13.5074 | 13.5228 | 0.0154 |
| PK14.2 | 13.2114 | 13.2344 | 0.0230 |
| PK18.1 | 13.5286 | 13.5466 | 0.0180 |
| PK18.2 | 13.2493 | 13.2695 | 0.0202 |
| PK21.1 | 13.0935 | 13.1150 | 0.0215 |
| PK22.1 | 13.2346 | 13.5353 | 0.3007 |
| PK29.1 | 13.5224 | 13.5460 | 0.0236 |
| PK29.2 | 13.5044 | 13.5252 | 0.0208 |
| PK34.1 | 13.4243 | 13.4185 | 0.0142 |
| PK34.2 | 13.0248 | 13.0424 | 0.0176 |
| CNA001 | 13.1984 | 13.2089 | 0.0105 |
| CNA004 | 13.1934 | 13.2104 | 0.0170 |
| CNA006 | 13.2896 | 13.3037 | 0.0141 |
| CNA008 | 13.2184 | 13.2320 | 0.0136 |
| CNA010 | 13.2733 | 13.2865 | 0.0132 |
| CNA013 | 13.1636 | 13.1726 | 0.0090 |
| CNA014 | 13.1573 | 13.1653 | 0.0080 |
| CNA018 | 13.1754 | 13.1834 | 0.0080 |
| CNA022 | 13.3031 | 13.3074 | 0.0043 |
| CNA027 | 13.4059 | 13.4705 | 0.0646 |
| CNA033 | 13.1843 | 13.3333 | 0.1490 |

ตารางที่ 12 (ต่อ)

Table 12. (Cont.)

| Strain | Bottle weight (g) | content weight (g) | carotenoid (g) |
|--------|-------------------|--------------------|----------------|
| CNA034 | 13.2339 | 13.2461 | 0.0122 |
| CNA035 | 13.2177 | 13.2741 | 0.0564 |
| CNA051 | 13.2805 | 13.2957 | 0.0152 |
| CNA053 | 13.2105 | 13.2315 | 0.0210 |
| CNA054 | 13.1148 | 13.1288 | 0.0140 |
| CNA058 | 13.3542 | 13.3655 | 0.0113 |
| CNA061 | 13.6871 | 13.6981 | 0.0110 |
| CNA063 | 13.2251 | 13.2681 | 0.0430 |
| CNA074 | 13.1539 | 13.1928 | 0.0389 |
| CNA075 | 13.1224 | 13.2576 | 0.1352 |
| CNA112 | 13.3639 | 13.3818 | 0.0179 |
| CNA113 | 13.5842 | 13.5994 | 0.0152 |
| CNA114 | 13.4102 | 13.5552 | 0.1450 |
| CNA142 | 13.0312 | 13.0522 | 0.0210 |
| CNA148 | 13.5001 | 13.5044 | 0.0043 |
| CNA149 | 13.2657 | 13.2811 | 0.0154 |

ตารางที่ 13 การเจริญและการผลิตแคโรทีนอยด์ของเชื้อ CNA001, 058 074 และ 112

Table 13. Growth and carotenoid production of marine bacterium strain CNA001, 058 074 and 112.

| Strain | cells weight (g/l) | carotenoid (g/g cell) |
|--------|--------------------|-----------------------|
| CNA001 | 47.2 | 0.1326 |
| CNA058 | 51.4 | 0.2122 |
| CNA074 | 116.1 | 0.5287 |
| CNA112 | 52.9 | 0.399 |

ตารางที่ 14 การเจริญและการผลิตแคโรทีนอยด์ของเชื้อ CNA058 ที่ความเร็วอบ 150, 200 และ 250 รอบต่อนาที

Table 14. Growth and carotenoid production of marine bacterium strain CNA058 at 150, 200 and 250 rpm.

| Agitation(rpm) | cells weight (g/l) | total carotenoid (mg)/g cell |
|----------------|--------------------|------------------------------|
| 150 | 6 | 2.596 |
| 150 | 5.7 | 2.62 |
| 150 | 61 | 2.60 |
| 200 | 5.7 | 6.16 |
| 200 | 5.5 | 6.216 |
| 200 | 5.8 | 6.178 |
| 250 | 4.2 | 9.068 |
| 250 | 4.5 | 9.075 |
| 250 | 4.3 | 9.072 |

ตารางที่ 15 การเจริญและการผลิตแคโรทีนอยด์ของเชื้อ CNA058 ที่อุณหภูมิ 20, 25 และ 30 องศาเซลเซียส

Table 15. Growth and carotenoid production of marine bacterium strain CNA058 at 20, 25 and 30 °C

| Temperature(°C) | cells weight (g/l) | total carotenoid (mg)/g cell |
|-----------------|--------------------|------------------------------|
| 20 | 6.2 | 2.16 |
| 20 | 6.5 | 3.26 |
| 20 | 5.9 | 2.59 |
| 25 | 10.1 | 3.99 |
| 25 | 10.8 | 3.97 |
| 25 | 11.2 | 3.93 |
| 30 | 11.8 | 1.99 |
| 30 | 10.9 | 1.95 |
| 30 | 12.0 | 2.00 |

ตารางที่ 16 การเจริญและการผลิตแคโรทีนอยด์ของเชื้อ CNA058 ที่ pH 6, 7 และ 8

Table 16. Growth and carotenoid production of marine bacterium strain CNA058 at pH 6, 7 and 8.

| pH | cells weight (g/l) | total carotenoid (mg)/g cell |
|----|--------------------|------------------------------|
| 6 | 19.5 | 3.323 |
| 6 | 19.9 | 3.322 |
| 6 | 19.2 | 3.055 |
| 7 | 10.8 | 6.905 |
| 7 | 11.0 | 6.910 |
| 7 | 10.3 | 6.904 |
| 8 | 11.5 | 3.235 |
| 8 | 11.1 | 3.077 |
| 8 | 11.4 | 3.234 |

ตารางที่ 17 การผลิตแคโรทีนอยด์ของเชื้อ CNA058 โดยใช้กลูโคสเป็นแหล่งคาร์บอนที่ความเข้มข้น 5, 10 และ 20 กรัมต่อลิตร

Table 17. Carotenoid production from marine bacterium strain CNA058 by glucose concentration is carbon source at 5, 10 and 20 g/l.

| Glucose (g/l) | cells weight (g/l) | total carotenoid (mg)/g cell |
|---------------|--------------------|------------------------------|
| 5 | 2.1 | 25.244 |
| 5 | 2.2 | 20.146 |
| 5 | 1.7 | 17.431 |
| 10 | 1.5 | 14.244 |
| 10 | 2.3 | 16.048 |
| 10 | 5.1 | 32.514 |
| 20 | 2.8 | 17.494 |
| 20 | 2.4 | 22.007 |
| 20 | 5 | 18.591 |

ตารางที่ 18 การผลิตแคโรทีนอยด์ของเชื้อ 058 โดยใช้ซูครัสเป็นแหล่งคาร์บอนที่ความเข้มข้น 5, 10 และ 20 กรัมต่อลิตร

Table 18. Carotenoid production of marine bacterium strain CNA058 with the sucrose concentrations is at 5, 10 and 20 g/l.

| Sucrose (g/l) | cells weight (g/l) | total carotenoid (mg)/g cell |
|---------------|--------------------|------------------------------|
| 5 | 5.7 | 17.804 |
| 5 | 8.1 | 14.090 |
| 5 | 5.9 | 12.918 |
| 10 | 12.6 | 10.179 |
| 10 | 6.5 | 16.988 |
| 10 | 7.6 | 18.460 |
| 20 | 5.7 | 12.044 |
| 20 | 5.5 | 10.904 |

ตารางที่ 18 (ต่อ)

Table 18. (Cont.)

| Sucrose (g/l) | cells weight (g/l) | total carotenoid (mg)/g cell |
|---------------|--------------------|------------------------------|
| 20 | 6.3 | 13.634 |

ตารางที่ 19 การผลิตแคโรทีนอยด์ของเชื้อ 058 โดยใช้แป้งสาลีเป็นแหล่งคาร์บอนที่ความเข้มข้น 5, 10 และ 20 กรัมต่อลิตร

Table 19. Carotenoid production of marine bacterium strain CNA058 with the wheat flour concentrations at 5, 10 and 20 g/l.

| Wheat flour (g/l) | cells weight (g/l) | total carotenoid (mg)/g cell |
|-------------------|--------------------|------------------------------|
| 5 | 41.5 | 0.233 |
| 5 | 16.1 | 0.526 |
| 5 | 13.9 | 0.517 |
| 10 | 23.7 | 0.473 |
| 10 | 28.8 | 0.449 |
| 10 | 28.9 | 0.590 |
| 20 | 62.2 | 0.374 |
| 20 | 61.3 | 0.482 |
| 20 | 62.4 | 0.461 |

ตารางที่ 20 การผลิตแคโรทีนอยด์ของเชื้อ 058 โดยใช้น้ำยางเป็นแหล่งคาร์บอนที่ความเข้มข้น 5, 10 และ 20 กรัมต่อลิตร

Table 20. Carotenoid production of marine bacterium strain CNA058 with the latex concentrations at 5, 10 and 20 g/l.

| Latex (g/l) | cells weight (g/l) | total carotenoid (mg)/g cell |
|-------------|--------------------|------------------------------|
| 5 | 8.8 | 0.944 |
| 5 | 6.2 | 1.280 |

ตารางที่ 20 (ต่อ)

Table 20. (Cont.)

| Latex (g/l) | cells weight (g/l) | total carotenoid (mg)/g cell |
|-------------|--------------------|------------------------------|
| 5 | 7.3 | 1.310 |
| 10 | 9.9 | 0.483 |
| 10 | 14.3 | 0.578 |
| 10 | 12.3 | 0.608 |
| 20 | 22.8 | 0.469 |
| 20 | 21.8 | 0.457 |
| 20 | 14.8 | 0.554 |

ตารางที่ 21 การผลิตแคโรทีนอยด์ของเชื้อ CNA058 โดยใช้เยลล์สกัดเป็นแหล่งในโตรเจนที่ความเข้มข้น 1, 5, 15, 20 และ 25 กรัมต่อลิตร

Table 21. Carotenoid production of marine bacterium strain CNA058 with the yeast extract concentrations at 1, 5, 15, 20 and 25 g/l.

| Yeast (g/l) | cells weight (g/l) | total carotenoid (mg)/g cell |
|-------------|--------------------|------------------------------|
| 1 | 3.3 | 3.320 |
| 1 | 3.8 | 2.535 |
| 1 | 3.9 | 2.674 |
| 5 | 9.7 | 12.033 |
| 5 | 9.9 | 14.063 |
| 5 | 9.5 | 19.826 |
| 15 | 22.3 | 34.641 |
| 15 | 23.0 | 33.596 |
| 15 | 23.0 | 33.726 |
| 20 | 25.7 | 47.900 |
| 20 | 26.2 | 45.523 |
| 20 | 24.8 | 48.109 |

ตารางที่ 21 (ต่อ)

Table 21. (Cont.)

| Yeast (g/l) | cells weight (g/l) | total carotenoid (mg)/g cell |
|-------------|--------------------|------------------------------|
| 25 | 26.3 | 46.776 |
| 25 | 26.7 | 46.377 |
| 25 | 28.8 | 45.219 |

ตารางที่ 22 การผลิตแครอทีนอยด์ของเชื้อ CNA058 โดยใช้น้ำล้างชูริมเป็นแหล่งในโตรเจนที่ความเข้มข้น 1, 5 และ 15 กรัมต่อลิตร

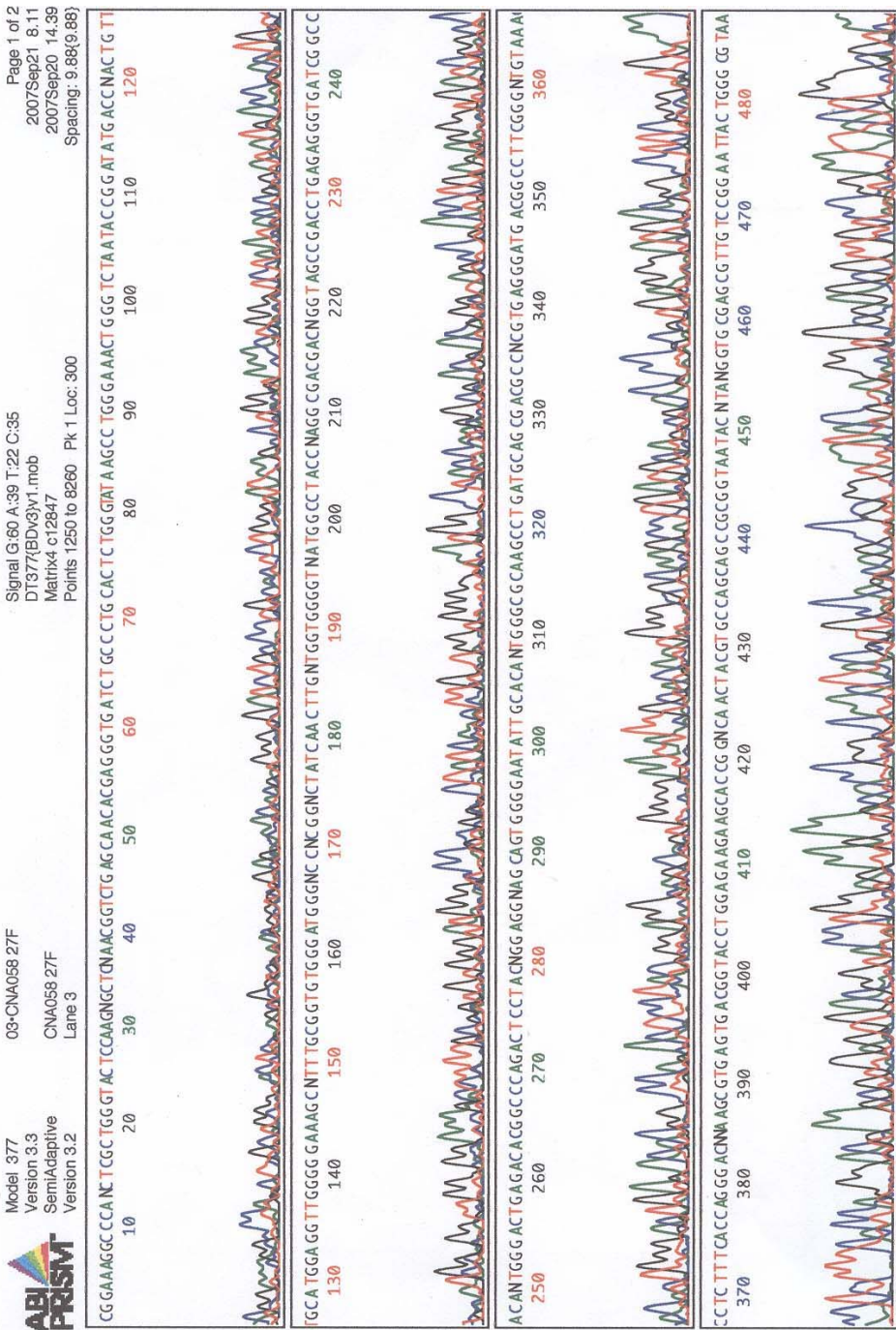
Table 22. Carotenoid production of marine bacterium strain CNA058 with the surimi washing water concentrations at 1, 5 and 15 g/l.

| Surimi washing water (g/l) | cells weight (g/l) | total carotenoid (mg)/g cell |
|----------------------------|--------------------|------------------------------|
| 1 | 1.9 | 1.873 |
| 1 | 1.5 | 1.156 |
| 1 | 1.4 | 3.455 |
| 5 | 1.8 | 2.554 |
| 5 | 1.9 | 0.985 |
| 5 | 1.6 | 1.257 |
| 15 | 2.0 | 1.811 |
| 15 | 2.0 | 1.964 |
| 15 | 2.0 | 0.886 |

ตารางที่ 23 การผลิตแคโรทีนของเชื้อ CNA058 โดยใช้น้ำมันปลาทูน่าเป็นแหล่งในต่อเจนที่ความเข้มข้น 1, 5 และ 15 กรัมต่อลิตร

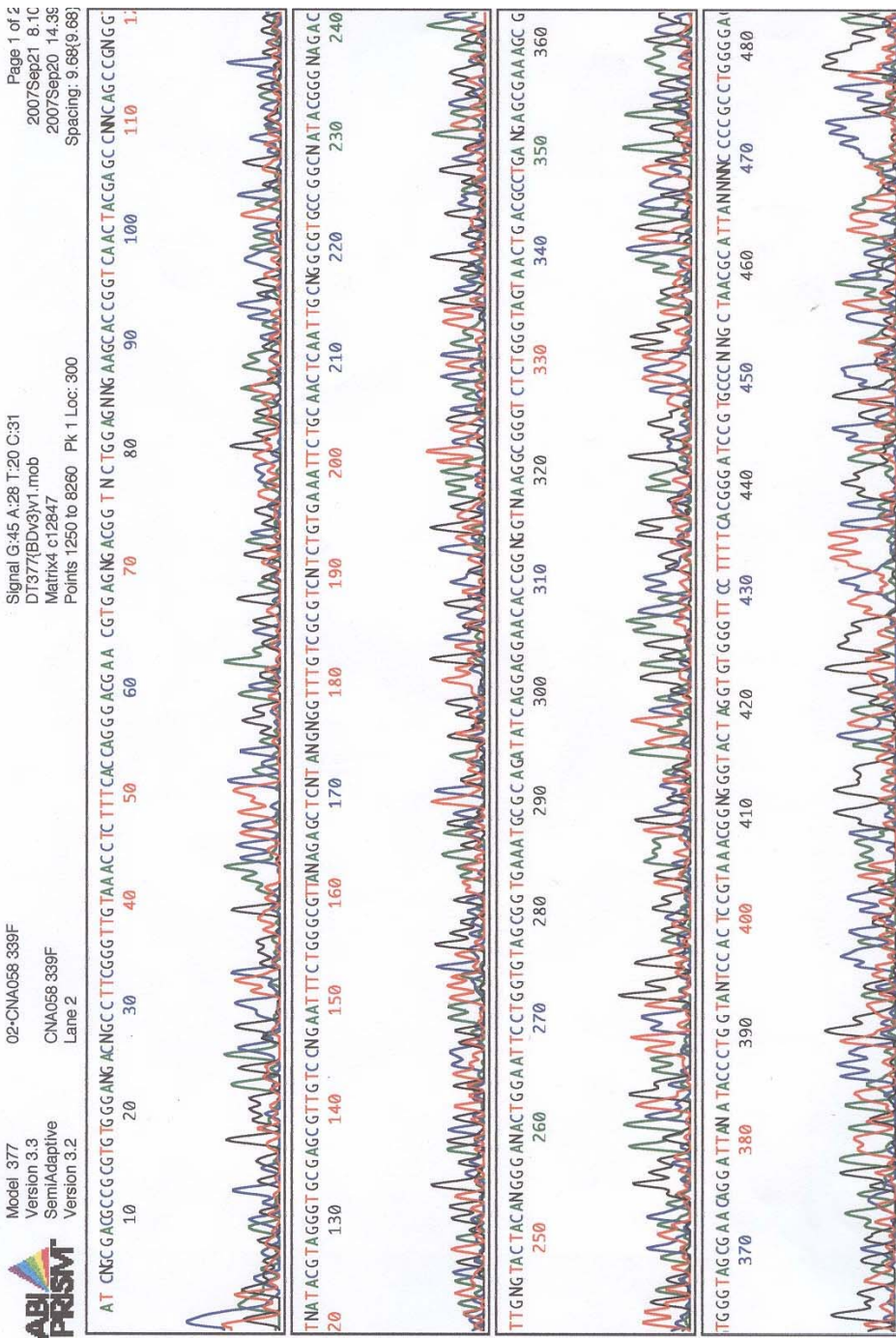
Table 23. Carotenoid production of marine bacterium strain CNA058 with the tuna condensate concentrations at 1, 5 and 15 g/l.

| Tuna condensate (g/l) | cells weight (g/l) | total carotenoid (mg)/g cell |
|-----------------------|--------------------|------------------------------|
| 1 | 1.7 | 0.745 |
| 1 | 1.9 | 1.904 |
| 1 | 2.0 | 1.746 |
| 5 | 2.0 | 2.066 |
| 5 | 1.9 | 0.875 |
| 5 | 1.8 | 1.949 |
| 15 | 2.3 | 1.719 |
| 15 | 2.2 | 0.949 |
| 15 | 2.3 | 2.420 |



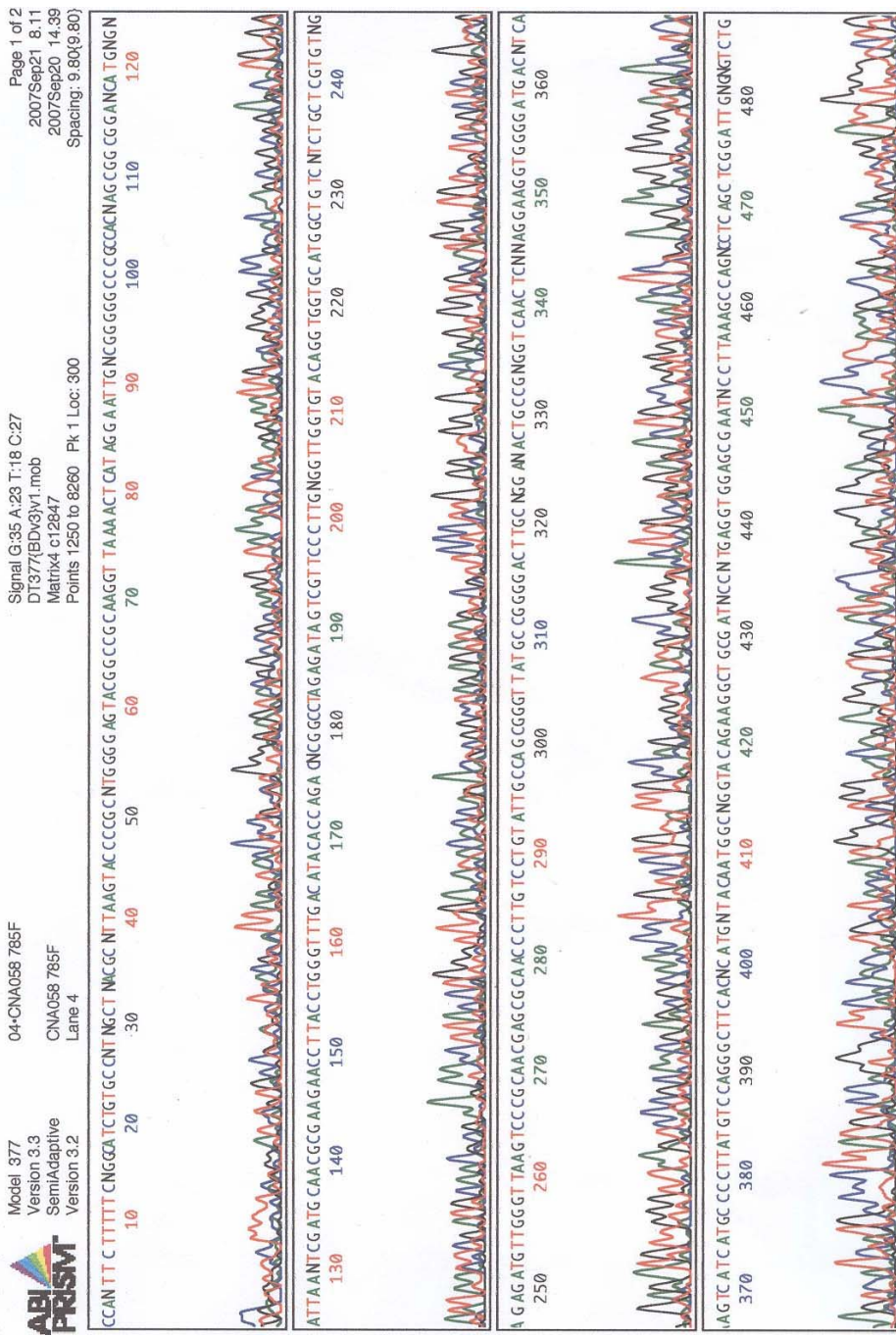
ภาพที่ 47 อินเดกซ์ไฟฟ์โปรแกรมของ CNA058 เมื่อใช้ primer ชนิด 27F

Figure 47 Electropherogram of CNA058 with 27F primer



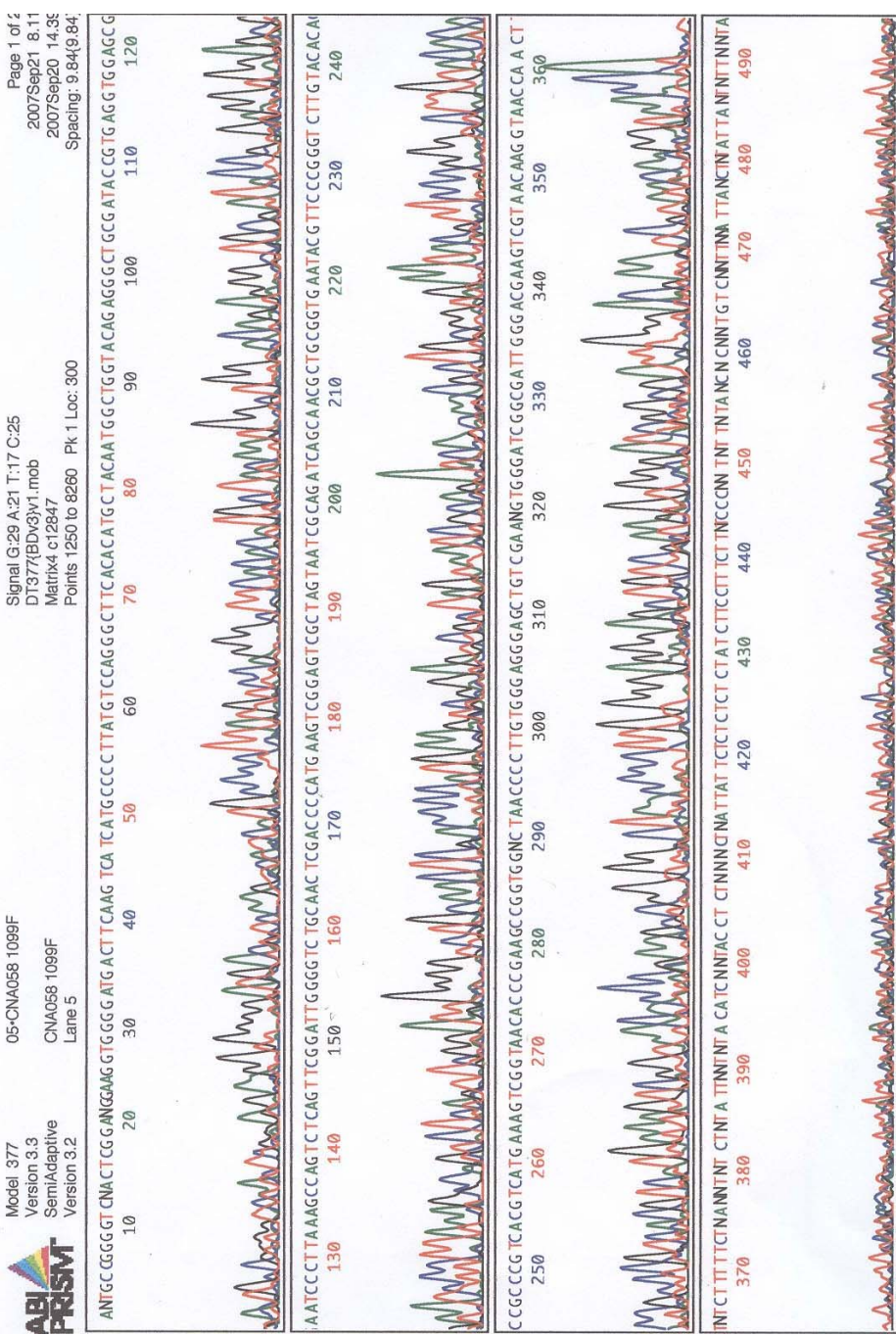
ภาพที่ 48 อิเลคโทรฟอร์โมของ CNA058 เมื่อใช้ primer ชุดที่ 33 F primer

Figure 48 Electropherogram of CNA058 with 33 F primer



ກາທີ 4 ອິດຕາໂຕຣໂໂກຣມຂອງ CNA058 ແລ້ວໃຫ້ primer ພົມດ 785F

Figure 4 Electropherogram of CNA058 with 785F primer



ภาพที่ 50 อินดิคเตอร์โปรแกรมของ CNA058 เมื่อใช้ primer ขนาด 10^{-2} F

Figure 50 Electropherogram of CNA058 with 10^{-2} F primer

ประวัติผู้เขียน

| | | |
|---------------------------------------|--------------------------|---------------------|
| ชื่อ สกุล | นายธีรศักดิ์ อันนันตพงศ์ | |
| รหัสประจำตัวนักศึกษา | 4882060 | |
| บุคลิกการศึกษา | | |
| วุฒิ | ชื่อสถาบัน | ปีที่สำเร็จการศึกษา |
| วิทยาศาสตรบัณฑิต (เทคโนโลยีชีวภาพ) | มหาวิทยาลัยวลัยลักษณ์ | 2546 |

ทุนการศึกษา (ที่ได้รับในระหว่างการศึกษา)

- ทุนอุดหนุนกรรมการสู่ความเป็นเลิศ จากคณะกรรมการอุดหนุนการศึกษา
มหาวิทยาลัยสงขลานครินทร์ ปีการศึกษา 2548

การตีพิมพ์เผยแพร่ผลงาน

Theerasak Anantapong, Kidchakan Supamataya and Akkharawit Kanjana-Opas. 2549. Isolation and Optimization of Astaxanthin Production by Marine Bacteria in Shaked Flask Cultivation. The 7th Nation Graduate Research Conference. Prince of Songkla University, Surat Thani Campus, Surat Thani, Thailand. 4-5 April 2007.